



โรงพยาบาลจุฬาลงกรณ์
สภากาชาดไทย



คณะแพทยศาสตร์
จุฬาลงกรณ์มหาวิทยาลัย

King Chulalongkorn Memorial Hospital
Tumor Registry
Annual Report 2023, Vol. XIII

Editors :
Excellence Center for Comprehensive Cancer
Tumor Registry Unit

ศูนย์ความเป็นเลิศทางการแพทย์ โรคมะเร็งครบวงจร

ศูนย์ความเป็นเลิศทางการแพทย์ โรคมะเร็งครบวงจร

ศูนย์ความเป็นเลิศทางการแพทย์ โรคมะเร็งครบวงจร

โรงพยาบาลจุฬาลงกรณ์ สภากาชาดไทย

โรงพยาบาลจุฬาลงกรณ์ สภากาชาดไทย

โรงพยาบาลจุฬาลงกรณ์ สภากาชาดไทย



สภากาชาดไทย
The Thai Red Cross Society

ศูนย์ความเป็นเลิศทางการแพทย์ โรคมะเร็งครบวงจร

ศูนย์ความเป็นเลิศทางการแพทย์ โรคมะเร็งครบวงจร

ศูนย์ความเป็นเลิศทางการแพทย์ โรคมะเร็งครบวงจร

โรงพยาบาลจุฬาลงกรณ์ สภากาชาดไทย

โรงพยาบาลจุฬาลงกรณ์ สภากาชาดไทย

Annual Report 2023, Vol. XIII

หน่วยงานที่เผยแพร่

หน่วยงานทะเบียนมะเร็ง ศูนย์ความเป็นเลิศทางการแพทย์โรคมะเร็งครบวงจร

ศูนย์ความเป็นเลิศทางการแพทย์ โรคมะเร็งครบวงจร

ศูนย์ความเป็นเลิศทางการแพทย์ โรคมะเร็งครบวงจร

ศูนย์ความเป็นเลิศทางการแพทย์ โรคมะเร็งครบวงจร

โรงพยาบาลจุฬาลงกรณ์ สภากาชาดไทย

แห่งโรงพยาบาลจุฬาลงกรณ์ สภากาชาดไทย

โรงพยาบาลจุฬาลงกรณ์ สภากาชาดไทย

1873 ถนนพระรามที่ 4 แขวงปทุมวัน เขตปทุมวัน กรุงเทพฯ 10330

โทร. 02-256-4000 ต่อ 76803

Distributed by

Tumor Registry Unit,

โรงพยาบาลจุฬาลงกรณ์ สภากาชาดไทย

โรงพยาบาลจุฬาลงกรณ์ สภากาชาดไทย

โรงพยาบาลจุฬาลงกรณ์ สภากาชาดไทย

Excellence Center for Comprehensive Cancer,

King Chulalongkorn Memorial Hospital, Thai Red Cross Society

1873 Rama IV Road, Pathum Wan, Bangkok, Thailand

ศูนย์ความเป็นเลิศทางการแพทย์ โรคมะเร็งครบวงจร

ศูนย์ความเป็นเลิศทางการแพทย์ โรคมะเร็งครบวงจร

ศูนย์ความเป็นเลิศทางการแพทย์ โรคมะเร็งครบวงจร

Tel. +66(0) 22564000 # 76803

โรงพยาบาลจุฬาลงกรณ์ สภากาชาดไทย

โรงพยาบาลจุฬาลงกรณ์ สภากาชาดไทย

<http://www.chulacancer.net>

<http://kcmh.chulalongkornhospital.go.th>

จัดทำโดย

ศูนย์ความเป็นเลิศทางการแพทย์โรคมะเร็งครบวงจร แห่งโรงพยาบาลจุฬาลงกรณ์ สภากาชาดไทย

โรงพยาบาลจุฬาลงกรณ์ สภากาชาดไทย

โรงพยาบาลจุฬาลงกรณ์ สภากาชาดไทย

โรงพยาบาลจุฬาลงกรณ์ สภากาชาดไทย

ปีที่พิมพ์

2568

พิมพ์ที่

ห้างหุ้นส่วนจำกัด วี. เอส. เอส. กรุ๊ป

โรงพยาบาลจุฬาลงกรณ์ สภากาชาดไทย

โรงพยาบาลจุฬาลงกรณ์ สภากาชาดไทย

โรงพยาบาลจุฬาลงกรณ์ สภากาชาดไทย

3/141-2 ถนนหทัยราษฎร์ แขวงสามวาตะวันตก

เขตคลองสามวา กรุงเทพฯ 10510

โทร. 02-906-7003-5

ศูนย์ความเป็นเลิศทางการแพทย์ โรคมะเร็งครบวงจร

ศูนย์ความเป็นเลิศทางการแพทย์ โรคมะเร็งครบวงจร

ศูนย์ความเป็นเลิศทางการแพทย์ โรคมะเร็งครบวงจร

ISBN

978-616-8345-26-9

โรงพยาบาลจุฬาลงกรณ์ สภากาชาดไทย

โรงพยาบาลจุฬาลงกรณ์ สภากาชาดไทย

ศูนย์ความเป็นเลิศทางการแพทย์ โรคมะเร็งครบวงจร

ศูนย์ความเป็นเลิศทางการแพทย์ โรคมะเร็งครบวงจร

ศูนย์ความเป็นเลิศทางการแพทย์ โรคมะเร็งครบวงจร

โรงพยาบาลจุฬาลงกรณ์ สภากาชาดไทย

โรงพยาบาลจุฬาลงกรณ์ สภากาชาดไทย

โรงพยาบาลจุฬาลงกรณ์ สภากาชาดไทย

ศูนย์ความเป็นเลิศทางการแพทย์ โรคมะเร็งครบวงจร

ศูนย์ความเป็นเลิศทางการแพทย์ โรคมะเร็งครบวงจร

ศูนย์ความเป็นเลิศทางการแพทย์ โรคมะเร็งครบวงจร

โรงพยาบาลจุฬาลงกรณ์ สภากาชาดไทย

โรงพยาบาลจุฬาลงกรณ์ สภากาชาดไทย

โรงพยาบาลจุฬาลงกรณ์ สภากาชาดไทย

คำนำ

ข้อมูลทางสถิติทางการแพทย์มีความสำคัญอย่างยิ่ง เพื่อความเข้าใจถึงธรรมชาติของโรคนิคมิตต่างๆ และยังเป็นข้อมูลพื้นฐานสำหรับการวิจัยในเชิงลึกต่อไป นอกจากนี้ยังเป็นเครื่องมือสำคัญสำหรับฝ่ายบริหารในการวางกลยุทธ์สำหรับองค์กรเพื่อกำหนดทิศทางสำหรับองค์กรนั้น ๆ ดังนั้นข้อมูลที่ถูกต้องแม่นยำ เชื่อถือได้ จึงมีความจำเป็นต่อการพัฒนาในอนาคต

โรคมะเร็งถือเป็นโรคที่มีความสำคัญในปัจจุบันเป็นอย่างมาก เพราะนอกจากเป็นโรคที่พบบ่อยเป็นอันดับต้น ๆ ของประเทศแล้วการรักษาโรคมะเร็งอย่างได้ผลยังจำเป็นต้องใช้การรักษาด้วยวิธีต่าง ๆ หลายวิธีร่วมกัน ทำให้สิ้นเปลืองค่าใช้จ่ายสูง นอกจากนี้โรคมะเร็งหลายชนิดยังต้องการยาที่เฉพาะเจาะจงต่อโรค ซึ่งส่วนใหญ่มีราคาสูง

โครงการพัฒนาระบบฐานข้อมูลผู้ป่วยโรคมะเร็งและระบบทะเบียนมะเร็ง (Tumor Registry) โดยศูนย์ความเป็นเลิศทางการแพทย์โรคมะเร็งครบวงจรแห่งโรงพยาบาลจุฬาลงกรณ์ (ECCCC) ได้รวบรวมข้อมูลและจัดทำรายงานสถิติโรคมะเร็งตั้งแต่ปี พ.ศ. 2550 จนถึงฉบับนี้เป็นฉบับที่ 13 ซึ่งเป็นการรวบรวมข้อมูลผู้ป่วยโรคมะเร็งที่เข้ารับการวินิจฉัยตลอดจนได้รับการรักษาจากโรงพยาบาลจุฬาลงกรณ์ ในปี พ.ศ. 2566 คณะผู้จัดทำหวังเป็นอย่างยิ่งว่ารายงานสถิติโรคมะเร็งฉบับนี้จะเป็นประโยชน์ต่อเจ้าหน้าที่โรงพยาบาลจุฬาลงกรณ์ สภากาชาดไทย, คณะแพทยศาสตร์ จุฬาลงกรณ์มหาวิทยาลัย และบุคลากรสาธารณสุขที่เกี่ยวข้อง ในด้านการวางแผนการปฏิบัติงานและพัฒนาระบบการป้องกันควบคุมดูแลรักษาโรคมะเร็งและเป็นแหล่งข้อมูลอ้างอิงในการทำวิจัยด้านโรคมะเร็งต่อไป

ที่ปรึกษา

1. รศ.ดร.นพ.โสภากย์
2. รศ.นพ.ณปฎล
3. ศ.นพ.ชนพ
4. รศ.นพ.ปิติ
5. รศ.(พิเศษ)ดร.พญ.ชนมณีภา
6. ผศ.นพ.กฤษณ์
7. ผศ.นพ.พสุรเชษฐ์
8. ผศ.(พิเศษ)พญ.ปิยะดา
9. ผศ.นพ.ชินดนัย
10. ผศ.(พิเศษ)พญ.สุนิสา
11. อ.พญ.กัญญาดา
12. อ.พญ.สุกานัน
13. อ.นพ.ธิตินันท์
14. อ.นพ.ชานนท์
15. รศ.(พิเศษ)พญ.สาริน

1. มนัสชนกรณ์
2. ตั้งจตุรนต์รัศมี
3. ช่วงโชติ
4. เตชะวิจิตร
5. นันทวิทยา
6. เจริญลาภ
7. สมร
8. สิทธิเดชไพบูลย์
9. หงสประภาส
10. ก้องเกียรติกมล
11. ปัญญาอรานันท์
12. เลหาสุรโยธิน
13. สุศิริวัฒนนนท์
14. ตรีกาญจนานันท์
15. กิจพาณิชย์

ที่ปรึกษา

1. ประธานกรรมการ
2. กรรมการ
3. กรรมการ
4. กรรมการ
5. กรรมการ
6. กรรมการ
7. กรรมการ
8. กรรมการ
9. กรรมการ
10. กรรมการ
11. กรรมการ
12. กรรมการ
13. กรรมการ
14. กรรมการ
15. กรรมการและเลขานุการ

บรรณาธิการ

นางมิ่งขวัญ

ไชยพรหม

เจ้าหน้าที่สถิติ

คณะทำงาน

1. นางมิ่งขวัญ
2. นางสาวธีรวรรณ
3. นางสาวนิชภา
4. ว่าที่ร้อยตรีดร.ธีรจุฑาชาติ
5. นางสาวพิชญา

1. ไชยพรหม
2. ยอดอุบล
3. อูปริรัตน์
4. ยงสวัสดิ์
5. ไวยสุขศรี

1. เจ้าหน้าที่สถิติ
2. เจ้าหน้าที่สถิติ
3. เจ้าหน้าที่สถิติ
4. เจ้าหน้าที่บริหารงานทั่วไป
5. เจ้าหน้าที่บริหารงานทั่วไป

หน้า

ตารางที่ 1	แสดงจำนวนผู้ป่วยโรคมะเร็งรายใหม่ ในปี พ.ศ. 2566 (Number of new cancer patients: 2023)	1
ตารางที่ 2	แสดงจำนวนผู้ป่วยโรคมะเร็งรายใหม่ ในปี พ.ศ. 2563-2566 (Number of new cancer patients: 2020-2023)	2
ตารางที่ 3	แสดงจำนวนผู้ป่วยโรคมะเร็ง แบ่งตามกลุ่มโรค ในปี พ.ศ. 2566 (Number of cancer by organs, 2023)	3
ตารางที่ 4	แสดงโรคมะเร็งที่พบมากที่สุด 10 อันดับ ในเพศชาย ในปี พ.ศ. 2566 (Ten most common cancers: male, 2023)	5
ตารางที่ 5	แสดงโรคมะเร็งที่พบมากที่สุด 10 อันดับ ในเพศหญิง ในปี พ.ศ. 2566 (Ten most common cancers: female, 2023)	6
ตารางที่ 6	แสดงจำนวนผู้ป่วยโรคมะเร็ง จำแนกตามช่วงอายุ ในปี พ.ศ. 2566 (Distribution of cancer patients by age-group, 2023)	7
ตารางที่ 7	แสดงจำนวนผู้ป่วยโรคมะเร็ง จำแนกตามวิธีวินิจฉัย ในปี พ.ศ. 2566 (Number of cancer patients by diagnostic method, 2023)	8
ตารางที่ 8	แสดงวิธีการรักษาผู้ป่วยโรคมะเร็งแยกตามเพศ ในปี พ.ศ. 2566 (Method of treatment for cancer patients by gender, 2023)	9
ตารางที่ 9	แสดงประเภทของโรคมะเร็งในเพศชาย จำแนกตามช่วงอายุ ในปี พ.ศ. 2566 (Number of cancer patients by site: male, 2023)	10
ตารางที่ 10	แสดงประเภทของโรคมะเร็งในเพศหญิง จำแนกตามช่วงอายุ ในปี พ.ศ. 2566 (Number of cancer patients by site: female, 2023)	11
ตารางที่ 11	แสดงผลพยาธิวิทยาแยกตามชนิดของโรคมะเร็งและจำนวนที่พบ ในปี พ.ศ. 2566 (Pathology by site, 2023)	12-23
ตารางที่ 12	แสดงจำนวนผู้ป่วยโรคมะเร็งลำไส้ใหญ่และทวารหนัก ในปี พ.ศ. 2563-2566 (Trend of colon & rectum cancer, 2020-2023)	25
ตารางที่ 13	แสดงจำนวนผู้ป่วยโรคมะเร็งลำไส้ใหญ่และทวารหนัก จำแนกตามช่วงอายุ ในปี พ.ศ. 2566 (Distribution of colon & rectum cancer by age-group, 2023)	26

หน้า

ตารางที่ 14	แสดงจำนวนผู้ป่วยโรคมะเร็งลำไส้ใหญ่และทวารหนัก จำแนกตามวิธีวินิจฉัย ในปี พ.ศ. 2566 (Number of colon & rectum cancer patients by diagnostic method, 2023)	27
ตารางที่ 15	แสดงวิธีการรักษาผู้ป่วยโรคมะเร็งลำไส้ใหญ่และทวารหนัก แยกตามเพศ ในปี พ.ศ. 2566 (Method of treatment for colon & rectum cancer patients by gender, 2023)	28
ตารางที่ 16	แสดงจำนวนผู้ป่วยโรคมะเร็งตับและท่อน้ำดี ในปี พ.ศ. 2563-2566 (Trend of liver & bile duct cancer, 2020-2023)	29
ตารางที่ 17	แสดงจำนวนผู้ป่วยโรคมะเร็งตับและท่อน้ำดี จำแนกตามช่วงอายุ ในปี พ.ศ. 2566 (Distribution of liver & bile duct cancer by age-group, 2023)	30
ตารางที่ 18	แสดงจำนวนผู้ป่วยโรคมะเร็งตับและท่อน้ำดี จำแนกตามวิธีวินิจฉัย ในปี พ.ศ. 2566 (Number of liver & bile duct cancer patients by diagnostic method, 2023)	31
ตารางที่ 19	แสดงวิธีการรักษาผู้ป่วยโรคมะเร็งตับและท่อน้ำดีแยกตามเพศ ในปี พ.ศ. 2566 (Method of treatment for liver & bile duct cancer patients by gender, 2023)	32
ตารางที่ 20	แสดงจำนวนผู้ป่วยโรคมะเร็งปอด ในปี พ.ศ. 2563-2566 (Trend of lung cancer, 2020-2023)	33
ตารางที่ 21	แสดงจำนวนผู้ป่วยโรคมะเร็งปอด จำแนกตามช่วงอายุ ในปี พ.ศ. 2566 (Distribution of lung cancer by age-group, 2023)	34
ตารางที่ 22	แสดงจำนวนผู้ป่วยโรคมะเร็งปอด จำแนกตามวิธีวินิจฉัย ในปี พ.ศ. 2566 (Number of lung cancer patients by diagnostic method, 2023)	35
ตารางที่ 23	แสดงวิธีการรักษาผู้ป่วยโรคมะเร็งปอด แยกตามเพศ ในปี พ.ศ. 2566 (Method of treatment for lung cancer patients by gender, 2023)	36
ตารางที่ 24	แสดงจำนวนผู้ป่วยโรคมะเร็งเต้านม ในปี พ.ศ. 2563-2566 (Trend of breast cancer, 2020-2023)	37
ตารางที่ 25	แสดงจำนวนผู้ป่วยโรคมะเร็งเต้านม จำแนกตามช่วงอายุ ในปี พ.ศ. 2566 (Distribution of breast cancer by age-group, 2023)	38
ตารางที่ 26	แสดงจำนวนผู้ป่วยโรคมะเร็งเต้านม จำแนกตามวิธีวินิจฉัย ในปี พ.ศ. 2566 (Number of breast cancer patients by diagnostic method, 2023)	39

<p>ศูนย์ความเป็นเลิศทางการแพทย์ โรคมะเร็งครบวงจร</p> <p>โรงพยาบาลจุฬาลงกรณ์ ภูมิภาคชาติไทย</p>	<p>ศูนย์ความเป็นเลิศทางการแพทย์ โรคมะเร็งครบวงจร</p> <p>โรงพยาบาลจุฬาลงกรณ์ ภูมิภาคชาติไทย</p>	<p>ศูนย์ความเป็นเลิศทางการแพทย์ โรคมะเร็งครบวงจร</p> <p>โรงพยาบาลจุฬาลงกรณ์ ภูมิภาคชาติไทย</p>
<p>ตารางที่ 27</p> <p>แสดงจำนวนวิธีการรักษาผู้ป่วยโรคมะเร็งเต้านม แยกตามเพศ ในปี พ.ศ. 2566</p> <p>(Method of treatment for breast cancer patients by gender, 2023)</p>	40	
<p>ตารางที่ 28</p> <p>แสดงจำนวนผู้ป่วยโรคมะเร็งปากมดลูก ในปี พ.ศ. 2563-2566</p> <p>(Trend of cervix uteri cancer, 2020-2023)</p>	41	
<p>ตารางที่ 29</p> <p>แสดงจำนวนผู้ป่วยโรคมะเร็งปากมดลูก จำแนกตามช่วงอายุ ในปี พ.ศ. 2566</p> <p>(Distribution of cervix uteri cancer by age-group, 2023)</p>	42	
<p>ตารางที่ 30</p> <p>แสดงจำนวนผู้ป่วยโรคมะเร็งปากมดลูก จำแนกตามวิธีวินิจฉัย ในปี พ.ศ. 2566</p> <p>(Number of cervix uteri cancer patients by diagnostic method, 2023)</p>	43	
<p>ตารางที่ 31</p> <p>แสดงจำนวนวิธีการรักษาผู้ป่วยโรคมะเร็งปากมดลูก ในปี พ.ศ. 2566</p> <p>(Method of treatment for cervix uteri cancer patients, 2023)</p>	44	
<p>ตารางที่ 32</p> <p>แสดงจำนวนผู้ป่วยโรคมะเร็งมดลูก ในปี พ.ศ. 2563-2566</p> <p>(Trend of corpus uteri cancer, 2020-2023)</p>	45	
<p>ตารางที่ 33</p> <p>แสดงจำนวนผู้ป่วยโรคมะเร็งมดลูก จำแนกตามช่วงอายุ ในปี พ.ศ. 2566</p> <p>(Distribution of corpus uteri cancer by age-group, 2023)</p>	46	
<p>ตารางที่ 34</p> <p>แสดงจำนวนผู้ป่วยโรคมะเร็งมดลูก จำแนกตามวิธีวินิจฉัย ในปี พ.ศ. 2566</p> <p>(Number of corpus uteri cancer patients by diagnostic method, 2023)</p>	47	
<p>ตารางที่ 35</p> <p>แสดงจำนวนวิธีการรักษาผู้ป่วยโรคมะเร็งมดลูก ในปี พ.ศ. 2566</p> <p>(Method of treatment for corpus uteri cancer patients, 2023)</p>	48	
<p>ตารางที่ 36</p> <p>แสดงจำนวนผู้ป่วยโรคมะเร็งรังไข่ ในปี พ.ศ. 2563-2566</p> <p>(Trend of ovarian cancer, 2020-2023)</p>	49	
<p>ตารางที่ 37</p> <p>แสดงจำนวนผู้ป่วยโรคมะเร็งรังไข่ จำแนกตามช่วงอายุ ในปี พ.ศ. 2566</p> <p>(Distribution of ovarian cancer by age-group, 2023)</p>	50	
<p>ตารางที่ 38</p> <p>แสดงจำนวนผู้ป่วยโรคมะเร็งรังไข่ จำแนกตามวิธีวินิจฉัยในปี พ.ศ. 2566</p> <p>(Number of ovarian cancer patients by diagnostic method, 2023)</p>	51	
<p>ตารางที่ 39</p> <p>แสดงจำนวนวิธีการรักษาผู้ป่วยโรคมะเร็งรังไข่ ในปี พ.ศ. 2566</p> <p>(Method of treatment for ovarian cancer patients, 2023)</p>	52	

หน้า

ตารางที่ 40	แสดงจำนวนผู้ป่วยโรคมะเร็งต่อมลูกหมาก ในปี พ.ศ. 2563-2566 (Trend of prostate cancer, 2020-2023)	53
ตารางที่ 41	แสดงจำนวนผู้ป่วยโรคมะเร็งต่อมลูกหมาก จำแนกตามช่วงอายุ ในปี พ.ศ. 2566 (Distribution of prostate cancer by age-group, 2023)	54
ตารางที่ 42	แสดงจำนวนผู้ป่วยโรคมะเร็งต่อมลูกหมาก จำแนกตามวิธีวินิจฉัย ในปี พ.ศ. 2566 (Number of prostate cancer patients by diagnostic method, 2023)	55
ตารางที่ 43	แสดงจำนวนวิธีการรักษาผู้ป่วยโรคมะเร็งต่อมลูกหมาก ในปี พ.ศ. 2566 (Method of treatment for prostate cancer patients, 2023)	56
ตารางที่ 44	แสดงจำนวนผู้ป่วยโรคมะเร็งต่อมน้ำเหลือง ในปี พ.ศ. 2563-2566 (Trend of lymphoma, 2020-2023)	57
ตารางที่ 45	แสดงจำนวนผู้ป่วยโรคมะเร็งต่อมน้ำเหลือง จำแนกตามช่วงอายุ ในปี พ.ศ. 2566 (Distribution of lymphoma by age-group, 2023)	58
ตารางที่ 46	แสดงจำนวนผู้ป่วยโรคมะเร็งต่อมน้ำเหลือง จำแนกตามวิธีวินิจฉัย ในปี พ.ศ. 2566 (Number of lymphoma patients by diagnostic method, 2023)	59
ตารางที่ 47	แสดงจำนวนวิธีการรักษาผู้ป่วยโรคมะเร็งต่อมน้ำเหลือง แยกตามเพศ ในปี พ.ศ. 2566 (Method of treatment for lymphoma patients by gender, 2023)	60
ตารางที่ 48	แสดงจำนวนผู้ป่วยโรคมะเร็งเม็ดเลือดขาว ในปี พ.ศ. 2563-2566 (Trend of leukemia, 2020-2023)	61
ตารางที่ 49	แสดงจำนวนผู้ป่วยโรคมะเร็งเม็ดเลือดขาว จำแนกตามช่วงอายุ ในปี พ.ศ. 2566 (Distribution of leukemia by age-group, 2023)	62
ตารางที่ 50	แสดงจำนวนผู้ป่วยโรคมะเร็งเม็ดเลือดขาว จำแนกตามวิธีวินิจฉัย ในปี พ.ศ. 2566 (Number of leukemia patients by diagnostic method, 2023)	63
ตารางที่ 51	แสดงจำนวนวิธีการรักษาผู้ป่วยโรคมะเร็งเม็ดเลือดขาว แยกตามเพศ ในปี พ.ศ. 2566 (Method of treatment for leukemia patients by gender, 2023)	64

หน้า

แผนภูมิที่ 1	แสดงจำนวนผู้ป่วยโรคมะเร็งรายใหม่ ในปี พ.ศ. 2563-2566 (Trend of new cancer patients: 2020-2023)	2
แผนภูมิที่ 2	แสดงโรคมะเร็งที่พบบมากที่สุด 10 อันดับ แบ่งตามกลุ่มโรค ในปี พ.ศ. 2566 (Ten most common cancers by organ, 2023)	3
แผนภูมิที่ 3	แสดงโรคมะเร็งที่พบบมากที่สุด 10 อันดับ แบ่งตามกลุ่มโรค ในเพศชาย ในปี พ.ศ. 2566 (Ten most common cancers by organ: male, 2023)	4
แผนภูมิที่ 4	แสดงโรคมะเร็งที่พบบมากที่สุด 10 อันดับ แบ่งตามกลุ่มโรค ในเพศหญิง ในปี พ.ศ. 2566 (Ten most common cancers by organ: female, 2023)	4
แผนภูมิที่ 5	แสดงโรคมะเร็งที่พบบมากที่สุด 10 อันดับ ในเพศชาย ในปี พ.ศ. 2566 (Ten most common cancers: males, 2023)	5
แผนภูมิที่ 6	แสดงโรคมะเร็งที่พบบมากที่สุด 10 อันดับ ในเพศหญิง ในปี พ.ศ. 2566 (Ten most common cancers: female, 2023)	6
แผนภูมิที่ 7	แสดงจำนวนผู้ป่วยโรคมะเร็ง จำแนกตามช่วงอายุ ในปี พ.ศ. 2566 (Distribution of cancer patients by age-group, 2023)	7
แผนภูมิที่ 8	แสดงร้อยละของผู้ป่วยโรคมะเร็ง จำแนกตามวิธีวินิจฉัย ในปี พ.ศ. 2566 (Overall percentage of cancer patients by diagnostic method, 2023)	8
แผนภูมิที่ 9	แสดงจำนวนผู้ป่วยโรคมะเร็งลำไส้ใหญ่และทวารหนัก ในปี พ.ศ. 2563-2566 (Trend of colon & rectum cancer, 2020-2023)	25
แผนภูมิที่ 10	แสดงจำนวนผู้ป่วยโรคมะเร็งลำไส้ใหญ่และทวารหนัก จำแนกตามช่วงอายุ ในปี พ.ศ. 2566 (Distribution of colon & rectum cancer by age-group, 2023)	26
แผนภูมิที่ 11	แสดงร้อยละของผู้ป่วยโรคมะเร็งลำไส้ใหญ่และทวารหนัก จำแนกตามวิธีวินิจฉัย ในปี พ.ศ. 2566 (Percentage of colon & rectum cancer patients by diagnostic method, 2023)	27
แผนภูมิที่ 12	แสดงจำนวนผู้ป่วยโรคมะเร็งตับและท่อน้ำดี ในปี พ.ศ. 2563-2566 (Trend of liver & bile duct cancer, 2020-2023)	29
แผนภูมิที่ 13	แสดงจำนวนผู้ป่วยโรคมะเร็งตับและท่อน้ำดี จำแนกตามช่วงอายุ ในปี พ.ศ. 2566 (Distribution of liver & bile duct cancer by age-group, 2023)	30

หน้า

แผนภูมิที่ 14	แสดงร้อยละของผู้ป่วยโรคมะเร็งตับและท่อน้ำดี จำแนกตามวิธีวินิจฉัย ในปี พ.ศ. 2566 (Percentage of liver & bile duct cancer patients by diagnostic method, 2023)	31
แผนภูมิที่ 15	แสดงจำนวนผู้ป่วยโรคมะเร็งปอด ในปี พ.ศ. 2563-2566 (Trend of lung cancer, 2020-2023)	33
แผนภูมิที่ 16	แสดงจำนวนผู้ป่วยโรคมะเร็งปอด จำแนกตามช่วงอายุ ในปี พ.ศ. 2566 (Distribution of lung cancer by age-group, 2023)	34
แผนภูมิที่ 17	แสดงร้อยละของผู้ป่วยโรคมะเร็งปอด จำแนกตามวิธีวินิจฉัย ในปี พ.ศ. 2566 (Percentage of lung cancer patients by diagnostic method, 2023)	35
แผนภูมิที่ 18	แสดงจำนวนผู้ป่วยโรคมะเร็งเต้านม ในปี พ.ศ. 2563-2566 (Trend of breast cancer, 2020-2023)	37
แผนภูมิที่ 19	แสดงจำนวนผู้ป่วยโรคมะเร็งเต้านม จำแนกตามช่วงอายุ ในปี พ.ศ. 2566 (Distribution of breast cancer by age-group, 2023)	38
แผนภูมิที่ 20	แสดงร้อยละของผู้ป่วยโรคมะเร็งเต้านม จำแนกตามวิธีวินิจฉัย ในปี พ.ศ. 2566 (Percentage of breast cancer patients by diagnostic method, 2023)	39
แผนภูมิที่ 21	แสดงจำนวนผู้ป่วยโรคมะเร็งปากมดลูก ในปี พ.ศ. 2563-2566 (Trend of cervix uteri cancer, 2020-2023)	41
แผนภูมิที่ 22	แสดงจำนวนผู้ป่วยโรคมะเร็งปากมดลูก จำแนกตามช่วงอายุ ในปี พ.ศ. 2566 (Distribution of cervix uteri cancer by age-group, 2023)	42
แผนภูมิที่ 23	แสดงร้อยละของผู้ป่วยโรคมะเร็งปากมดลูก จำแนกตามวิธีวินิจฉัย ในปี พ.ศ. 2566 (Percentage of cervix uteri cancer patients by diagnostic method, 2023)	43
แผนภูมิที่ 24	แสดงจำนวนผู้ป่วยโรคมะเร็งมดลูก ในปี พ.ศ. 2563-2566 (Trend of corpus uteri cancer, 2020-2023)	45
แผนภูมิที่ 25	แสดงจำนวนผู้ป่วยโรคมะเร็งมดลูก จำแนกตามช่วงอายุ ในปี พ.ศ. 2566 (Distribution of corpus uteri cancer by age-group, 2023)	46
แผนภูมิที่ 26	แสดงร้อยละของผู้ป่วยโรคมะเร็งมดลูก จำแนกตามวิธีวินิจฉัย ในปี พ.ศ. 2566 (Percentage of corpus uteri cancer patients by diagnostic method, 2023)	47

สารบัญญแนมณุมิ (ต่อ)

หน้า

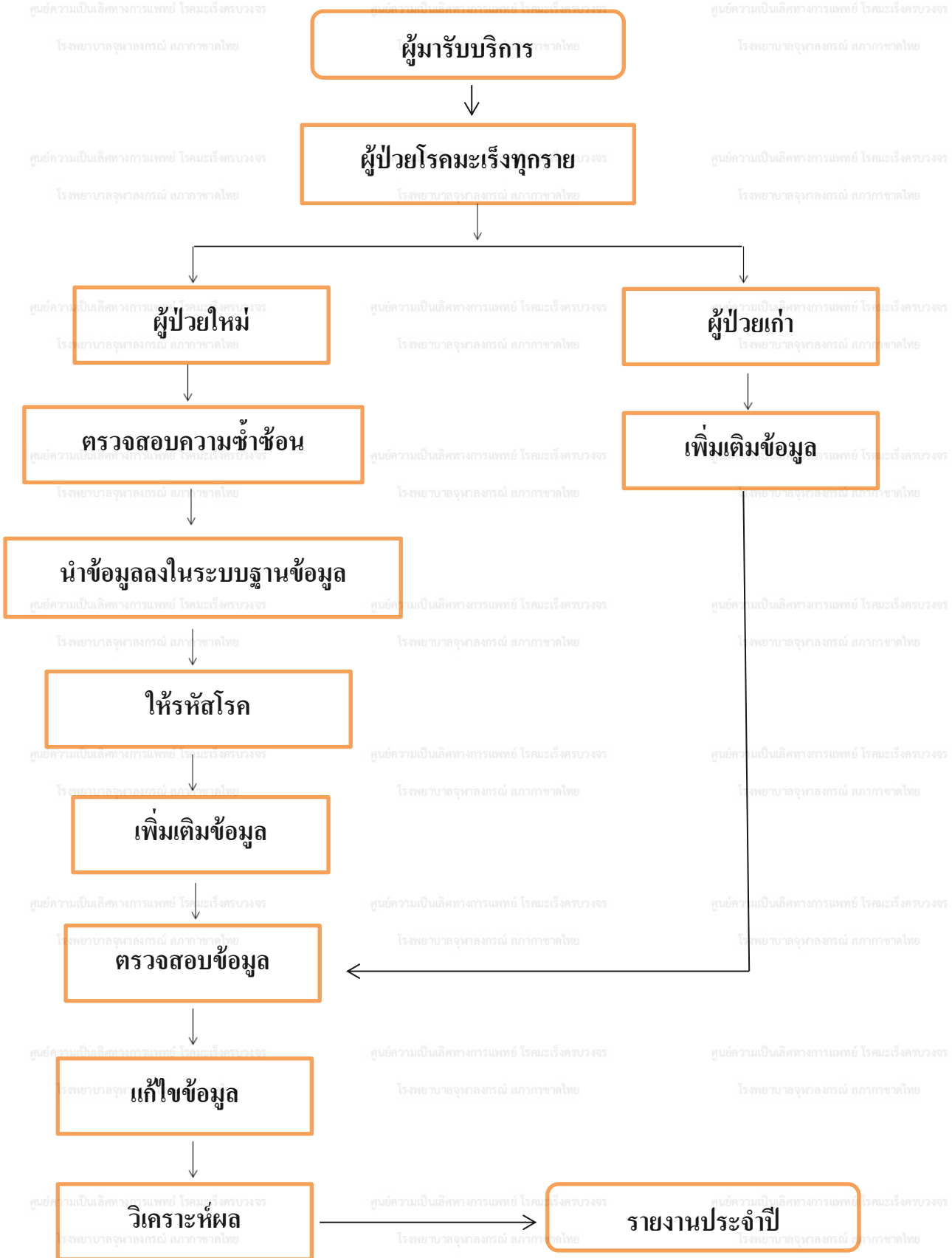
แผนภูมิที่ 39	แสดงอัตรารอดชีพของผู้ป่วยโรคมะเร็งลิ้นที่วินิจฉัย ในปี พ.ศ. 2563 (Survival rate of tongue cancer patients diagnosed in 2020)	66
แผนภูมิที่ 40	แสดงอัตรารอดชีพของผู้ป่วยโรคมะเร็งลิ้นที่วินิจฉัย ในปี พ.ศ. 2563 แยกตามเพศ (Survival rate of tongue cancer patients diagnosed in 2020 by gender)	67
แผนภูมิที่ 41	แสดงอัตรารอดชีพของผู้ป่วยโรคมะเร็งลิ้นที่วินิจฉัย ในปี พ.ศ. 2565 (Survival rate of tongue cancer patients diagnosed in 2022)	68
แผนภูมิที่ 42	แสดงอัตรารอดชีพของผู้ป่วยโรคมะเร็งลิ้นที่วินิจฉัย ในปี พ.ศ. 2565 แยกตามเพศ (Survival rate of tongue cancer patients diagnosed in 2022 by gender)	69
แผนภูมิที่ 43	แสดงอัตรารอดชีพของผู้ป่วยโรคมะเร็งลำไส้ใหญ่และทวารหนักที่วินิจฉัย ในปี พ.ศ. 2563 (Survival rate of colon & rectum cancer patients diagnosed in 2020)	70
แผนภูมิที่ 44	แสดงอัตรารอดชีพของผู้ป่วยโรคมะเร็งลำไส้ใหญ่และทวารหนักที่วินิจฉัย ในปี พ.ศ. 2563 แยกตามเพศ (Survival rate of colon & rectum cancer patients diagnosed in 2020 by gender)	71
แผนภูมิที่ 45	แสดงอัตรารอดชีพของผู้ป่วยโรคมะเร็งลำไส้ใหญ่และทวารหนักที่วินิจฉัย ในปี พ.ศ. 2565 (Survival rate of colon & rectum cancer patients diagnosed in 2022)	72
แผนภูมิที่ 46	แสดงอัตรารอดชีพของผู้ป่วยโรคมะเร็งลำไส้ใหญ่และทวารหนักที่วินิจฉัย ในปี พ.ศ. 2565 แยกตามเพศ (Survival rate of colon & rectum cancer patients diagnosed in 2022 by gender)	73
แผนภูมิที่ 47	แสดงอัตรารอดชีพของผู้ป่วยโรคมะเร็งตับที่วินิจฉัย ในปี พ.ศ. 2563 (Survival rate of liver cancer patients diagnosed in 2020)	74
แผนภูมิที่ 48	แสดงอัตรารอดชีพของผู้ป่วยโรคมะเร็งตับที่วินิจฉัย ในปี พ.ศ. 2563 แยกตามเพศ (Survival rate of liver cancer patients diagnosed in 2020 by gender)	75
แผนภูมิที่ 49	แสดงอัตรารอดชีพของผู้ป่วยโรคมะเร็งตับที่วินิจฉัย ในปี พ.ศ. 2565 (Survival rate of liver cancer patients diagnosed in 2022)	76
แผนภูมิที่ 50	แสดงอัตรารอดชีพของผู้ป่วยโรคมะเร็งตับที่วินิจฉัย ในปี พ.ศ. 2565 แยกตามเพศ (Survival rate of liver cancer patients diagnosed in 2022 by gender)	77

หน้า

แผนภูมิที่ 51	แสดงอัตราการรอดชีพของผู้ป่วยโรคมะเร็งปอดที่วินิจฉัยในปี พ.ศ. 2563 (Survival rate of lung cancer patients diagnosed in 2020)	78
แผนภูมิที่ 52	แสดงอัตราการรอดชีพของผู้ป่วยโรคมะเร็งปอดที่วินิจฉัยในปี พ.ศ. 2563 แยกตามเพศ (Survival rate of lung cancer patients diagnosed in 2020 by gender)	79
แผนภูมิที่ 53	แสดงอัตราการรอดชีพของผู้ป่วยโรคมะเร็งปอดที่วินิจฉัยในปี พ.ศ. 2565 (Survival rate of lung cancer patients diagnosed in 2022)	80
แผนภูมิที่ 54	แสดงอัตราการรอดชีพของผู้ป่วยโรคมะเร็งปอดที่วินิจฉัยในปี พ.ศ. 2565 แยกตามเพศ (Survival rate of lung cancer patients diagnosed in 2022 by gender)	81
แผนภูมิที่ 55	แสดงอัตราการรอดชีพของผู้ป่วยโรคมะเร็งเต้านมที่วินิจฉัยในปี พ.ศ. 2563 (Survival rate of breast cancer patients diagnosed in 2020)	82
แผนภูมิที่ 56	แสดงอัตราการรอดชีพของผู้ป่วยโรคมะเร็งเต้านมที่วินิจฉัยในปี พ.ศ. 2563 แยกตามช่วงอายุ (Survival rate of breast cancer patients diagnosed in 2020 by age)	83
แผนภูมิที่ 57	แสดงอัตราการรอดชีพของผู้ป่วยโรคมะเร็งเต้านมที่วินิจฉัยในปี พ.ศ. 2565 (Survival rate of breast cancer patients diagnosed in 2022)	84
แผนภูมิที่ 58	แสดงอัตราการรอดชีพของผู้ป่วยโรคมะเร็งเต้านมที่วินิจฉัยในปี พ.ศ. 2565 แยกตามช่วงอายุ (Survival rate of breast cancer patients diagnosed in 2022 by age)	85
แผนภูมิที่ 59	แสดงอัตราการรอดชีพของผู้ป่วยโรคมะเร็งปากมดลูกที่วินิจฉัยในปี พ.ศ. 2563 (Survival rate of cervix uteri cancer patients diagnosed in 2020)	86
แผนภูมิที่ 60	แสดงอัตราการรอดชีพของผู้ป่วยโรคมะเร็งปากมดลูกที่วินิจฉัยในปี พ.ศ. 2563 แยกตามช่วงอายุ (Survival rate of cervix uteri cancer patients diagnosed in 2020 by age)	87
แผนภูมิที่ 61	แสดงอัตราการรอดชีพของผู้ป่วยโรคมะเร็งปากมดลูกที่วินิจฉัยในปี พ.ศ. 2565 (Survival rate of cervix uteri cancer patients diagnosed in 2022)	88
แผนภูมิที่ 62	แสดงอัตราการรอดชีพของผู้ป่วยโรคมะเร็งปากมดลูกที่วินิจฉัยในปี พ.ศ. 2565 แยกตามช่วงอายุ (Survival rate of cervix uteri cancer patients diagnosed in 2022 by age)	89
แผนภูมิที่ 63	แสดงอัตราการรอดชีพของผู้ป่วยโรคมะเร็งต่อมน้ำเหลืองที่วินิจฉัยในปี พ.ศ. 2563 (Survival rate of lymphoma patients diagnosed in 2020)	90

ขั้นตอนการทำทะเบียนมะเร็งระดับโรงพยาบาลของโรงพยาบาลจุฬาลงกรณ์

(Hospital – Based Cancer Registry)



ข้อมูลทะเบียนมะเร็งผู้ป่วยรายใหม่ที่ได้รับการวินิจฉัยและรักษา

ณ โรงพยาบาลจุฬาลงกรณ์ ในปี พ.ศ. 2566

ตารางที่ 1

แสดงจำนวนผู้ป่วยโรคมะเร็งรายใหม่ ในปี พ.ศ. 2566

(Number of new cancer patients: 2023)

ผู้ป่วยโรคมะเร็ง	จำนวน	ร้อยละ
ผู้ป่วยมะเร็งรายใหม่เพศชาย	3,085	42.6
ผู้ป่วยมะเร็งรายใหม่เพศหญิง	4,154	57.4
รวม	7,239	100.0

ตารางที่ 2

แสดงจำนวนผู้ป่วยโรคมะเร็งรายใหม่ ในปี พ.ศ. 2563-2566

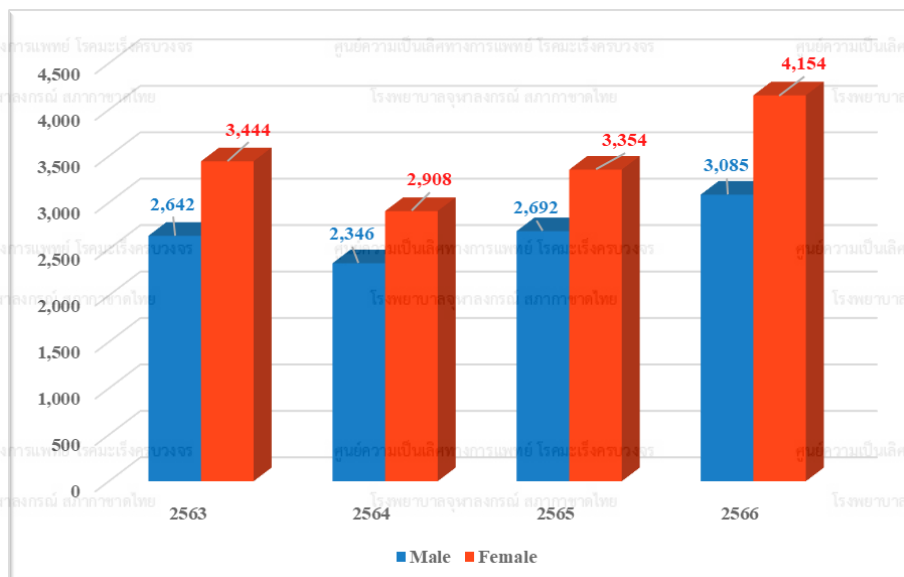
(Number of new cancer patients: 2020-2023)

Year	Male	Female	Total
2563	2,642	3,444	6,086
2564	2,346	2,908	5,254
2565	2,692	3,354	6,046
2566	3,085	4,154	7,239

แผนภูมิที่ 1

แสดงจำนวนผู้ป่วยโรคมะเร็งรายใหม่ ในปี พ.ศ. 2563-2566

(Trend of new cancer patients: 2020-2023)



ตารางที่ 3

แสดงจำนวนผู้ป่วยโรคมะเร็ง แบ่งตามกลุ่มโรค ในปี พ.ศ. 2566

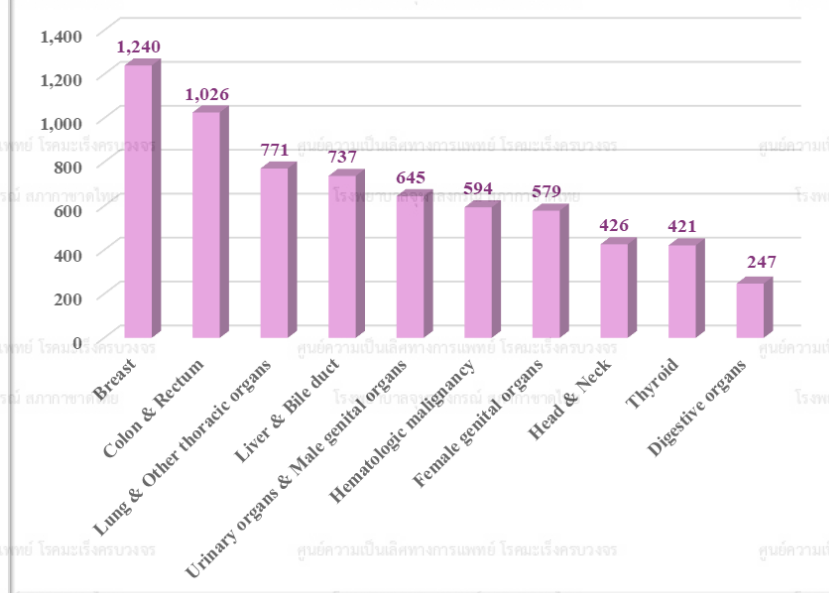
(Number of cancer by organs, 2023)

Organs	Male		Female		Total		ICD-10
	Case	%	Case	%	Case	%	
Head & Neck	296	9.6	130	3.1	426	5.9	C00-C14, C30-C32
Digestive organs	150	4.9	97	2.3	247	3.4	C15-C17, C26
Colon & Rectum	549	17.8	477	11.5	1,026	14.2	C18-C21
Liver & Bile duct	468	15.2	269	6.5	737	10.2	C22-C25
Lung & Other thoracic organs	394	12.8	377	9.1	771	10.7	C33-34, C37-39, C45
Bone & Soft tissue	77	2.5	91	2.2	168	2.3	C40-C41, C46-C49
Skin	80	2.6	88	2.1	168	2.3	C43-C44
Breast	6	0.2	1,234	29.7	1,240	17.1	C50
Female genital organs	0	0.0	579	13.9	579	8.0	C51-C58
Urinary organs & Male genital organs	571	18.5	74	1.8	645	8.9	C60-C68
Eye	4	0.1	5	0.1	9	0.1	C69
Brain & nervous system	67	2.2	63	1.5	130	1.8	C70-C72
Thyroid	66	2.1	355	8.5	421	5.8	C73
Other endocrine glands	14	0.5	5	0.1	19	0.3	C74-C75
Other & ill-defined sites	6	0.2	1	0.0	7	0.1	C76
Hematologic malignancy	308	10.0	286	6.9	594	8.2	C81-C96, D45-47
Other & unspecified	29	0.9	23	0.6	52	0.7	C80
Total	3,085	100.0	4,154	100.0	7,239	100.0	

แผนภูมิที่ 2

แสดงโรคมะเร็งที่พบบ่อยที่สุด 10 อันดับ แบ่งตามกลุ่มโรค ในปี พ.ศ. 2566

(Ten most common cancers by organ, 2023)



ตารางที่ 4

แสดงโรคมะเร็งที่พบบ่อยมากที่สุด 10 อันดับ ในเพศชาย ในปี พ.ศ. 2566

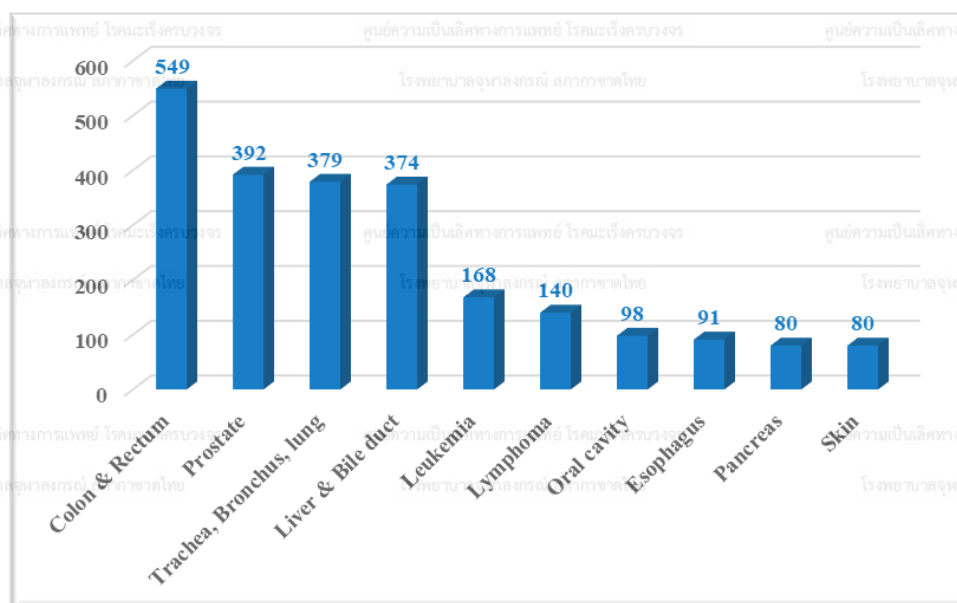
(Ten most common cancers: male, 2023)

Organs	Number	Percent
Colon & Rectum	549	17.8
Prostate	392	12.7
Trachea, Bronchus, lung	379	12.3
Liver & Bile duct	374	12.1
Leukemia	168	5.4
Lymphoma	140	4.5
Oral cavity	98	3.2
Esophagus	91	2.9
Pancreas	80	2.6
Skin	80	2.6

แผนภูมิที่ 5

แสดงโรคมะเร็งที่พบบ่อยมากที่สุด 10 อันดับ ในเพศชาย ในปี พ.ศ. 2566

(Ten most common cancers: male, 2023)



ตารางที่ 5

แสดงโรคมะเร็งที่พบบ่อยมากที่สุด 10 อันดับ ในเพศหญิง ในปี พ.ศ. 2566

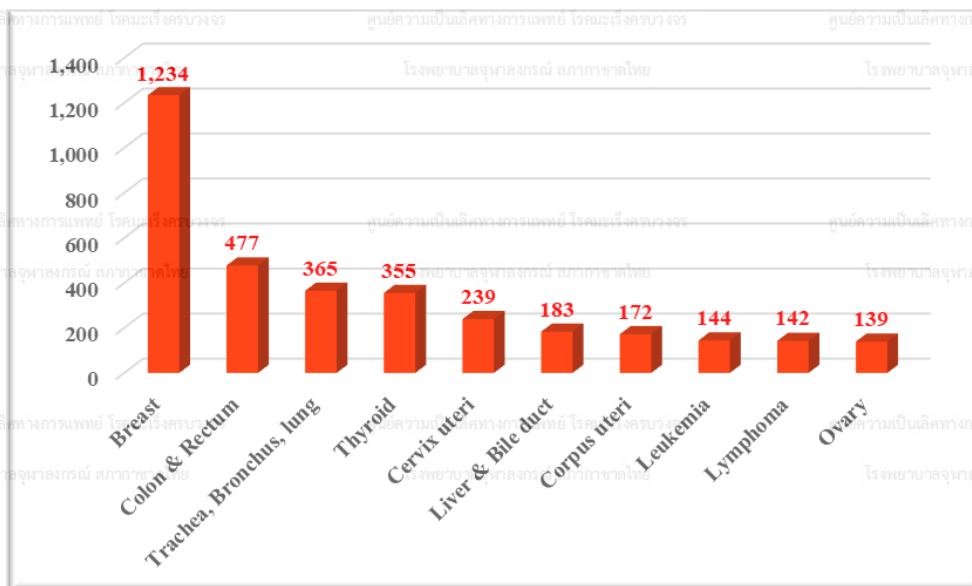
(Ten most common cancers: female, 2023)

Organs	Number	Percent
Breast	1,234	29.7
Colon & Rectum	477	11.5
Trachea, Bronchus, lung	365	8.8
Thyroid	355	8.5
Cervix uteri	239	5.8
Liver & Bile duct	183	4.4
Corpus uteri	172	4.1
Leukemia	144	3.5
Lymphoma	142	3.4
Ovary	139	3.3

แผนภูมิที่ 6

แสดงโรคมะเร็งที่พบบ่อยมากที่สุด 10 อันดับ ในเพศหญิง ในปี พ.ศ. 2566

(Ten most common cancers: female, 2023)



ตารางที่ 6

แสดงจำนวนผู้ป่วยโรคมะเร็ง จำแนกตามช่วงอายุ ในปี พ.ศ. 2566

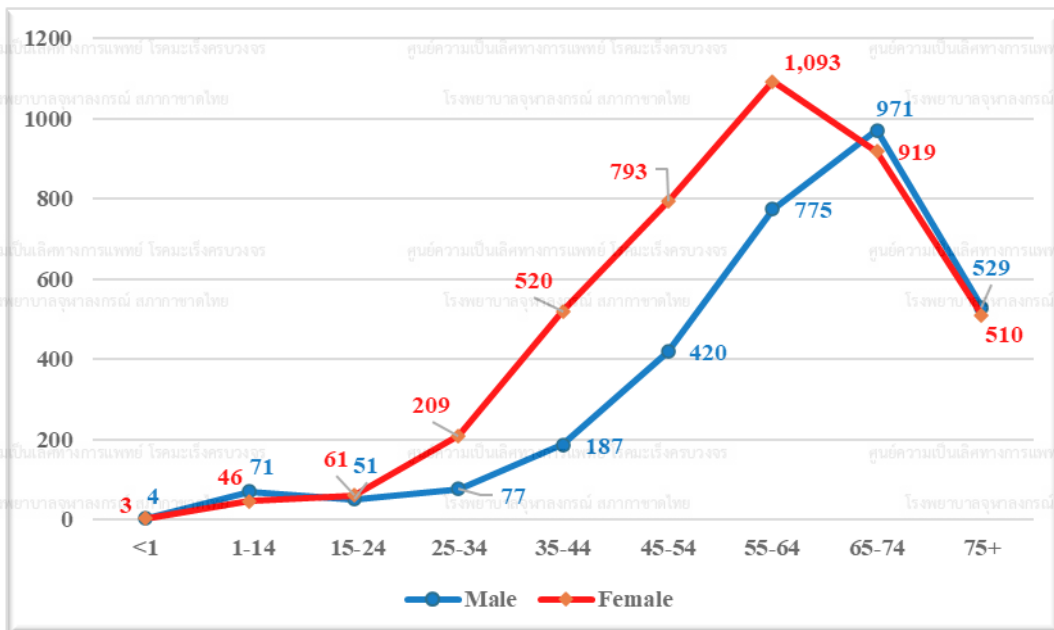
(Distribution of cancer patients by age-group, 2023)

Age group	Male		Female		Total	
	Number	%	Number	%	Number	%
<1	4	0.1	3	0.1	7	0.1
1-14	71	2.3	46	1.1	117	1.6
15-24	51	1.7	61	1.5	112	1.5
25-34	77	2.5	209	5.0	286	4.0
35-44	187	6.1	520	12.5	707	9.8
45-54	420	13.6	793	19.1	1,213	16.8
55-64	775	25.1	1,093	26.3	1,868	25.8
65-74	971	31.5	919	22.1	1,890	26.1
75+	529	17.1	510	12.3	1,039	14.4
Total	3,085	100.0	4,154	100.0	7,239	100.0

แผนภูมิที่ 7

แสดงจำนวนผู้ป่วยโรคมะเร็ง จำแนกตามช่วงอายุ ในปี พ.ศ. 2566

(Distribution of cancer patients by age-group, 2023)



ตารางที่ 7

แสดงจำนวนผู้ป่วยโรคมะเร็ง จำแนกตามวิธีวินิจฉัย ในปี พ.ศ. 2566

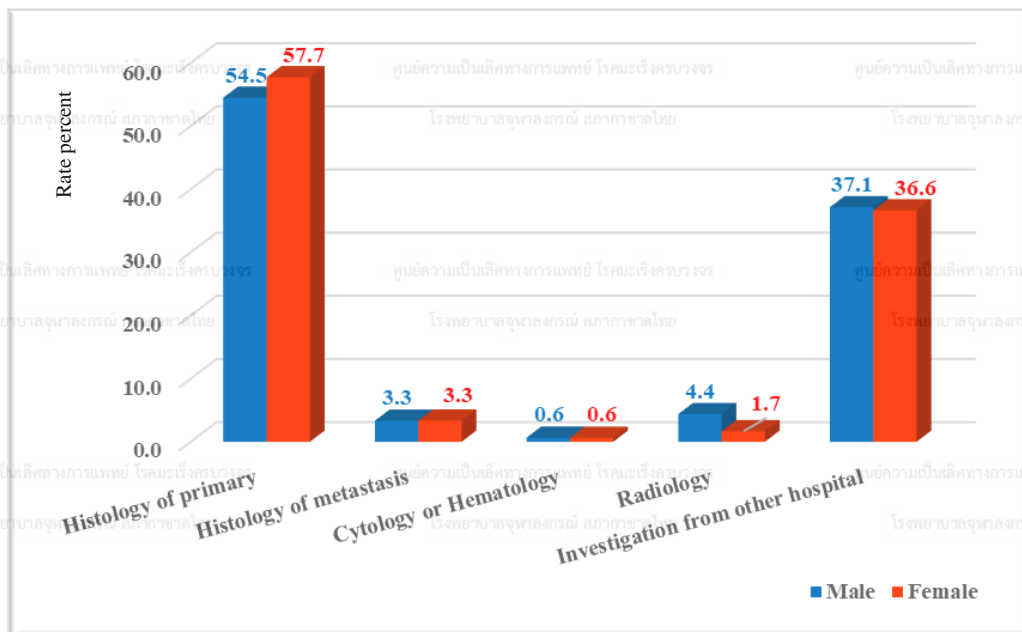
(Number of cancer patients by diagnostic method, 2023)

Method of diagnosis	Male		Female		Total	
	Number	%	Number	%	Number	%
Histology of primary	1,681	54.5	2,398	57.7	4,079	56.3
Histology of metastasis	103	3.3	139	3.3	242	3.3
Cytology or Hematology	20	0.6	26	0.6	46	0.6
Radiology	135	4.4	69	1.7	204	2.8
Investigation from other hospital	1,146	37.1	1,522	36.6	2,668	36.9
Total	3,085	100.0	4,154	100.0	7,239	100.0

แผนภูมิที่ 8

แสดงร้อยละของผู้ป่วยโรคมะเร็ง จำแนกตามวิธีวินิจฉัย ในปี พ.ศ. 2566

(Overall percentage of cancer patients by diagnostic method, 2023)



ตารางที่ 8

แสดงวิธีการรักษาผู้ป่วยโรคมะเร็ง แยกตามเพศ ในปี พ.ศ. 2566

(Method of treatment for cancer patients by gender, 2023)

วิธีการรักษา (ผู้ป่วย 1 ราย มีการรักษาได้มากกว่า 1 วิธี)	ผู้ป่วยชาย (n = 3,085)		ผู้ป่วยหญิง (n = 4,154)	
	จำนวน	ร้อยละ	จำนวน	ร้อยละ
Surgery	795	25.8	1,449	34.9
Radiation	1,095	35.5	1,907	45.9
Chemotherapy	1,041	33.7	1,616	38.9
Targeted therapy	375	12.2	611	14.7
Hormonal therapy	165	5.3	609	14.7
Interventional	229	7.4	171	4.1
TACE	127	4.1	55	1.3
Immunotherapy	122	4.0	89	2.1
Supportive Only	518	16.8	508	12.2
*No treatment data	221	7.2	293	7.1

*No treatment data: 1. ผู้ป่วยปฏิเสธการรักษา

2. ผู้ป่วยไปรักษาโรงพยาบาลอื่น

ตารางที่ 9

แสดงประเภทของโรคมะเร็งในเพศชาย จำแนกตามช่วงอายุ ในปี พ.ศ. 2566

(Number of cancer patients by site: male, 2023)

SITE	ALL AGE	<1	1-14	15-24	25-34	35-44	45-54	55-64	65-74	75+	ICD -10
Oral cavity	98	-	-	1	7	10	18	34	22	6	C00, C02-C08
Oropharynx, etc.	45	-	-	-	-	2	10	19	12	2	C01, C09-C10,C14
Nasopharynx	62	-	-	4	7	9	16	14	10	2	C11
Hypopharynx	24	-	-	-	-	1	7	8	5	3	C12-C13
Esophagus	91	-	-	-	-	1	21	28	28	13	C15
Stomach	52	-	-	-	1	6	11	15	9	10	C16
Small intestine	7	-	-	-	-	-	2	1	3	1	C17
Colon & Rectum	549	-	-	-	15	36	80	156	177	85	C18-C21
Liver & Bile duct	374	-	3	-	1	24	52	116	136	42	C22, C24
Gallbladder	14	-	-	-	-	1	1	8	1	3	C23
Pancreas	80	-	-	-	-	4	11	18	24	23	C25
Nose, sinuses etc.	18	-	-	2	-	2	3	6	2	3	C30-C31
Larynx	49	-	-	-	-	1	7	19	17	5	C32
Trachea, bronchus, lung	379	-	1	-	3	14	40	82	150	89	C33-C34
Other thoracic organs	12	-	-	2	3	-	3	1	2	1	C37-C38
Bone	24	-	6	5	2	4	2	3	2	-	C40-C41
Skin	80	-	-	1	1	4	8	18	21	27	C43-C44
Mesothelioma	3	-	-	-	-	-	-	1	2	-	C45
Connective & Soft tissue	50	-	4	5	2	4	6	9	15	5	C47,C49
Retroperitoneum & Peritoneum	3	-	-	1	-	-	-	1	1	-	C48
Breast	6	-	-	-	-	-	1	4	-	1	C50
Penis	6	-	-	-	-	3	1	1	1	-	C60
Prostate	392	-	-	-	-	1	9	81	185	116	C61
Testis	9	-	-	-	8	1	-	-	-	-	C62
Kidney	69	-	2	2	2	8	13	19	18	5	C64
Renal pelvis	5	-	-	-	-	-	2	2	1	-	C65
Ureter	9	-	-	-	-	-	1	-	4	4	C66
Bladder	80	-	-	1	-	-	7	10	33	29	C67
Other & unspecified urinary organs	1	-	-	-	-	-	-	-	1	-	C68
Eye	4	-	1	-	-	-	1	-	1	1	C69
Brain, nervous system	67	1	23	3	6	3	18	4	5	4	C70-C72
Thyroid	66	-	-	2	6	16	13	14	12	3	C73
Adrenal gland	7	2	2	-	-	1	-	-	2	-	C74
Other endocrine	7	-	3	4	-	-	-	-	-	-	C75
Other & Ill-defined sites	6	-	-	-	-	-	1	2	3	-	C76
Lymphoma	140	-	12	7	7	13	18	39	30	14	C81-C88,C96
Leukemia	124	1	14	11	5	18	24	19	20	12	C90-C95
Chronic myeloproliferative disease	17	-	-	-	1	-	2	9	2	3	MPD (D45,D47)
Myelodysplastic syndrome	27	-	-	-	-	-	3	6	7	11	MDS (D46)
Other & Unspecified	29	-	-	-	-	-	8	8	8	5	O&U
Total	3,085	4	71	51	77	187	420	775	972	528	

ตารางที่ 10

แสดงประเภทของโรคมะเร็งในเพศหญิง จำแนกตามช่วงอายุ ในปี พ.ศ. 2566

(Number of cancer patients by site: female, 2023)

SITE	ALL AGE	<1	1-14	15-24	25-34	35-44	45-54	55-64	65-74	75+	ICD -10
Oral cavity	70	-	-	3	2	6	11	18	14	16	C00, C02-C08
Oropharynx, etc.	4	-	-	-	-	-	1	-	3	-	C01, C09-C10,C14
Nasopharynx	36	-	1	-	3	5	11	6	8	2	C11
Hypopharynx	3	-	-	-	-	1	-	-	1	1	C12-C13
Esophagus	10	-	-	-	-	1	1	1	5	2	C15
Stomach	74	-	-	-	4	7	19	16	20	8	C16
Small intestine	13	-	-	-	-	1	3	3	5	1	C17
Colon & Rectum	477	-	-	-	9	29	90	129	145	75	C18-C21
Liver & Bile duct	183	1	2	2	4	8	16	36	69	45	C22,C24
Gallbladder	20	-	-	-	-	1	1	4	9	5	C23
Pancreas	66	-	-	-	-	1	7	17	26	15	C25
Nose, sinuses etc.	12	-	1	-	-	3	1	4	2	1	C30-C31
Larynx	5	-	-	-	-	-	2	1	2	-	C32
Trachea, bronchus, lung	365	-	-	1	4	16	41	118	107	78	C33-C34
Other thoracic organs	10	-	-	1	1	1	-	3	4	-	C37-C38
Bone	15	-	3	6	-	-	3	2	1	-	C40-C41
Skin	88	-	2	3	1	8	5	17	29	23	C43-C44
Mesothelioma	2	-	-	-	-	-	-	2	-	-	C45
Connective & Soft tissue	60	1	1	2	6	8	11	13	10	8	C47,C49
Retroperitoneum & Peritoneum	16	-	-	-	2	2	2	2	5	3	C48
Breast	1234	-	-	2	46	192	309	357	225	103	C50
Valva	7	-	-	-	-	1	-	1	4	1	C51
Vagina	4	-	-	-	-	-	-	-	3	1	C52
Cervix uteri	239	-	-	1	26	53	51	58	37	13	C53
Corpus uteri	172	-	-	1	4	16	30	65	40	16	C54
Uterus	3	-	-	-	-	1	1	1	-	-	C55
Ovary	139	-	1	2	6	16	39	45	23	7	C56
Female genital organs	14	-	-	-	2	-	5	5	2	-	C57
Placenta	1	-	-	-	-	-	-	1	-	-	C58
Kidney	32	-	1	-	2	1	11	7	4	6	C64
Renal pelvis	7	-	-	-	-	-	-	2	2	3	C65
Ureter	6	-	-	-	-	-	-	1	3	2	C66
Bladder	28	-	-	-	-	-	2	6	8	12	C67
Other & unspecified urinary organs	1	-	-	-	-	-	-	1	-	-	C68
Eye	5	-	1	-	1	1	1	-	1	-	C69
Brain, nervous system	63	1	11	3	5	8	12	15	6	2	C70-C72
Thyroid	355	-	-	12	58	80	77	77	36	15	C73
Adrenal gland	4	-	3	-	1	-	-	-	-	-	C74
Other endocrine	1	-	-	-	-	1	-	-	-	-	C75
Other & Ill-defined sites	1	-	-	-	-	-	-	-	-	1	C76
Lymphoma	142	-	3	8	14	25	16	25	31	20	C81-C88,C96
Leukemia	105	-	15	13	8	15	9	18	17	10	C90-C95
Chronic myeloproliferative disease	17	-	-	-	-	4	4	4	2	3	MPD (D45,D47)
Myelodysplastic syndrome	22	-	1	1	-	1	2	2	7	8	MDS (D46)
Other & Unspecified	23	-	-	-	-	4	2	10	5	2	O&U
Total	4,154	3	46	61	209	517	796	1,093	921	508	

ตารางที่ 11

แสดงผลพยาธิวิทยา แยกตามชนิดของโรคมะเร็งและจำนวนที่พบในปี พ.ศ. 2566

Site code	Pathology	Morphology description	Male	Female	Total
C00, C02 - C08	Oral cavity		95	64	159
C00	Lip		0	2	2
	8070	Squamous cell carcinoma	0	2	2
C02	Tongue		41	28	69
	8070	Squamous cell carcinoma	39	27	66
	8071	Squamous cell carcinoma, keratinizing	1	0	1
	8072	Squamous cell carcinoma, nonkeratinizing	1	0	1
	8430	Mucoepidermoid carcinoma	0	1	1
C03	Gum		12	7	19
	8051	Verrucous carcinoma	0	1	1
	8070	Squamous cell carcinoma	9	6	15
	8072	Squamous cell carcinoma, nonkeratinizing	1	0	1
	9120	Angiosarcoma	1	0	1
	9270	Ameloblastic carcinoma	1	0	1
C04	Floor of Mouth		3	1	4
	8070	Squamous cell carcinoma	3	1	4
C05	Palate		8	3	11
	8070	Squamous cell carcinoma	7	2	9
	8200	Adenoid cystic carcinoma	1	0	1
	8430	Mucoepidermoid carcinoma	0	1	1
C06	Mouth		10	4	14
	8070	Squamous cell carcinoma	9	3	12
	8200	Adenoid cystic carcinoma	1	0	1
	8430	Mucoepidermoid carcinoma	0	1	1
C07	Parotid gland		14	14	28
	8010	Carcinoma	2	1	3
	8070	Squamous cell carcinoma	1	1	2
	8082	Lymphoepithelial carcinoma	2	0	2
	8147	Basal cell adenocarcinoma	1	0	1
	8200	Adenoid cystic carcinoma	1	0	1
	8430	Mucoepidermoid carcinoma	1	8	9
	8500	Duct carcinoma	2	0	2
	8502	Secretory carcinoma	0	1	1
	8550	Acinar cell carcinoma	1	1	2
	8562	Epithelial-myoeplithelial carcinoma	2	0	2
	8815	Solitary fibrous tumor, malignant	1	0	1
	8941	Carcinoma in pleomorphic adenoma	0	2	2
C08	Major salivary gland		7	5	12
	8070	Squamous cell carcinoma	1	1	2
	8147	Basal cell adenocarcinoma	1	0	1
	8200	Adenoid cystic carcinoma	2	2	4
	8246	Neuroendocrine carcinoma	1	0	1
	8430	Mucoepidermoid carcinoma	0	1	1
	8500	Infiltrating duct carcinoma	1	0	1
	8941	Carcinoma in pleomorphic adenoma	1	1	2

Site code	Pathology	Morphology description	Male	Female	Total
C01, C09-C10,C14	Oropharynx, etc.		44	4	48
C01	Base of tongue		19	2	21
	8070	Squamous cell carcinoma	17	1	18
	8071	Squamous cell carcinoma, keratinizing	1	0	1
	8072	Squamous cell carcinoma, nonkeratinizing	1	1	2
C09	Tonsil		19	1	20
	8070	Squamous cell carcinoma	12	1	13
	8071	Squamous cell carcinoma, keratinizing	1	0	1
	8072	Squamous cell carcinoma, nonkeratinizing	6	0	6
C10	Oropharynx		6	1	7
	8070	Squamous cell carcinoma	4	1	5
	8071	Squamous cell carcinoma, keratinizing	1	0	1
	8072	Squamous cell carcinoma, nonkeratinizing	1	0	1
C11	Nasopharynx		55	34	89
	8010	Carcinoma	3	2	5
	8020	Carcinoma, undifferentiated	6	2	8
	8070	Squamous cell carcinoma	4	3	7
	8071	Squamous cell carcinoma, keratinizing	1	1	2
	8072	Squamous cell carcinoma, nonkeratinizing	41	24	65
	8200	Adenoid cystic carcinoma	0	2	2
C12-C13	Hypopharynx		23	3	26
C12	Pyriiform		14	1	15
	8070	Squamous cell carcinoma	13	1	14
	8072	Squamous cell carcinoma, nonkeratinizing	1	0	1
C13	Hypopharynx		8	2	10
	8021	Carcinoma, anaplastic	0	1	1
	8070	Squamous cell carcinoma	7	0	7
	8071	Squamous cell carcinoma, keratinizing	1	1	2
C15	Esophagus		88	9	97
	8010	Carcinoma	0	1	1
	8070	Squamous cell carcinoma	83	6	89
	8072	Squamous cell carcinoma, nonkeratinizing	2	0	2
	8140	Adenocarcinoma	3	2	5
C16	Stomach		47	68	115
	8010	Carcinoma	0	2	2
	8041	Small cell carcinoma	1	0	1
	8140	Adenocarcinoma	30	44	74
	8145	Adenocarcinoma, diffuse type	1	1	2
	8211	Tubular adenocarcinoma	1	0	1
	8240	Neuroendocrine tumor, grade I	0	2	2
	8490	Signet ring cell carcinoma	7	8	15
	8936	Gastrointestinal stromal sarcoma	7	11	18
C17	Small intestine		7	12	19
	8010	Carcinoma	0	1	1
	8140	Adenocarcinoma	1	5	6
	8240	Neuroendocrine tumor, grade I	1	0	1
	8249	Neuroendocrine tumor, grade 2	1	0	1
	8480	Mucinous adenocarcinoma	0	1	1
	8936	Gastrointestinal stromal sarcoma	3	5	8
	9364	Peripheral neuroectodermal tumor	1	0	1

Site code	Pathology	Morphology description	Male	Female	Total
C18-C21	Colon & Rectum		504	439	943
C18	Colon		230	253	483
	8140	Adenocarcinoma	205	225	430
	8480	Mucinous adenocarcinoma	24	22	46
	8481	Mucin-producing adenocarcinoma	1	1	2
	8490	Signet ring cell carcinoma	0	3	3
	8936	Gastrointestinal stromal sarcoma	0	2	2
C19	Rectosigmoid juncton		47	31	78
	8140	Adenocarcinoma	46	30	76
	8480	Mucinous adenocarcinoma	1	1	2
C20	Rectum		208	140	348
	8010	Carcinoma	1	0	1
	8013	Large cell neuroendocrine carcinoma	0	1	1
	8070	Squamous cell carcinoma	1	0	1
	8140	Adenocarcinoma	194	129	323
	8240	Neuroendocrine tumor, grade 1	1	2	3
	8249	Neuroendocrine tumor, grade 2	2	3	5
	8480	Mucinous adenocarcinoma	7	3	10
	8490	Signet ring cell carcinoma	1	0	1
	8560	Adenosquamous carcinoma	1	0	1
	8936	Gastrointestinal stromal sarcoma	0	2	2
C21	Anus & Anal canal		19	15	34
	8070	Squamous cell carcinoma	6	9	15
	8083	Basoloid squamous cell carcinoma	1	0	1
	8140	Adenocarcinoma	9	6	15
	8480	Mucinous adenocarcinoma	3	0	3
C22, C24	Liver & Bile duct		139	82	221
C220, C222, 223-229	Liver		81	33	114
	8170	Hepatocellular carcinoma	75	32	107
	8180	Hepatocholangiocarcinoma	3	1	4
	8970	Hepatoblastoma	2	0	2
	9120	Angiosarcoma	1	0	1
C221	Intrahepatic bile duct		49	44	93
	8010	Carcinoma	0	1	1
	8020	Carcinoma, undifferentiated	1	0	1
	8140	Adenocarcinoma	33	27	60
	8160	Cholangiocarcinoma	15	15	30
	8503	Intraductal papillary-mucinous carcinoma of bile duct	0	1	1
C24	Other and unspecified parts of biliary tract		9	5	14
	8140	Adenocarcinoma	6	3	9
	8163	Pancreatobiliary-type carcinoma	3	1	4
	8480	Mucinous adenocarcinoma	0	1	1
C23	Gallbladder		11	15	26
	8010	Carcinoma	0	1	1
	8070	Squamous cell carcinoma	0	2	2
	8140	Adenocarcinoma	9	9	18
	8249	Neuroendocrine tumor, grade 2	0	1	1
	8503	Intracystic papillary neoplasm with associated invasive carcinoma	1	2	3
	8560	Adenosquamous carcinoma	1	0	1

Site code	Pathology	Morphology description	Male	Female	Total
C25	Pancreas		56	51	107
	8010	Carcinoma	3	0	3
	8140	Adenocarcinoma	38	35	73
	8240	Neuroendocrine tumor, grade 1	3	5	8
	8246	Neuroendocrine carcinoma	1	0	1
	8249	Neuroendocrine tumor, grade 2	3	5	8
	8453	Intraductal papillary-mucinous carcinoma, invasive	3	0	3
	8470	Mucinous cystic tumor with an associated invasive carcinoma	0	1	1
	8500	Duct adenocarcinoma	5	3	8
	8560	Adenosquamous carcinoma	0	1	1
	8980	Carcinosarcoma	0	1	1
C30-C31	Nose, sinuses etc.		18	12	30
C30	Nasal cavity & Middle ear		13	7	20
	8070	Squamous cell carcinoma	2	0	2
	8071	Squamous cell carcinoma, keratinizing	1	0	1
	8072	Squamous cell carcinoma, nonkeratinizing	0	1	1
	8082	Lymphoepithelial carcinoma	3	0	3
	8140	Adenocarcinoma	0	1	1
	8200	Adenoid cystic carcinoma	1	1	2
	8240	Neuroendocrine tumor, grade 1	1	0	1
	9081	Teratocarcinosarcoma	2	0	2
	8920	Alveolar rhabdomyosarcoma	0	1	1
	9522	Olfactory neuroblastoma	3	3	6
C31	Accessory sinuses		5	5	10
	8020	Carcinoma, undifferentiated	0	1	1
	8070	Squamous cell carcinoma	3	2	5
	8071	Squamous cell carcinoma, keratinizing	1	0	1
	8074	Squamous cell carcinoma, spindle cell	1	0	1
	8200	Adenoid cystic carcinoma	0	2	2
C32	Larynx		45	4	49
	8013	Large cell neuroendocrine carcinoma	0	1	1
	8070	Squamous cell carcinoma	37	2	39
	8071	Squamous cell carcinoma, keratinizing	6	1	7
	8074	Squamous cell carcinoma, spindle cell	1	0	1
	8560	Adenosquamous carcinoma	1	0	1
C33-C34	Trachea, Bronchus & Lung		355	320	675
C33	Trachea		4	0	4
	8070	Squamous cell carcinoma	2	0	2
	8071	Squamous cell carcinoma, keratinizing	1	0	1
	8200	Adenoid cystic carcinoma	1	0	1
C34	Bronchus & Lung		351	320	671
	8010	Carcinoma	9	6	15
	8013	Large cell neuroendocrine carcinoma	2	0	2
	8041	Small cell carcinoma	22	1	23
	8045	Combined small cell-large cell carcinoma	0	1	1
	8046	Non-small cell carcinoma	20	7	27
	8070	Squamous cell carcinoma	33	7	40
	8071	Squamous cell carcinoma, keratinizing	1	0	1
	8072	Squamous cell carcinoma, nonkeratinizing	4	2	6

Site code	Pathology	Morphology description	Male	Female	Total
	8082	Lymphoepithelial carcinoma	1	0	1
	8140	Adenocarcinoma	204	220	424
	8201	Cribriform carcinoma	1	0	1
	8230	Solid carcinoma	1	2	3
	8240	Neuroendocrine tumor, grade 1	2	1	3
	8246	Neuroendocrine carcinoma	3	0	3
	8249	Neuroendocrine tumor, grade 2	0	1	1
	8250	Lepidic adenocarcinoma	8	14	22
	8260	Papillary adenocarcinoma	2	5	7
	8430	Mucoepidermoid carcinoma	1	0	1
	8480	Mucinous adenocarcinoma	9	10	19
	8550	Acinar cell carcinoma	24	42	66
	8560	Adenosquamous carcinoma	3	1	4
	8805	Undifferentiated sarcoma	1	0	1
C37-C38	Other Thoracic organs		11	8	19
C37	Thymus		6	7	13
	8072	Squamous cell carcinoma, nonkeratinizing	0	1	1
	8140	Adenocarcinoma	1	0	1
	8580	Thymoma, malignant	1	0	1
	8582	Thymoma, type AB, malignant	1	0	1
	8583	Thymoma, type B1, malignant	0	2	2
	8584	Thymoma, type B2, malignant	1	3	4
	8585	Thymoma, type B3, malignant	2	1	3
C38	Heart, Mediastinum, & Pleura		5	1	6
	8010	Carcinoma	0	1	1
	8890	Leiomyosarcoma	1	0	1
	9061	Seminoma	1	0	1
	9080	Teratoma, malignant	1	0	1
	9085	Mixed germ cell tumor	1	0	1
	9100	Choriocarcinoma	1	0	1
C40-C41	Bone		22	12	34
C40	Bones, Joints & Articular cartilage of Limbs		5	3	8
	8800	Sarcoma	1	0	1
	9133	Epithelioid hemangioendothelioma, malignant	0	1	1
	9180	Osteosarcoma	3	2	5
	9260	Ewing sarcoma	1	0	1
C41	Bones, Joints & Articular cartilage of Other and unspecified sites		17	10	27
	9180	Osteosarcoma	1	1	2
	9181	Chondroblastic osteosarcoma	1	0	1
	9220	Chondrosarcoma	4	2	6
	9240	Mesenchymal chondrosarcoma	1	0	1
	9260	Ewing sarcoma	2	2	4
	9270	Ameloblastic carcinoma	0	1	1
	9370	Chordoma	6	4	10
	9371	Chondroid chordoma	1	0	1
	9372	Dedifferentiated chordoma	1	0	1

Site code	Pathology	Morphology description	Male	Female	Total
C43-C44	Other Skin & Melanoma		79	87	166
C43	Melanoma		20	19	39
	8720	Malignant melanoma	15	13	28
	8721	Nodular melanoma	3	1	4
	8730	Amelanotic melanoma	1	0	1
	8744	Acral lentiginous melanoma, malignant	1	4	5
	8771	Epithelioid cell melanoma	0	1	1
C44	Skin		59	68	127
	8051	Verrucous carcinoma	1	0	1
	8070	Squamous cell carcinoma	19	13	32
	8071	Squamous cell carcinoma, keratinizing	4	4	8
	8083	Basoid squamous cell carcinoma	0	1	1
	8090	Basal cell carcinoma	20	22	42
	8097	Basal cell carcinoma, nodular	12	19	31
	8247	Merkel cell carcinoma	1	0	1
	8402	Nodular hidradenoma, malignant	0	2	2
	8410	Sebaceous adenocarcinoma	0	3	3
	8832	Dermatofibrosarcoma	2	4	6
C45	Mesothelioma		2	1	3
	9050	Mesothelioma, malignant	1	1	2
	9052	Epithelioid mesothelioma	1	0	1
C47;C49	Connective & Soft tissue		50	56	106
C47	Peripheral nerves & Autonomic nerves system		1	3	4
	9540	Malignant peripheral nerve sheath tumor	1	3	4
C49	Connective, subcutaneous & Other Soft tissue		49	53	102
	8800	Sarcoma	7	3	10
	8801	Spindle cell sarcoma	1	0	1
	8802	Giant cell sarcoma	2	0	2
	8804	Epithelioid sarcoma	1	0	1
	8805	Undifferentiated sarcoma	1	2	3
	8806	Desmoplastic small round cell tumor	1	0	1
	8810	Fibrosarcoma	4	3	7
	8811	Fibromyxosarcoma	0	7	7
	8815	Solitary fibrous tumor, malignant	0	2	2
	8850	Liposarcoma	3	3	6
	8851	Liposarcoma, well differentiated	2	0	2
	8852	Myxoid liposarcoma	2	1	3
	8854	Pleomorphic liposarcoma	0	1	1
	8858	Dedifferentiated liposarcoma	2	7	9
	8890	Leiomyosarcoma	4	8	12
	8900	Rhabdomyosarcoma	2	2	4
	8910	Embryonal rhabdomyosarcoma	2	0	2
	8912	Spindle cell rhabdomyosarcoma	0	2	2
	8920	Alveolar rhabdomyosarcoma	2	0	2
	8936	Gastrointestinal stromal sarcoma	5	3	8
	8940	Mixed tumor, malignant	1	0	1
	9040	Synovial sarcoma	3	3	6
	9120	Hemangiosarcoma	3	1	4
	9180	Extraskelatal osteosarcoma	1	1	2

Site code	Pathology	Morphology description	Male	Female	Total
	9231	Extraskelatal myxoid chondrosarcoma	0	1	1
	9540	Malignant peripheral nerve sheath tumor	0	2	2
	9560	Malignant schwannoma	0	1	1
C48	Retroperitoneum & Peritoneum		3	15	18
	8140	Adenocarcinoma	0	2	2
	8441	Serous cystadenocarcinoma	0	7	7
	8480	Mucinous adenocarcinoma	1	0	1
	8815	Solitary fibrous tumor, malignant	0	1	1
	8850	Liposarcoma	1	2	3
	8858	Dedifferentiated liposarcoma	1	1	2
	8890	Leiomyosarcoma	0	2	2
C50	Breast		6	1,156	1,162
	8010	Carcinoma	0	60	60
	8041	Small cell carcinoma	0	1	1
	8050	Papillary carcinoma	0	6	6
	8140	Adenocarcinoma	0	15	15
	8201	Ductal carcinoma, cribriform type	0	3	3
	8211	Tubular adenocarcinoma	0	1	1
	8230	Solid carcinoma	0	1	1
	8246	Neuroendocrine carcinoma	0	1	1
	8265	Micropapillary carcinoma	0	1	1
	8343	Papillary carcinoma encapsulated	0	1	1
	8480	Mucinous adenocarcinoma	0	25	25
	8500	Infiltrating duct carcinoma	6	956	962
	8503	Intraductal papillary adenocarcinoma with invasion	0	5	5
	8520	Infiltrating lobular carcinoma	0	44	44
	8522	Infiltrating duct & lobular carcinoma	0	7	7
	8523	Infiltrating duct mixed with other type of carcinoma	0	17	17
	8540	Paget disease, mammary	0	1	1
	8541	Paget disease and infiltrating duct carcinoma of breast	0	1	1
	8550	Acinar cell carcinoma	0	2	2
	8575	Metaplastic carcinoma	0	2	2
	9020	Phyllodes tumor, malignant	0	6	6
C51	Vulva		0	7	7
	8070	Squamous cell carcinoma	0	1	1
	8071	Squamous cell carcinoma, keratinizing	0	1	1
	8072	Squamous cell carcinoma, nonkeratinizing	0	2	2
	8140	Adenocarcinoma	0	2	2
	8542	Paget disease, extramammary	0	1	1
C52	Vagina		0	4	4
	8070	Squamous cell carcinoma	0	1	1
	8072	Squamous cell carcinoma, nonkeratinizing	0	2	2
	8720	Malignant melanoma	0	1	1
C53	Cervix uteri		0	208	208
	8010	Carcinoma	0	2	2
	8041	Small cell carcinoma	0	6	6
	8070	Squamous cell carcinoma	0	35	35
	8071	Squamous cell carcinoma, keratinizing	0	17	17
	8072	Squamous cell carcinoma, large cell, nonkeratinizing	0	83	83

Site code	Pathology	Morphology description	Male	Female	Total
	8073	Squamous cell carcinoma, small cell, nonkeratinizing	0	3	3
	8076	Squamous cell carcinoma, microinvasive	0	4	4
	8140	Adenocarcinoma	0	19	19
	8200	Adenoid cystic carcinoma	0	1	1
	8246	Neuroendocrine carcinoma	0	2	2
	8260	Papillary adenocarcinoma	0	1	1
	8380	Endometrioid adenocarcinoma	0	2	2
	8384	Adenocarcinoma, endocervical type	0	25	25
	8480	Mucinous adenocarcinoma	0	1	1
	8560	Adenosquamous carcinoma	0	5	5
	8840	Epithelioid sarcoma	0	1	1
	8930	Endometrial stromal sarcoma	0	1	1
C54	Corpus uteri		0	162	162
	8010	Carcinoma	0	1	1
	8140	Adenocarcinoma	0	6	6
	8310	Clear cell carcinoma	0	4	4
	8380	Endometrioid adenocarcinoma	0	116	116
	8384	Adenocarcinoma, endocervical type	0	2	2
	8441	Serous cystadenocarcinoma	0	16	16
	8890	Leiomyosarcoma	0	2	2
	8930	Endometrial stromal sarcoma	0	2	2
	8931	Endometrial stromal sarcoma, low grade	0	1	1
	8950	Mullerian mixed tumor	0	3	3
	8980	Carcinosarcoma	0	9	9
C55	Uterus		0	3	3
	8890	Leiomyosarcoma	0	1	1
	8891	Epithelioid leiomyosarcoma	0	1	1
	8930	Endometrial stromal sarcoma	0	1	1
C56	Ovary		0	127	127
	8070	Squamous cell carcinoma	0	2	2
	8140	Adenocarcinoma	0	15	15
	8246	Neuroendocrine carcinoma	0	1	1
	8310	Clear cell carcinoma	0	30	30
	8380	Endometrioid adenocarcinoma	0	25	25
	8441	Serous cystadenocarcinoma	0	29	29
	8470	Mucinous cystadenocarcinoma	0	7	7
	8480	Mucinous adenocarcinoma	0	8	8
	8620	Granulosa cell tumor, malignant	0	3	3
	8980	Carcinosarcoma	0	3	3
	9071	Yolk sac tumor	0	1	1
	9080	Teratoma, malignant	0	3	3
C57	Female genital tract		0	11	11
	8140	Adenocarcinoma	0	2	2
	8310	Clear cell carcinoma	0	1	1
	8441	Serous cystadenocarcinoma	0	7	7
	8460	Papillary serous cystadenocarcinoma	0	1	1
C58	Placenta		0	1	1
	9100	Choriocarcinoma	0	1	1

Site code	Pathology	Morphology description	Male	Female	Total
C60	Penis		6	0	6
	8070	Squamous cell carcinoma	5	0	5
	8071	Squamous cell carcinoma, keratinizing	1	0	1
C61	Prostate		310	0	310
	8041	Small cell carcinoma	1	0	1
	8070	Squamous cell carcinoma	1	0	1
	8140	Adenocarcinoma	84	0	84
	8550	Acinar cell carcinoma	224	0	224
C62	Testis		8	0	8
	9061	Seminoma	2	0	2
	9070	Embryonal carcinoma	1	0	1
	9071	Yolk sac tumor	1	0	1
	9085	Mixed germ cell tumor	4	0	4
C64	Kidney		64	32	96
	8010	Carcinoma	1	2	3
	8120	Transitional cell carcinoma	0	3	3
	8130	Papillary transitional cell carcinoma	0	1	1
	8260	Papillary renal cell carcinoma	1	1	2
	8312	Renal cell carcinoma	59	22	81
	8317	Renal cell carcinoma, chromophobe type	3	2	5
	8960	Nephroblastoma	0	1	1
C65	Renal pelvis		5	7	12
	8120	Transitional cell carcinoma	3	5	8
	8130	Papillary transitional cell carcinoma	2	2	4
C66	Ureter		9	5	14
	8120	Transitional cell carcinoma	8	4	12
	8130	Papillary transitional cell carcinoma	1	0	1
	8140	Adenocarcinoma	0	1	1
C67	Bladder		69	25	94
	8010	Carcinoma	1	0	1
	8070	Squamous cell carcinoma	0	1	1
	8041	Small cell carcinoma	1	0	1
	8120	Transitional cell carcinoma	45	17	62
	8130	Papillary transitional cell carcinoma	21	7	28
	8249	Neuroendocrine tumor, grade 2	1	0	1
C68	Other & unspecified urinary organs		1	1	2
	8120	Transitional cell carcinoma	1	0	1
	8130	Papillary transitional cell carcinoma	0	1	1
C69	Eye		2	3	5
	8070	Squamous cell carcinoma	1	0	1
	8147	Basal cell adenocarcinoma	0	1	1
	8562	Epithelial-myoeplithelial carcinoma	0	1	1
	8982	Myoeplithelial carcinoma	0	1	1
	9510	Retinoblastoma	1	0	1
C70-C72	Brain, nervous system		62	44	106
C70	Meninges		1	2	3
	9530	Meningioma, malignant	1	2	3

Site code	Pathology	Morphology description	Male	Female	Total
C71	Brain		60	52	112
	8001	Tumor cells, malignant	0	1	1
	8815	Solitary fibrous tumor, malignant	1	0	1
	9064	Germinoma	1	2	3
	9380	Glioma, malignant	25	18	43
	9390	Choroid plexus carcinoma	1	1	2
	9391	Ependy moma	4	0	4
	9392	Ependy moma, anaplastic	3	1	4
	9400	Astrocytoma	7	7	14
	9424	Pleomorphic xanthoastrocytoma	1	0	1
	9440	Glioblastoma	10	10	20
	9442	Gliosarcoma	1	2	3
	9450	Oligodendroglioma	0	3	3
	9451	Oligodendroglioma, anaplastic	1	1	2
	9470	Medulloblastoma	4	6	10
	9505	Ganglioglioma, anaplastic	1	0	1
C72	Spinal cord, cranial nerves, and other parts of central nervous system		1	4	5
	9391	Ependy moma	1	4	5
C73	Thyroid		63	346	409
	8010	Carcinoma	0	2	2
	8021	Carcinoma, anaplastic	0	3	3
	8260	Papillary adenocarcinoma	40	214	254
	8290	Oxyphilic adenocarcinoma	3	4	7
	8330	Follicular adenocarcinoma	1	25	26
	8335	Follicular carcinoma, minimally invasive	1	15	16
	8337	Insular carcinoma	0	1	1
	8340	Papillary carcinoma, follicular variant	10	29	39
	8341	Papillary microcarcinoma	3	26	29
	8343	Papillary carcinoma, encapsulated	4	16	20
	8344	Papillary carcinoma, columnar cell	1	8	9
	8510	Medullary carcinoma	0	3	3
C74	Adrenal gland		5	4	9
	8370	Adrenal cortical carcinoma	1	1	2
	8700	Pheochromocytoma, malignant	1	0	1
	9500	Neuroblastoma	3	3	6
C75	Other endocrine		6	2	8
	9064	Germinoma	5	0	5
	9362	Pineoblastoma	1	0	1
C76	Other & Ill-defined sites		5	1	6
	8010	Carcinoma	0	1	1
	8070	Squamous cell carcinoma	3	0	3
	8072	Squamous cell carcinoma, large cell, nonkeratinizing	1	0	1
	8246	Neuroendocrine carcinoma	1	0	1
C81-C88,C96	Lymphoma		140	142	282
C81	Hodgkin's disease		17	17	34
	9650	Hodgkin lymphoma	2	3	5
	9652	Hodgkin lymphoma, mixed cellularity	4	3	7
	9653	Hodgkin lymphoma, lymphocyte depletion	0	2	2
	9659	Hodgkin lymphoma, nodular lymphocyte predominance	2	2	4
	9663	Hodgkin lymphoma, nodular sclerosis	9	7	16

Site code	Pathology	Morphology description	Male	Female	Total
C82	Follicular (nodular) non-Hodgkin's lymphoma		9	14	23
	9690	Follicular lymphoma	1	1	2
	9691	Follicular lymphoma, grade 2	0	1	1
	9695	Follicular lymphoma, grade 1	3	8	11
	9698	Follicular lymphoma, grade 3	5	4	9
C83	Diffuse non-Hodgkin's lymphoma		83	72	155
	9670	Malignant lymphoma, small B lymphocytic	3	3	6
	9671	Malignant lymphoma, lymphoplasmacytic	1	1	2
	9673	Mantle cell lymphoma	4	4	8
	9680	Malignant lymphoma, large B-cell, diffuse	66	59	125
	9687	Burkitt lymphoma	3	1	4
	9735	Plasmablastic lymphoma	0	1	1
	9699	Marginal zone B-cell lymphoma	5	3	8
	9735	Plasmablastic lymphoma	1	0	1
C84	Peripheral and cutaneous T-cell lymphomas		8	10	18
	9700	Mycosis fungoides	3	5	8
	9702	Mature T-cell lymphoma	3	3	6
	9714	Anaplastic large cell lymphoma, T cell and Null cell type	1	1	2
	9719	T/NK-cell lymphoma	1	1	2
C85	Other and unspecified types of non-Hodgkin's lymphoma		6	8	14
	9590	Malignant lymphoma	1	1	2
	9591	Malignant lymphoma, non-Hodgkin	4	2	6
	9679	Thymic large B-cell lymphoma	1	5	6
C86	Other specified types of T/NK-cell lymphoma		7	10	17
	9705	Angioimmunoblastic T-cell lymphoma	2	2	4
	9708	Subcutaneous panniculitis-like T-cell lymphoma	1	2	3
	9717	Intestinal T-cell lymphoma	1	1	2
	9718	Primary cutaneous CD30+ T-cell lymphoproliferative disorder	1	1	2
	9719	NK/T-cell lymphoma, nasal and nasal-type	2	4	6
C88	Other B-cell lymphoma malignant immunoproliferative diseases		10	8	18
	9699	Extranodal marginal zone B-cell lymphoma of mucosa associated lymphoid tissue (MALT-lymphoma)	10	7	17
	9761	Waldenstrom macroglobulinemia	0	1	1
C96	Other and unspecified malignant neoplasm of lymphoid, haematopoietic and related tissue		0	3	3
	9751	Langerhans cell histiocytosis	0	3	3
C90	Multiple myeloma and malignant plasma cell neoplasms		38	30	68
	9731	Plasmacytoma	1	2	3
	9732	Multiple myeloma	34	27	61
	9733	Plasma cell leukemia	0	1	1
	9734	Plasmacytoma, extramedullary	3	0	3
C91-C95	Leukemia		86	75	161
C91	Lymphoid leukemia		33	39	72
	9823	B-cell chronic lymphocytic leukemia/small lymphocytic lymphoma	7	8	15
	9826	Burkitt cell leukemia	1	0	1
	9831	T-cell large granular lymphocytic leukemia	1	0	1
	9835	Precursor cell lymphoblastic leukemia	12	12	24
	9836	Precursor B-cell lymphoblastic leukemia	10	14	24
	9837	Precursor T-cell lymphoblastic leukemia	2	4	6
	9940	Hairy cell leukemia	0	1	1

Site code	Pathology	Morphology description	Male	Female	Total
C92	Myeloid leukemia		48	31	79
	9861	Acute myeloid leukemia	24	20	44
	9863	Chronic myeloid leukemia	10	7	17
	9866	Acute promyelocytic leukemia	5	1	6
	9867	Acute myelomonocytic leukemia	3	0	3
	9872	Acute myeloid leukemia, minimal differentiation	0	1	1
	9873	Acute myeloid leukemia without maturation	0	1	1
	9875	Chronic myelogenous leukemia, BCR/ABL positive	4	1	5
	9896	Acute myeloid leukemia, t(8;21)(q22;q22)	1	0	1
	9930	Myeloid sarcoma	1	0	1
C93	Monocytic leukemia		2	4	6
	9891	Acute monocytic leukemia	2	1	3
	9945	Chronic myelomonocytic leukemia	0	2	2
	9946	Juvenile myelomonocytic leukemia	0	1	1
C94	Other leukemias of specified cell type		1	1	2
	9931	Acute panmyelosis with myelofibrosis	1	1	2
C95	Leukemia of unspecified cell type		2	0	2
	9801	Acute leukemia	2	0	2
D45, D47	Myeloproliferative neoplasm (MPD)		17	17	34
D45	Polycythaemia vera		9	9	18
	9950	Polycythemia vera	9	9	18
D47	Other neoplasms of uncertain or unknown behaviour of lymphoid, haematopoietic and related tissue		8	8	16
	9960	Myeloproliferative disease	0	2	2
	9961	Primary myelofibrosis	4	1	5
	9962	Essential thrombocythemia	4	5	9
D46	Myelodysplastic Syndromes (MDS)		27	22	49
	9980	Refractory anemia	5	1	6
	9982	Refractory anemia with sideroblasts	2	0	2
	9983	Refractory anemia with excess blasts	2	2	4
	9986	Myelodysplastic syndrome with 5q deletion syndrome	2	4	6
	9989	Myelodysplastic syndromes	16	15	31
C80	Other & unspecified		25	19	44
	8001	Tumor cells, malignant	0	2	2
	8010	Carcinoma	6	0	6
	8012	Large cell carcinoma	1	0	1
	8013	Large cell neuroendocrine carcinoma	0	1	1
	8070	Squamous cell carcinoma	6	2	8
	8071	Squamous cell carcinoma, keratinizing	2	0	2
	8072	Squamous cell carcinoma, nonkeratinizing	1	0	1
	8082	Lymphoepithelial carcinoma	1	0	1
	8140	Adenocarcinoma	5	12	17
	8240	Neuroendocrine tumor, grade I	1	1	2
	8246	Neuroendocrine carcinoma	0	1	1
	8560	Adenosquamous carcinoma	2	0	2

ข้อมูลโรคมะเร็งที่พบบ่อยของโรงพยาบาลจุฬาลงกรณ์ ในปี พ.ศ. 2566

- ◆ มะเร็งลำไส้ใหญ่และทวารหนัก (colon & rectum cancer)
- ◆ มะเร็งตับและท่อน้ำดี (liver & bile duct cancer)
- ◆ มะเร็งปอด (lung cancer)
- ◆ มะเร็งเต้านม (breast cancer)
- ◆ มะเร็งปากมดลูก (cervix uteri cancer)
- ◆ มะเร็งมดลูก (corpus uteri cancer)
- ◆ มะเร็งรังไข่ (ovarian cancer)
- ◆ มะเร็งต่อมลูกหมาก (prostate cancer)
- ◆ มะเร็งต่อมน้ำเหลือง (lymphoma)
- ◆ มะเร็งเม็ดเลือดขาว (leukemia)

◆ Colon & Rectum cancer

ตารางที่ 12

แสดงจำนวนผู้ป่วยโรคมะเร็งลำไส้ใหญ่และทวารหนัก ในปี พ.ศ. 2563-2566

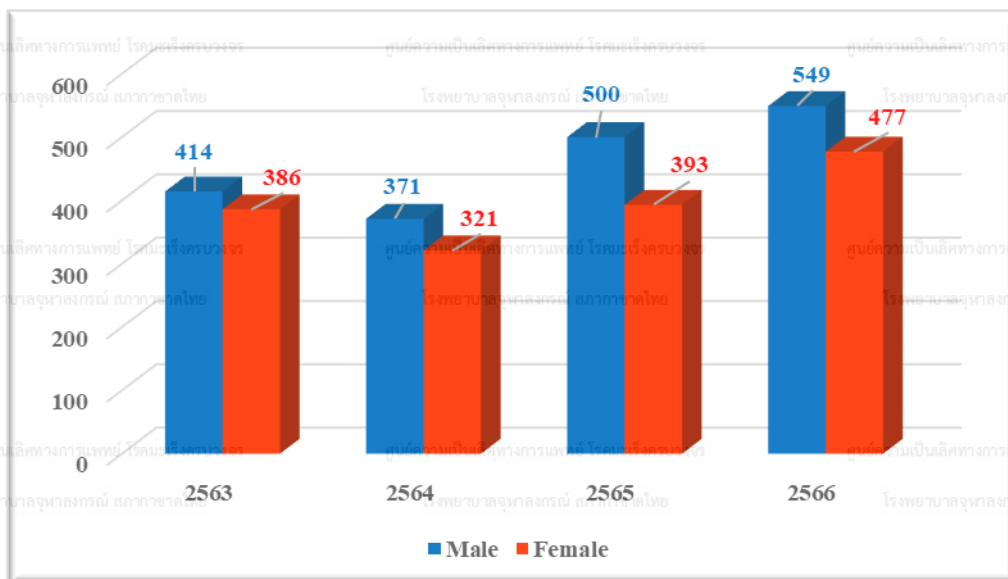
(Trend of colon & rectum cancer, 2020-2023)

Years	Number of patients		Total
	Male	Female	
2563	414	386	800
2564	371	321	692
2565	500	393	893
2566	549	477	1,026

แผนภูมิที่ 9

แสดงจำนวนผู้ป่วยโรคมะเร็งลำไส้ใหญ่และทวารหนัก ในปี พ.ศ. 2563-2566

(Trend of colon & rectum cancer, 2020-2023)



ตารางที่ 13

แสดงจำนวนผู้ป่วยโรคมะเร็งลำไส้ใหญ่และทวารหนัก จำแนกตามช่วงอายุ ในปี พ.ศ. 2566

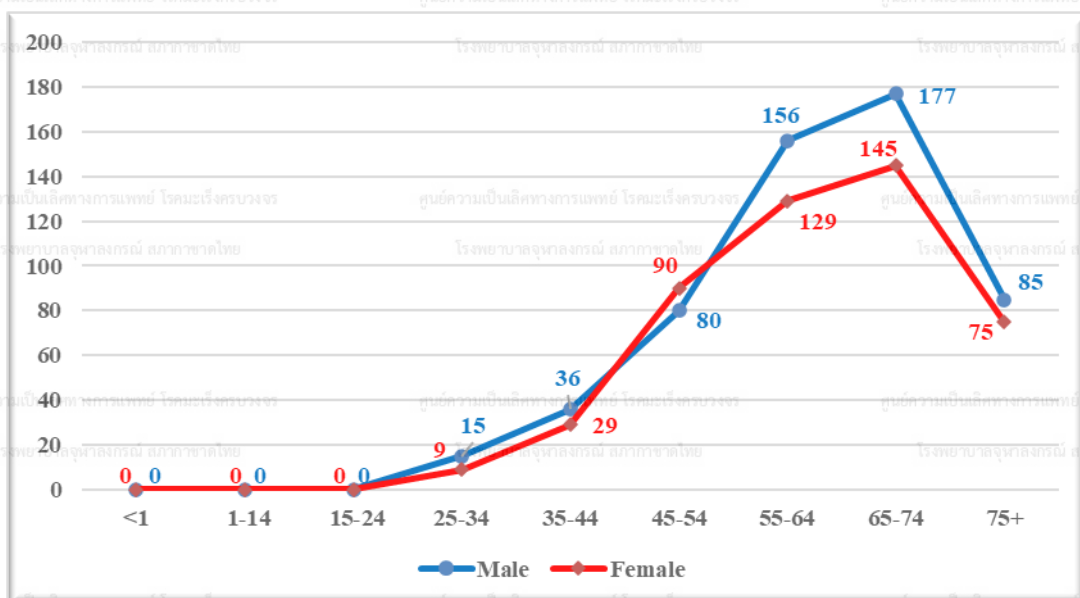
(Distribution of colon & rectum cancer by age-group, 2023)

Age group	Male		Female		Total	
	Number	%	Number	%	Number	%
<1	0	0.0	0	0.0	0	0.0
1-14	0	0.0	0	0.0	0	0.0
15-24	0	0.0	0	0.0	0	0.0
25-34	15	2.7	9	1.9	24	2.3
35-44	36	6.6	29	6.1	65	6.3
45-54	80	14.6	90	18.9	170	16.6
55-64	156	28.4	129	27.0	285	27.8
65-74	177	32.2	145	30.4	322	31.4
75+	85	15.5	75	15.7	160	15.6
Total	549	100.0	477	100.0	1,026	100.0

แผนภูมิที่ 10

แสดงจำนวนผู้ป่วยโรคมะเร็งลำไส้ใหญ่และทวารหนัก จำแนกตามช่วงอายุ ในปี พ.ศ. 2566

(Distribution of colon & rectum cancer by age-group, 2023)



ตารางที่ 14

แสดงจำนวนผู้ป่วยโรคมะเร็งลำไส้ใหญ่และทวารหนัก จำแนกตามวิธีวินิจฉัย ในปี พ.ศ. 2566

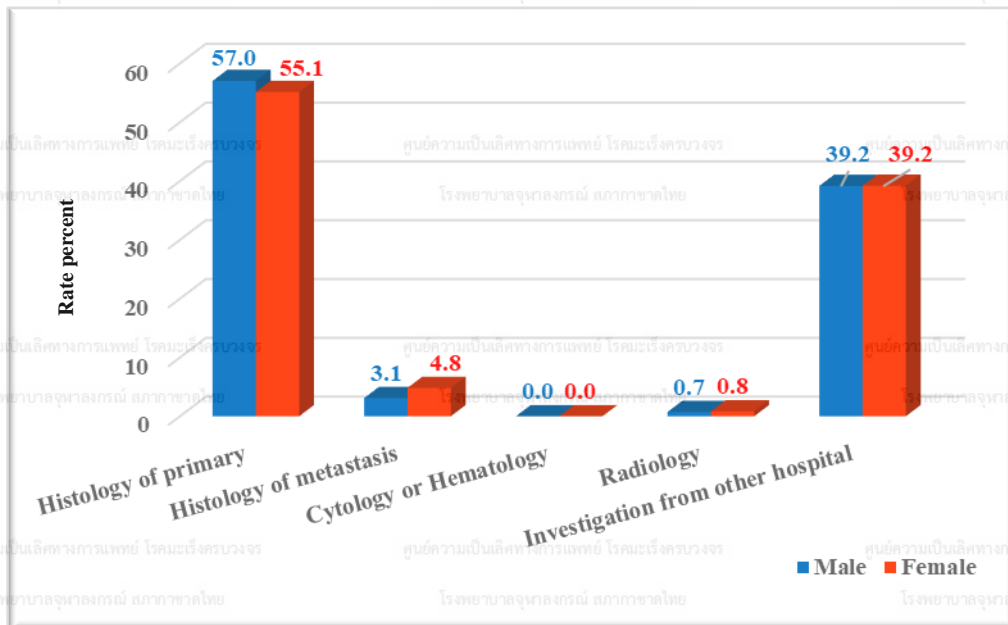
(Number of colon & rectum cancer patients by diagnostic method, 2023)

Method of diagnosis	Male		Female		Total	
	Number	%	Number	%	Number	%
Histology of primary	313	57.0	263	55.1	576	56.1
Histology of metastasis	17	3.1	23	4.8	40	3.9
Cytology or Hematology	0	0.0	0	0.0	0	0.0
Radiology	4	0.7	4	0.8	8	0.8
Investigation from other hospital	215	39.2	187	39.2	402	39.2
Total	549	100.0	477	100.0	1,026	100.0

แผนภูมิที่ 11

แสดงร้อยละของผู้ป่วยโรคมะเร็งลำไส้ใหญ่และทวารหนัก จำแนกตามวิธีวินิจฉัย ในปี พ.ศ. 2566

(Percentage of colon & rectum cancer patients by diagnostic method, 2023)



ตารางที่ 15

แสดงวิธีการรักษาผู้ป่วยโรคมะเร็งลำไส้ใหญ่และทวารหนัก แยกตามเพศ ในปี พ.ศ. 2566

(Method of treatment for colon & rectum cancer patients by gender, 2023)

วิธีการรักษา (ผู้ป่วย 1 ราย มีการรักษาได้มากกว่า 1 วิธี)	ผู้ป่วยชาย (n = 549)		ผู้ป่วยหญิง (n = 477)	
	จำนวน	ร้อยละ	จำนวน	ร้อยละ
Surgery	247	45.0	196	41.1
Radiation	123	22.4	119	24.9
Chemotherapy	271	49.4	244	51.2
Targeted therapy	64	11.7	63	13.2
Interventional	38	6.9	23	4.8
Immunotherapy	2	0.4	1	0.2
Supportive Only	86	15.7	68	14.3
*No treatment data	46	8.4	57	11.9

*No treatment data: 1. ผู้ป่วยปฏิเสธการรักษา

2. ผู้ป่วยไปรักษาโรงพยาบาลอื่น

◆ Liver & Bile duct cancer

ตารางที่ 16

แสดงจำนวนผู้ป่วยโรคมะเร็งตับและท่อน้ำดี ในปี พ.ศ. 2563-2566

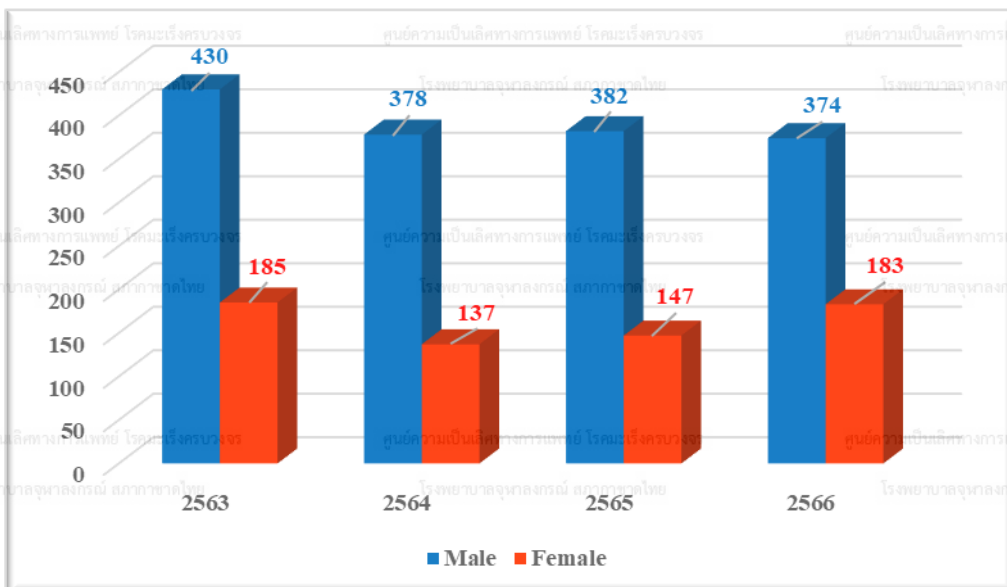
(Trend of liver & bile duct cancer, 2020-2023)

Years	Number of patients		Total
	Male	Female	
2563	430	185	615
2564	378	137	515
2565	382	147	529
2566	374	183	557

แผนภูมิที่ 12

แสดงจำนวนผู้ป่วยโรคมะเร็งตับและท่อน้ำดี ในปี พ.ศ. 2563-2566

(Trend of liver & bile duct cancer, 2020-2023)



ตารางที่ 17

แสดงจำนวนผู้ป่วยโรคมะเร็งตับและท่อน้ำดี จำแนกตามช่วงอายุ ในปี พ.ศ. 2566

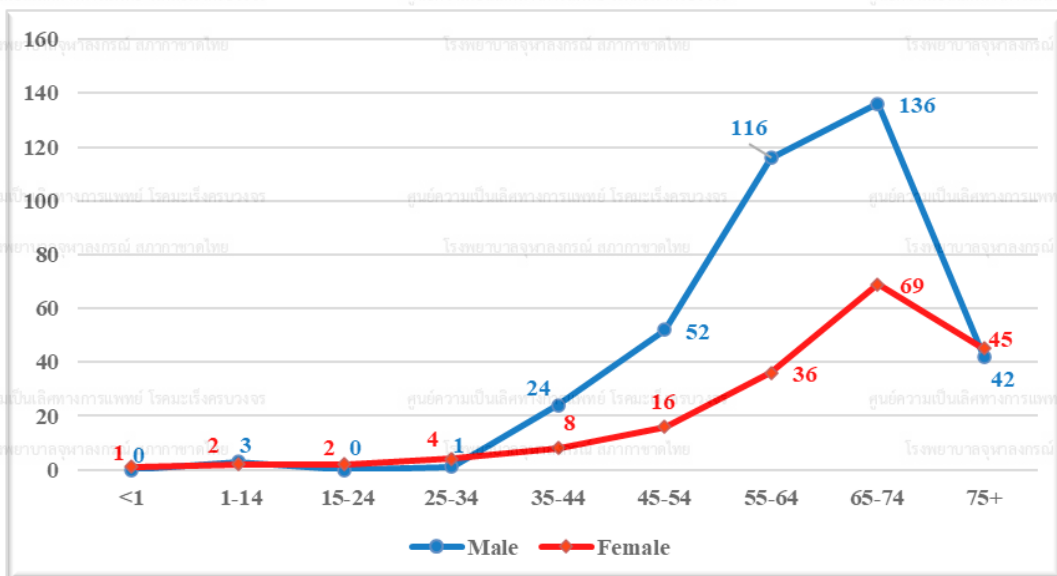
(Distribution of liver & bile duct cancer by age-group, 2023)

Age group	Male		Female		Total	
	Number	%	Number	%	Number	%
<1	0	0.0	1	0.5	1	0.2
1-14	3	0.8	2	1.1	5	0.9
15-24	0	0.0	2	1.1	2	0.4
25-34	1	0.3	4	2.2	5	0.9
35-44	24	6.4	8	4.4	32	5.7
45-54	52	13.9	16	8.7	68	12.2
55-64	116	31.0	36	19.7	152	27.3
65-74	136	36.4	69	37.7	205	36.8
75+	42	11.2	45	24.6	87	15.6
Total	374	100.0	183	100.0	557	100.0

แผนภูมิที่ 13

แสดงจำนวนผู้ป่วยโรคมะเร็งตับและท่อน้ำดี จำแนกตามช่วงอายุ ในปี พ.ศ. 2566

(Distribution of liver & bile duct cancer by age-group, 2023)



ตารางที่ 18

แสดงจำนวนผู้ป่วยโรคมะเร็งตับและท่อน้ำดี จำแนกตามวิธีวินิจฉัย ในปี พ.ศ. 2566

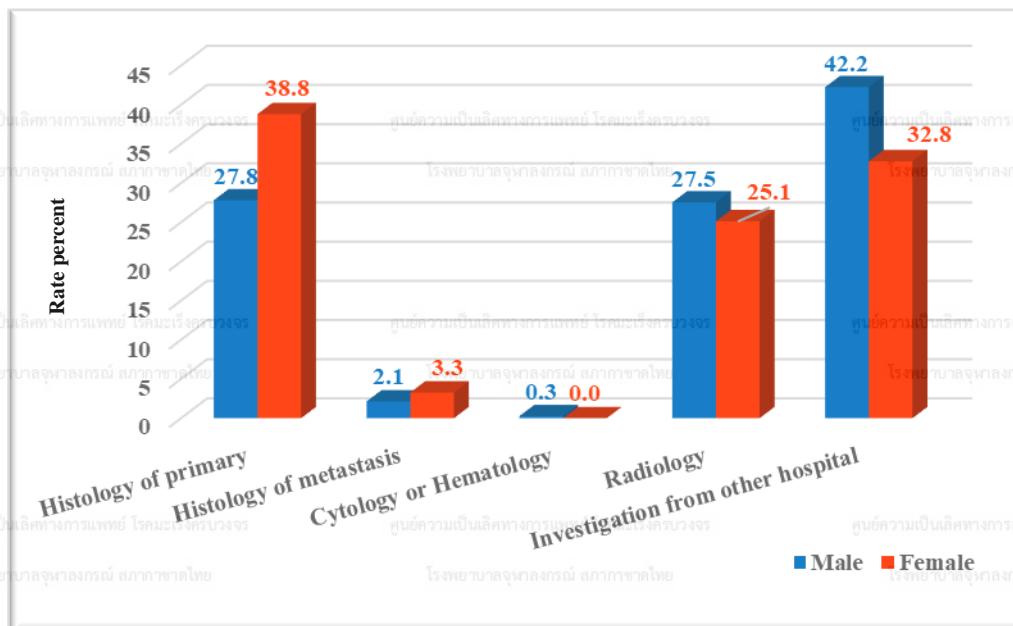
(Number of liver & bile duct cancer patients by diagnostic method, 2023)

Method of diagnosis	Male		Female		Total	
	Number	%	Number	%	Number	%
Histology of primary	104	27.8	71	38.8	175	31.4
Histology of metastasis	8	2.1	6	3.3	14	2.5
Cytology or Hematology	1	0.3	0	0.0	1	0.2
Radiology	103	27.5	46	25.1	149	26.8
Investigation from other hospital	158	42.2	60	32.8	218	39.1
Total	374	100.0	183	100.0	557	100.0

แผนภูมิที่ 14

แสดงร้อยละของผู้ป่วยโรคมะเร็งตับและท่อน้ำดี จำแนกตามวิธีวินิจฉัย ในปี พ.ศ. 2566

(Percentage of liver & bile duct cancer patients by diagnostic method, 2023)



ตารางที่ 19

แสดงวิธีการรักษาผู้ป่วยโรคมะเร็งตับและท่อน้ำดีแยกตามเพศ ในปี พ.ศ. 2566
(Method of treatment for liver & bile duct cancer patients by gender, 2023)

วิธีการรักษา (ผู้ป่วย 1 ราย มีการรักษาได้มากกว่า 1 วิธี)	ผู้ป่วยชาย (n = 374)		ผู้ป่วยหญิง (n = 183)	
	จำนวน	ร้อยละ	จำนวน	ร้อยละ
Surgery	49	13.1	34	18.6
Radiation	61	16.3	26	14.2
Chemotherapy	56	15.0	45	24.6
Targeted therapy	61	16.3	21	11.5
Interventional	87	23.3	46	25.1
TACE	126	33.7	55	30.1
Immunotherapy	34	9.1	14	7.7
Supportive Only	73	19.5	29	15.8
*No treatment data	25	6.7	12	6.6

*No treatment data: 1. ผู้ป่วยปฏิเสธการรักษา
 2. ผู้ป่วยไปรักษาโรงพยาบาลอื่น

◆ Lung cancer

ตารางที่ 20

แสดงจำนวนผู้ป่วยโรคมะเร็งปอด ในปี พ.ศ. 2563-2566

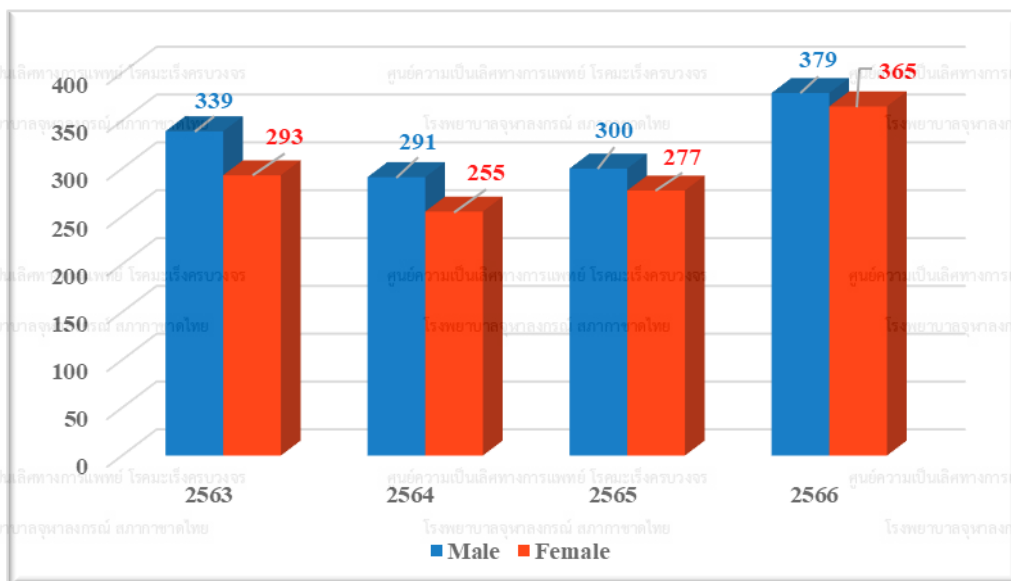
(Trend of lung cancer, 2020-2023)

Years	Number of patients		Total
	Male	Female	
2563	339	293	632
2564	291	255	546
2565	300	277	577
2566	379	365	744

แผนภูมิที่ 15

แสดงจำนวนผู้ป่วยโรคมะเร็งปอด ในปี พ.ศ. 2563-2566

(Trend of Lung Cancer, 2020-2023)



ตารางที่ 21

แสดงจำนวนผู้ป่วยโรคมะเร็งปอด จำแนกตามช่วงอายุ ในปี พ.ศ. 2566

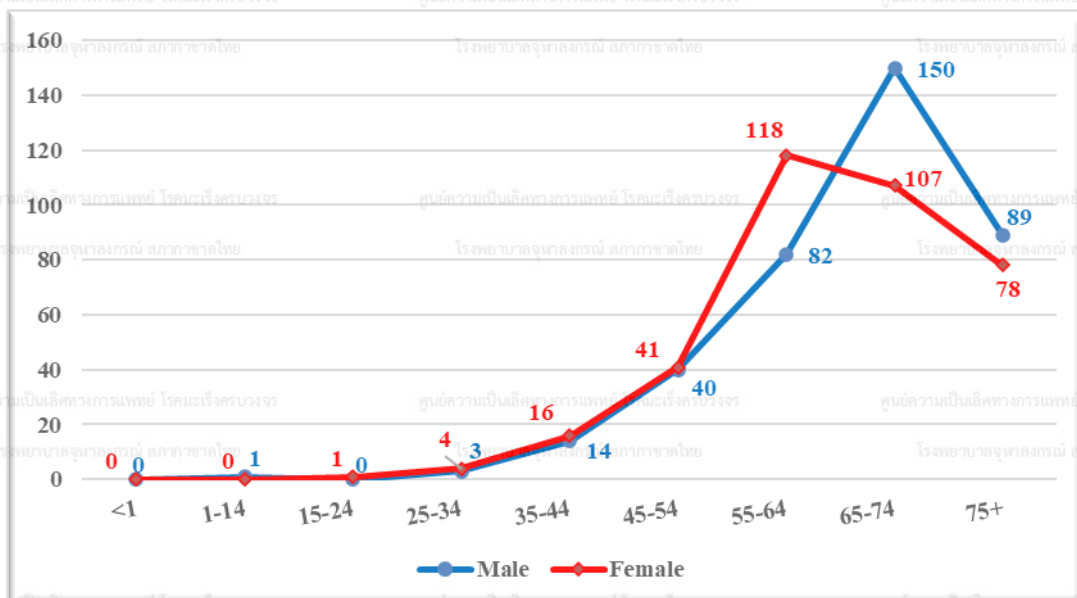
(Distribution of lung cancer by age-group, 2023)

Age group	Male		Female		Total	
	Number	%	Number	%	Number	%
<1	0	0.0	0	0.0	0	0.0
1-14	1	0.3	0	0.0	1	0.1
15-24	0	0.0	1	0.3	1	0.1
25-34	3	0.8	4	1.1	7	0.9
35-44	14	3.7	16	4.4	30	4.0
45-54	40	10.6	41	11.2	81	10.9
55-64	82	21.6	118	32.3	200	26.9
65-74	150	39.6	107	29.3	257	34.5
75+	89	23.5	78	21.4	167	22.4
Total	379	100.0	365	100.0	744	100.0

แผนภูมิที่ 16

แสดงจำนวนผู้ป่วยโรคมะเร็งปอด จำแนกตามช่วงอายุ ในปี พ.ศ. 2566

(Distribution of lung cancer by age-group, 2023)



ตารางที่ 22

แสดงจำนวนผู้ป่วยโรคมะเร็งปอด จำแนกตามวิธีวินิจฉัย ในปี พ.ศ. 2566

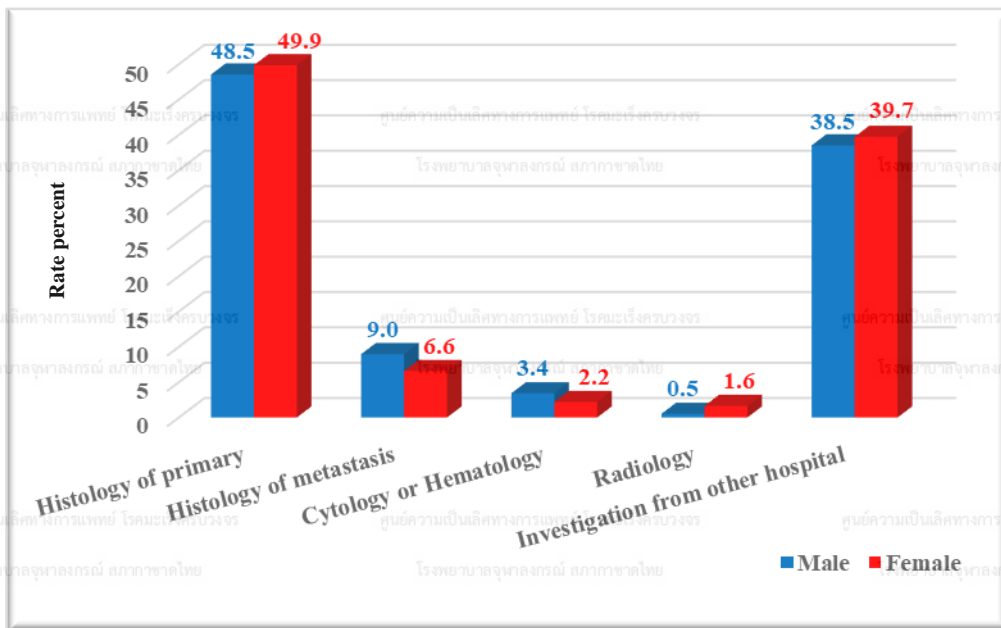
(Number of lung cancer patients by diagnostic method, 2023)

Method of diagnosis	Male		Female		Total	
	Number	%	Number	%	Number	%
Histology of primary	184	48.5	182	49.9	366	49.2
Histology of metastasis	34	9.0	24	6.6	58	7.8
Cytology or Hematology	13	3.4	8	2.2	21	2.8
Radiology	2	0.5	6	1.6	8	1.1
Investigation from other hospital	146	38.5	145	39.7	291	39.1
Total	379	100.0	365	100.0	744	100.0

แผนภูมิที่ 17

แสดงร้อยละของผู้ป่วยโรคมะเร็งปอด จำแนกตามวิธีวินิจฉัย ในปี พ.ศ. 2566

(Percentage of lung cancer patients by diagnostic method, 2023)



ตารางที่ 23

แสดงวิธีการรักษาผู้ป่วยโรคมะเร็งปอด แยกตามเพศ ในปี พ.ศ. 2566 (Method of treatment for lung cancer patients by gender, 2023)

วิธีการรักษา (ผู้ป่วย 1 ราย มีการรักษาได้มากกว่า 1 วิธี)	ผู้ป่วยชาย (n = 379)		ผู้ป่วยหญิง (n = 365)	
	จำนวน	ร้อยละ	จำนวน	ร้อยละ
Surgery	57	15.0	84	23.0
Radiation	173	45.6	147	40.3
Chemotherapy	130	34.3	113	31.0
Targeted therapy	71	18.7	135	37.0
Interventional	10	2.6	4	1.1
Immunotherapy	43	11.3	23	6.3
Supportive Only	63	16.6	40	11.0
*No treatment data	24	6.3	25	6.8

*No treatment data: 1. ผู้ป่วยปฏิเสธการรักษา
2. ผู้ป่วยไปรักษาโรงพยาบาลอื่น

◆ Breast cancer

ตารางที่ 24

แสดงจำนวนผู้ป่วยโรคมะเร็งเต้านม ในปี พ.ศ. 2563-2566

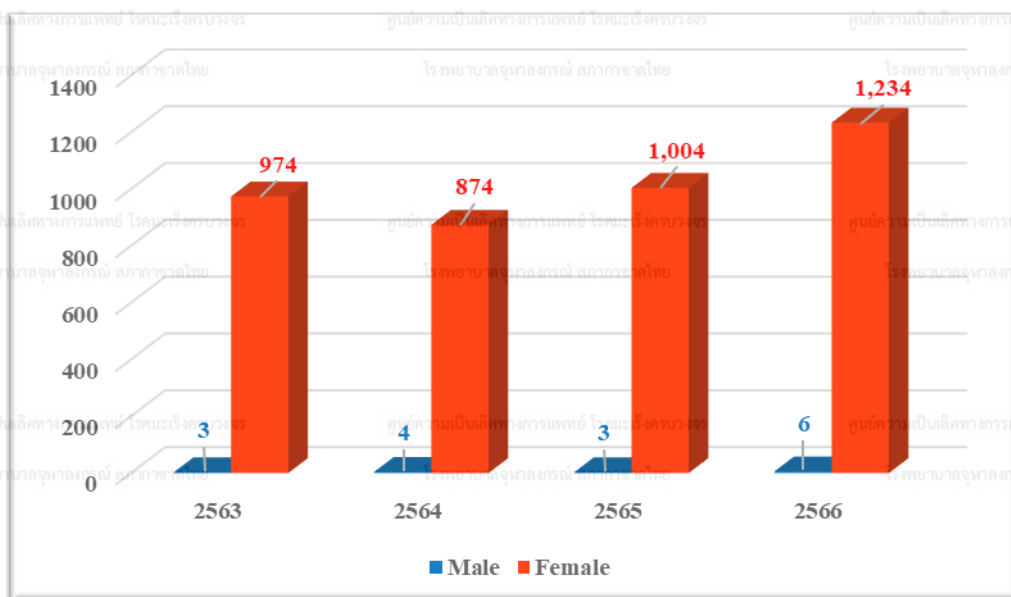
(Trend of breast cancer, 2020-2023)

Years	Number of patients		Total
	Male	Female	
2563	3	974	977
2564	4	874	878
2565	3	1,004	1,007
2566	6	1,234	1,240

แผนภูมิที่ 18

แสดงจำนวนผู้ป่วยโรคมะเร็งเต้านม ในปี พ.ศ. 2563-2566

(Trend of breast cancer, 2020-2023)



ตารางที่ 25

แสดงจำนวนผู้ป่วยโรคมะเร็งเต้านม จำแนกตามช่วงอายุ ในปี พ.ศ. 2566

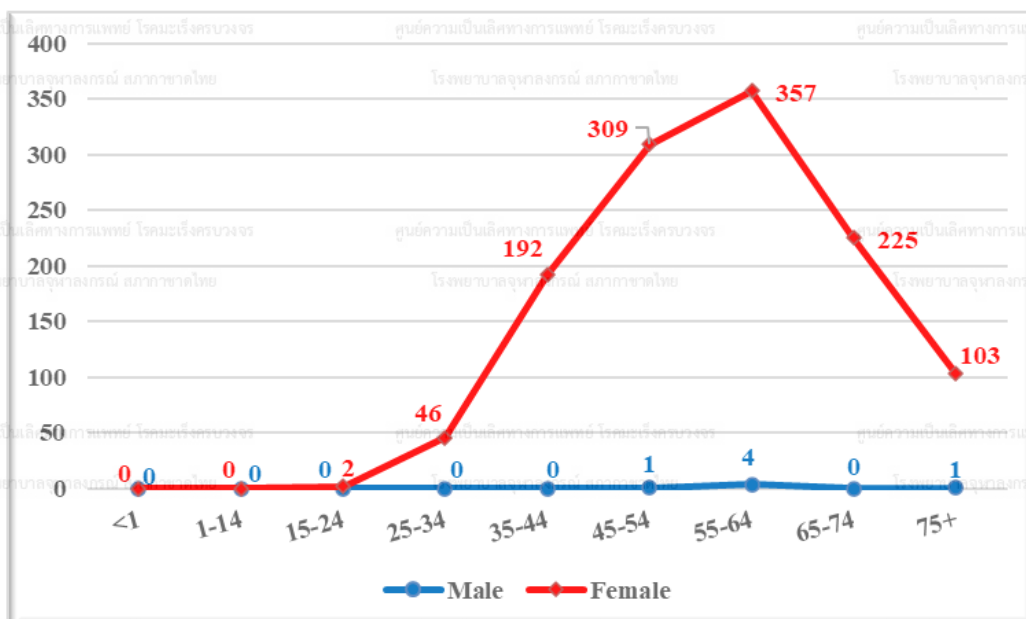
(Distribution of breast cancer by age-group, 2023)

Age group	Male		Female		Total	
	Number	%	Number	%	Number	%
<1	0	0.0	0	0.0	0	0.0
1-14	0	0.0	0	0.0	0	0.0
15-24	0	0.0	2	0.2	2	0.2
25-34	0	0.0	46	3.7	46	3.7
35-44	0	0.0	192	15.6	192	15.5
45-54	1	16.7	309	25.0	310	25.0
55-64	4	66.7	357	28.9	361	29.1
65-74	0	0.0	225	18.2	225	18.1
75+	1	16.7	103	8.3	104	8.4
Total	6	100.0	1,234	100.0	1,240	100.0

แผนภูมิที่ 19

แสดงจำนวนผู้ป่วยโรคมะเร็งเต้านม จำแนกตามช่วงอายุ ในปี พ.ศ. 2566

(Distribution of breast cancer by age-group, 2023)



ตารางที่ 26

แสดงจำนวนผู้ป่วยโรคมะเร็งเต้านม จำแนกตามวิธีวินิจฉัย ในปี พ.ศ. 2566

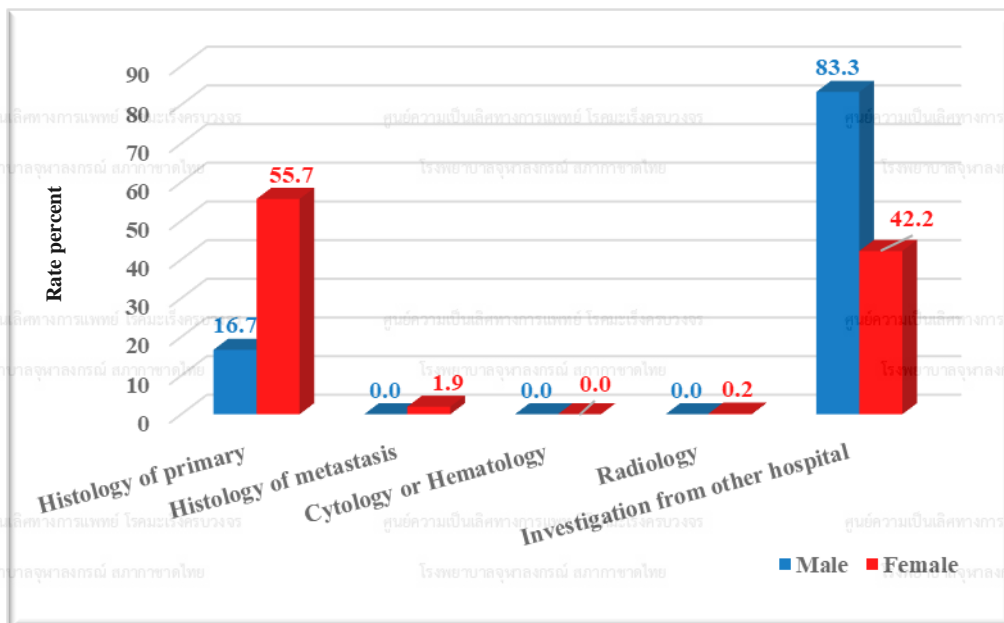
(Number of breast cancer patients by diagnostic method, 2023)

Method of diagnosis	Male		Female		Total	
	Number	%	Number	%	Number	%
Histology of primary	1	16.7	687	55.7	688	55.5
Histology of metastasis	0	0.0	24	1.9	24	1.9
Cytology or Hematology	0	0.0	0	0.0	0	0.0
Radiology	0	0.0	2	0.2	2	0.2
Investigation from other hospital	5	83.3	521	42.2	526	42.4
Total	6	100.0	1,234	100.0	1,240	100.0

แผนภูมิที่ 20

แสดงร้อยละของผู้ป่วยโรคมะเร็งเต้านม จำแนกตามวิธีวินิจฉัย ในปี พ.ศ. 2566

(Percentage of breast cancer patients by diagnostic method, 2023)



ตารางที่ 27

แสดงจำนวนวิธีการรักษาผู้ป่วยโรคมะเร็งเต้านม แยกตามเพศ ในปี พ.ศ. 2566

(Method of treatment for breast cancer patients by gender, 2023)

วิธีการรักษา (ผู้ป่วย 1 ราย มีการรักษาได้มากกว่า 1 วิธี)	ผู้ป่วยชาย (n = 6)		ผู้ป่วยหญิง (n = 1,234)	
	จำนวน	ร้อยละ	จำนวน	ร้อยละ
Surgery	0	0.0	521	42.2
Radiation	1	16.7	773	62.6
Chemotherapy	0	0.0	533	43.2
Targeted therapy	0	0.0	223	18.1
Hormonal therapy	1	16.7	592	48.0
Interventional	0	0.0	2	0.2
Immunotherapy	0	0.0	18	1.5
Supportive Only	2	33.3	71	5.8
*No treatment data	2	33.3	81	6.6

*No treatment data: 1. ผู้ป่วยปฏิเสธการรักษา

ศูนย์ความเป็นเลิศทางการแพทย์ โรคมะเร็งครบวงจร

2. ผู้ป่วยไปรักษาโรงพยาบาลอื่น

◆ Cervix uteri cancer

ตารางที่ 28

แสดงจำนวนผู้ป่วยโรคมะเร็งปากมดลูก ในปี พ.ศ. 2563-2566

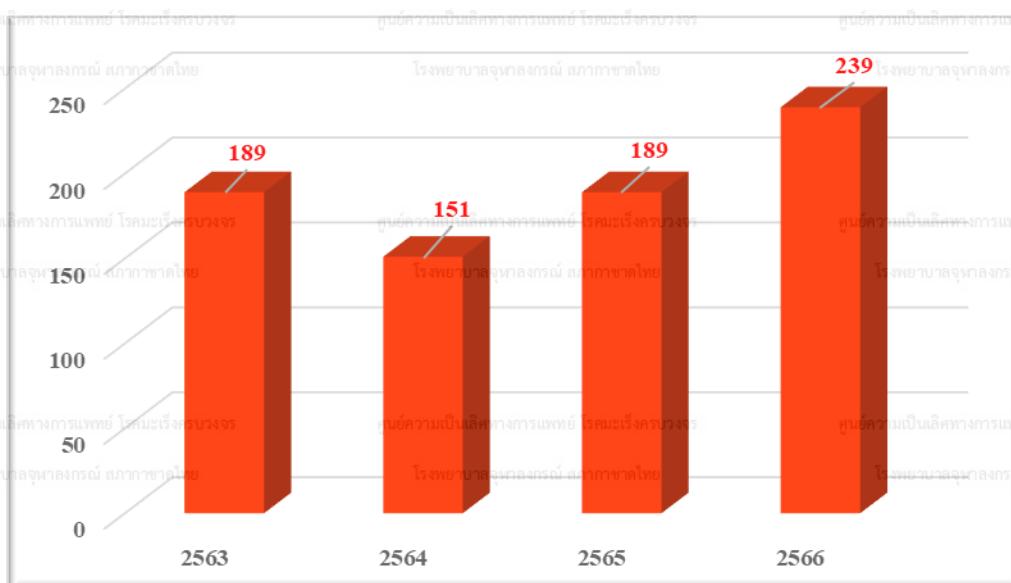
(Trend of cervix uteri cancer, 2020-2023)

Years	Number of patients Female	Total
2563	189	189
2564	151	151
2565	189	189
2566	239	239

แผนภูมิที่ 21

แสดงจำนวนผู้ป่วยโรคมะเร็งปากมดลูก ในปี พ.ศ. 2563-2566

(Trend of cervix uteri cancer, 2020-2023)



ตารางที่ 29

แสดงจำนวนผู้ป่วยโรคมะเร็งปากมดลูก จำแนกตามช่วงอายุ ในปี พ.ศ. 2566

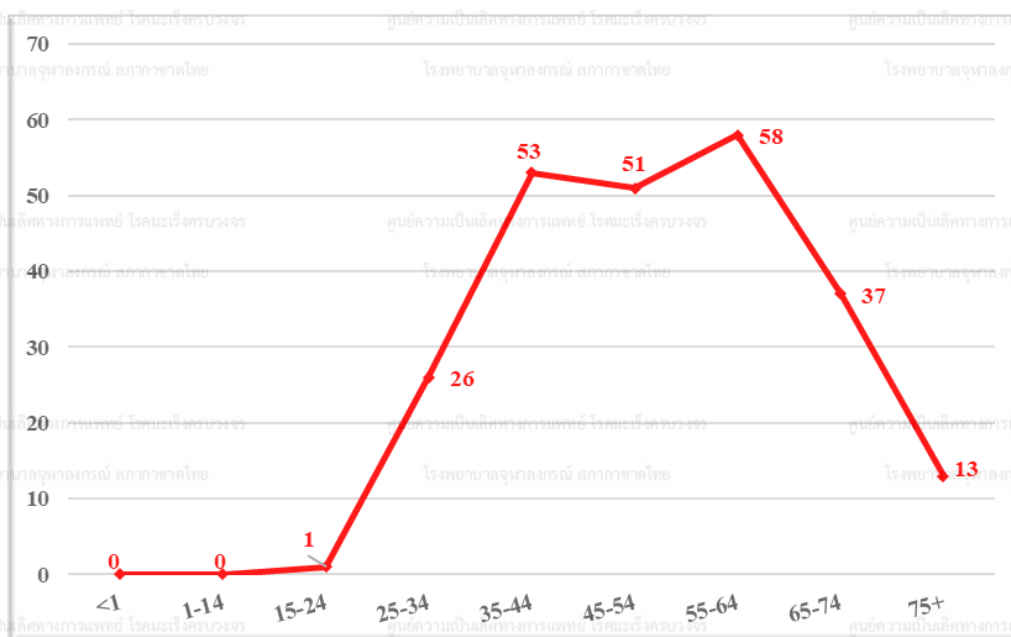
(Distribution of cervix uteri cancer by age-group, 2023)

Age group	Female	
	Number	%
<1	0	0.0
1-14	0	0.0
15-24	1	0.4
25-34	26	10.9
35-44	53	22.2
45-54	51	21.3
55-64	58	24.3
65-74	37	15.5
75+	13	5.4
Total	239	100.0

แผนภูมิที่ 22

แสดงจำนวนผู้ป่วยโรคมะเร็งปากมดลูก จำแนกตามช่วงอายุ ในปี พ.ศ. 2566

(Distribution of cervix uteri cancer by age-group, 2023)



ตารางที่ 30

แสดงจำนวนผู้ป่วยโรคมะเร็งปากมดลูก จำแนกตามวิธีวินิจฉัย ในปี พ.ศ. 2566

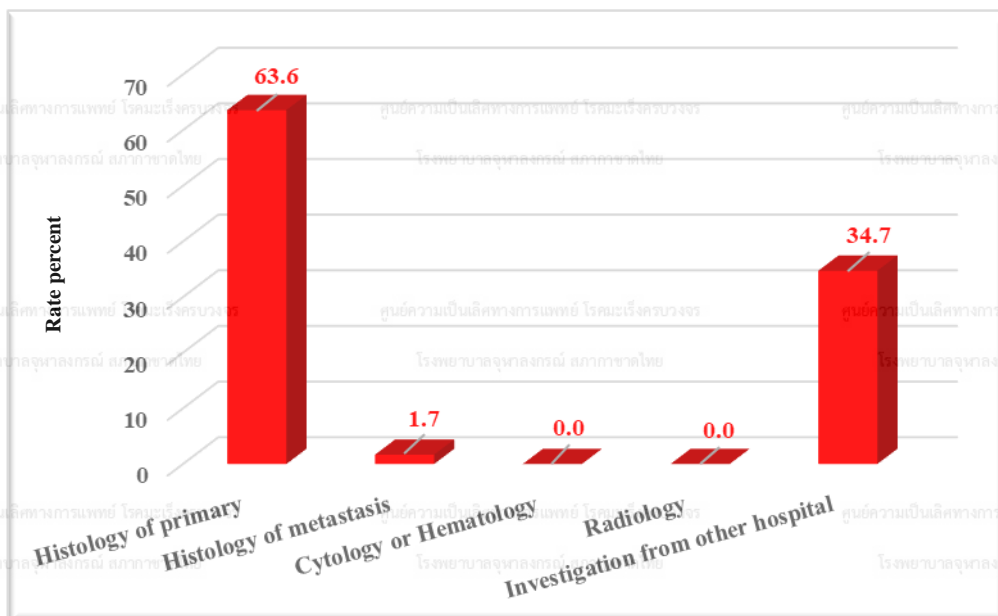
(Number of cervix uteri cancer patients by diagnostic method, 2023)

Method of diagnosis	Female	
	Number	%
Histology of primary	152	63.6
Histology of metastasis	4	1.7
Cytology or Hematology	0	0.0
Radiology	0	0.0
Investigation from other hospital	83	34.7
Total	239	100.0

แผนภูมิที่ 23

แสดงร้อยละของผู้ป่วยโรคมะเร็งปากมดลูก จำแนกตามวิธีวินิจฉัย ในปี พ.ศ. 2566

(Percentage of cervix uteri cancer patients by diagnostic method, 2023)



ตารางที่ 31

แสดงจำนวนวิธีการรักษาผู้ป่วยโรคมะเร็งปากมดลูก ในปี พ.ศ. 2566

(Method of treatment for cervix uteri cancer patients, 2023)

วิธีการรักษา (ผู้ป่วย 1 ราย มีการรักษาได้มากกว่า 1 วิธี)	ผู้ป่วยหญิง (n = 239)	
	จำนวน	ร้อยละ
Surgery	23	9.6
Radiation	171	71.5
Chemotherapy	138	57.7
Targeted therapy	6	2.5
Interventional	5	2.1
Immunotherapy	5	2.1
Supportive Only	28	11.7
*No treatment data	12	5.0

*No treatment data: 1. ผู้ป่วยปฏิเสธการรักษา

2. ผู้ป่วยไปรักษาโรงพยาบาลอื่น

◆ Corpus uteri cancer

ตารางที่ 32

แสดงจำนวนผู้ป่วยโรคมะเร็งมดลูก ในปี พ.ศ. 2563-2566

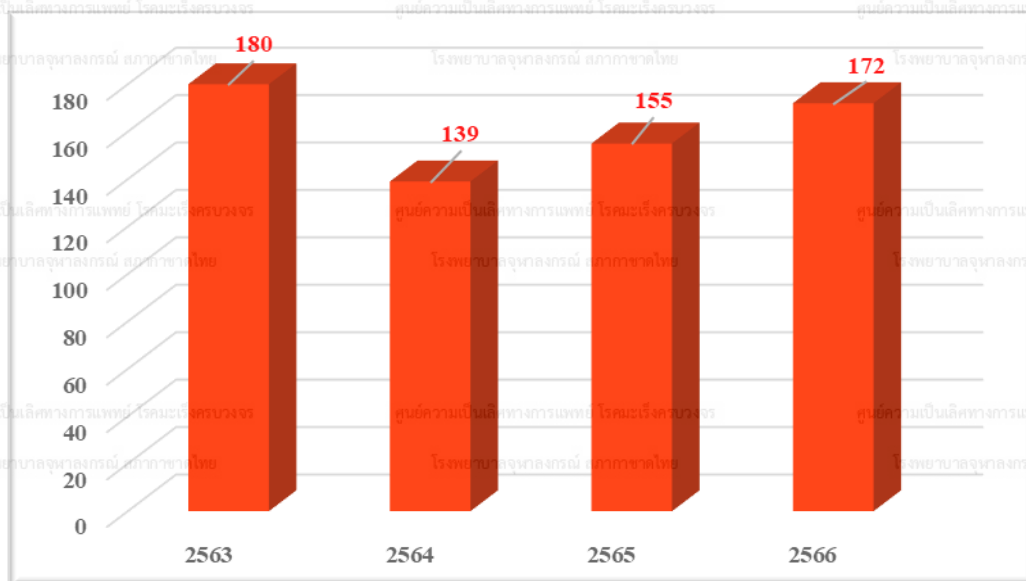
(Trend of corpus uteri cancer, 2020-2023)

Years	Number of patients Female	Total
2563	180	180
2564	139	139
2565	155	155
2566	172	172

แผนภูมิที่ 24

แสดงจำนวนผู้ป่วยโรคมะเร็งมดลูก ในปี พ.ศ. 2563-2566

(Trend of corpus uteri cancer, 2020-2023)



ตารางที่ 33

แสดงจำนวนผู้ป่วยโรคมะเร็งมดลูก จำแนกตามช่วงอายุ ในปี พ.ศ. 2566

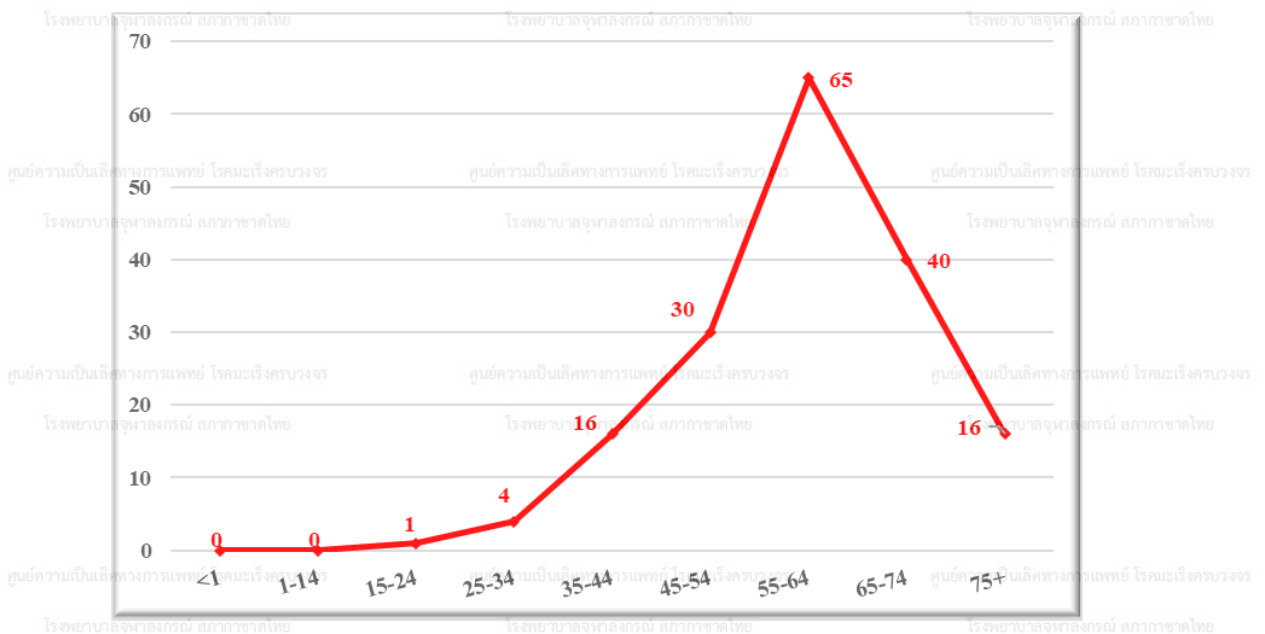
(Distribution of corpus uteri cancer by age-group, 2023)

Age group	Female	
	Number	%
<1	0	0.0
1-14	0	0.0
15-24	1	0.6
25-34	4	2.3
35-44	16	9.3
45-54	30	17.4
55-64	65	37.8
65-74	40	23.3
75+	16	9.3
Total	172	100.0

แผนภูมิที่ 25

แสดงจำนวนผู้ป่วยโรคมะเร็งมดลูก จำแนกตามช่วงอายุ ในปี พ.ศ. 2566

(Distribution of corpus uteri cancer by age-group, 2023)



ตารางที่ 34

แสดงจำนวนผู้ป่วยโรคมะเร็งมดลูก จำแนกตามวิธีวินิจฉัย ในปี พ.ศ. 2566

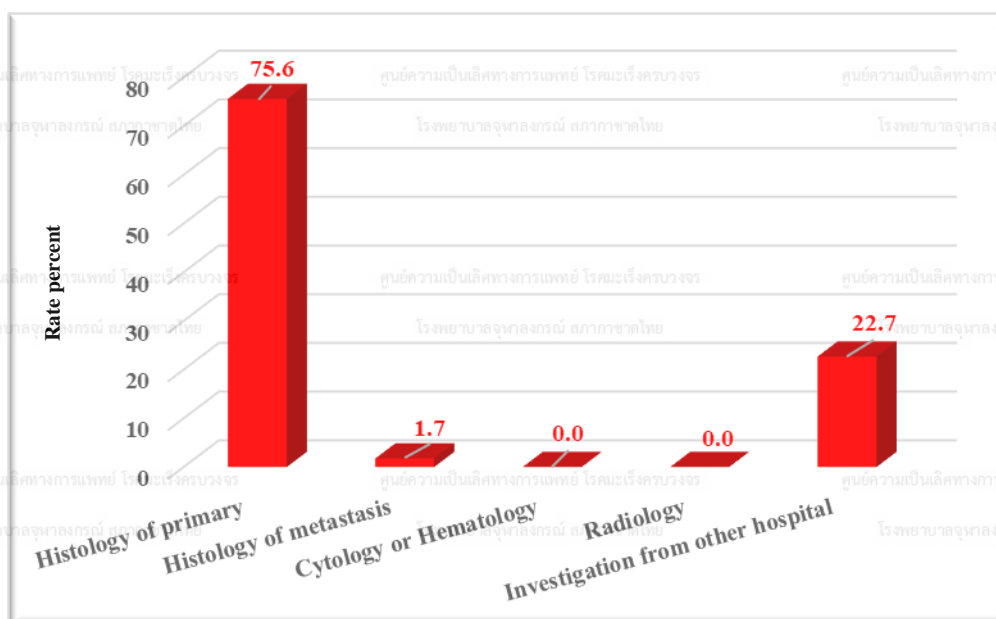
(Number of corpus uteri cancer patients by diagnostic method, 2023)

Method of diagnosis	Female	
	Number	%
Histology of primary	130	75.6
Histology of metastasis	3	1.7
Cytology or Hematology	0	0.0
Radiology	0	0.0
Investigation from other hospital	39	22.7
Total	172	100.0

แผนภูมิที่ 26

แสดงร้อยละของผู้ป่วยโรคมะเร็งมดลูก จำแนกตามวิธีวินิจฉัย ในปี พ.ศ. 2566

(Percentage of corpus uteri cancer patients by diagnostic method, 2023)



ตารางที่ 35

แสดงจำนวนวิธีการรักษาผู้ป่วยโรคมะเร็งมดลูก ในปี พ.ศ. 2566
(Method of treatment for corpus uteri cancer patients, 2023)

วิธีการรักษา (ผู้ป่วย 1 ราย มีการรักษาได้มากกว่า 1 วิธี)	ผู้ป่วยหญิง (n = 172)	
	จำนวน	ร้อยละ
Surgery	92	53.5
Radiation	85	49.4
Chemotherapy	67	39.0
Targeted therapy	5	2.9
Hormonal therapy	10	5.8
Interventional	2	1.2
Immunotherapy	3	1.7
Supportive Only	18	10.5
*No treatment data	14	8.1

*No treatment data: 1. ผู้ป่วยปฏิเสธการรักษา

2. ผู้ป่วยไปรักษาโรงพยาบาลอื่น

◆ Ovarian cancer

ตารางที่ 36

แสดงจำนวนผู้ป่วยโรคมะเร็งรังไข่ ในปี พ.ศ. 2563-2566

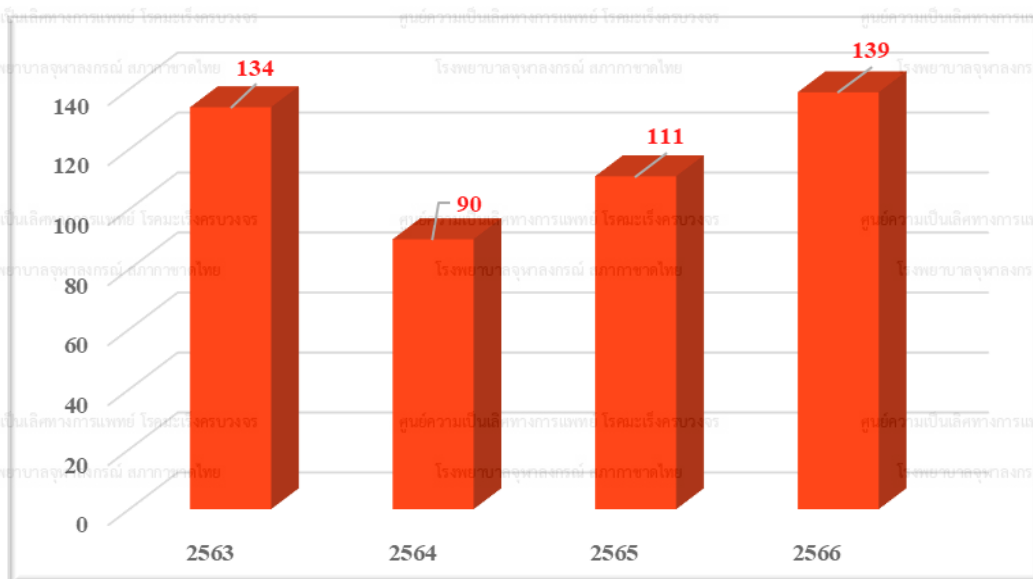
(Trend of ovarian cancer, 2020-2023)

Years	Number of patients	
	Female	Total
2563	134	134
2564	90	90
2565	111	111
2566	139	139

แผนภูมิที่ 27

แสดงจำนวนผู้ป่วยโรคมะเร็งรังไข่ ในปี พ.ศ. 2563-2566

(Trend of ovarian cancer, 2020-2023)



ตารางที่ 37

แสดงจำนวนผู้ป่วยโรคมะเร็งรังไข่ จำแนกตามช่วงอายุ ในปี พ.ศ. 2566

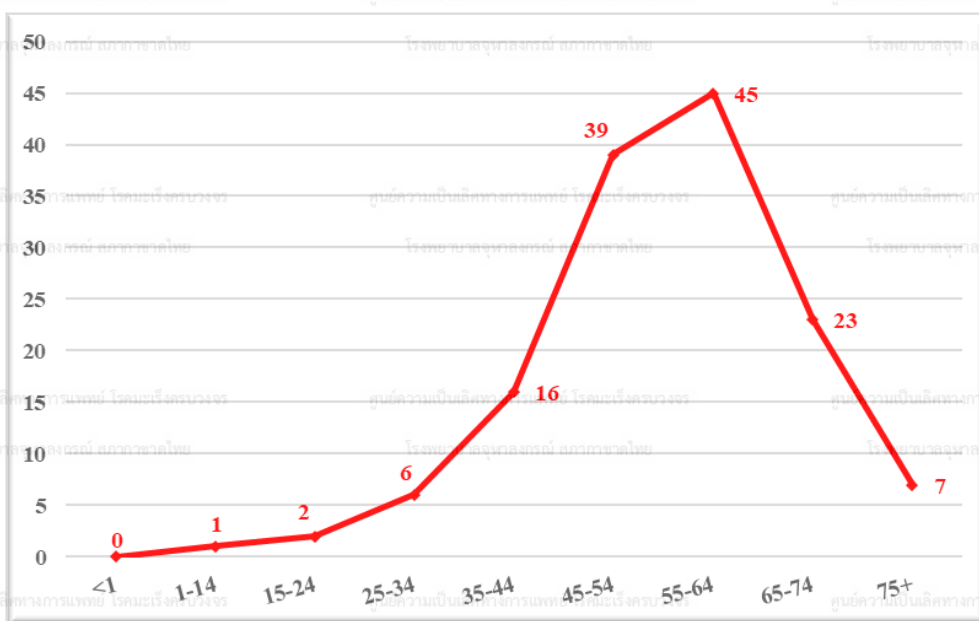
(Distribution of ovarian cancer by age-group, 2023)

Age group	Female	
	Number	%
<1	0	0.0
1-14	1	0.7
15-24	2	1.4
25-34	6	4.3
35-44	16	11.5
45-54	39	28.1
55-64	45	32.4
65-74	23	16.5
75+	7	5.0
Total	139	100.0

แผนภูมิที่ 28

แสดงจำนวนผู้ป่วยโรคมะเร็งรังไข่ จำแนกตามช่วงอายุ ในปี พ.ศ. 2566

(Distribution of ovarian cancer by age-group, 2023)



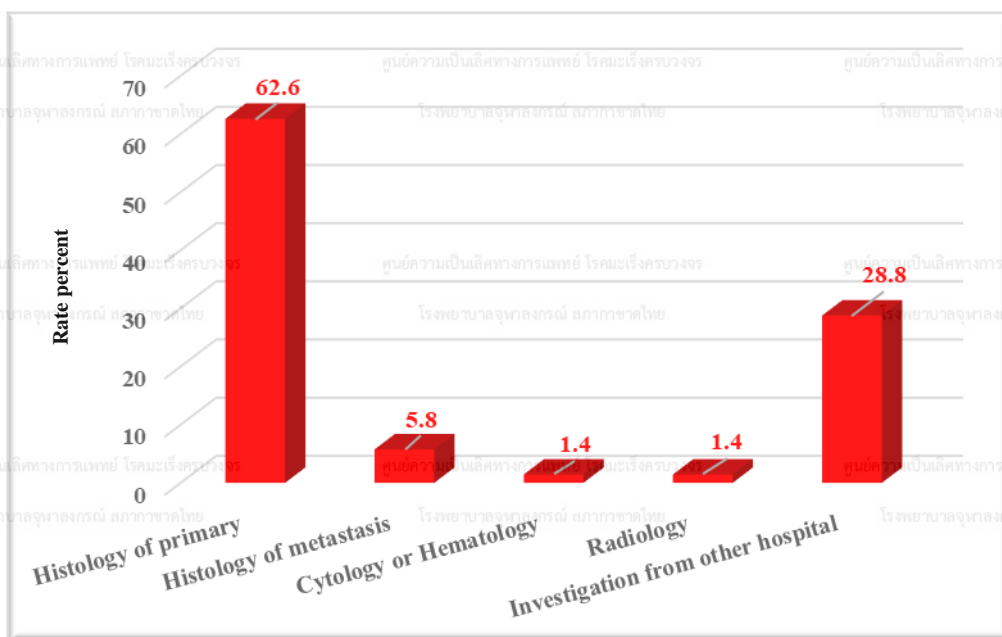
ตารางที่ 38

แสดงจำนวนผู้ป่วยโรคมะเร็งรังไข่ จำแนกตามวิธีวินิจฉัย ในปี พ.ศ. 2566
 (Number of ovarian cancer patients by diagnostic method, 2023)

Method of diagnosis	Female	
	Number	%
Histology of primary	87	62.6
Histology of metastasis	8	5.8
Cytology or Hematology	2	1.4
Radiology	2	1.4
Investigation from other hospital	40	28.8
Total	139	100.0

แผนภูมิที่ 29

แสดงร้อยละของผู้ป่วยโรคมะเร็งรังไข่ จำแนกตามวิธีวินิจฉัย ในปี พ.ศ. 2566
 (Percentage of ovarian cancer patients by diagnostic method, 2023)



ตารางที่ 39

แสดงจำนวนวิธีการรักษาผู้ป่วยโรคมะเร็งรังไข่ ในปี พ.ศ. 2566
(Method of treatment for ovarian cancer patients, 2023)

วิธีการรักษา (ผู้ป่วย 1 ราย มีการรักษาได้มากกว่า 1 วิธี)	ผู้ป่วยหญิง (n = 139)	
	จำนวน	ร้อยละ
Surgery	67	48.2
Radiation	9	6.5
Chemotherapy	88	63.3
Targeted therapy	19	13.7
Hormonal therapy	1	0.7
Interventional	11	7.9
Immunotherapy	1	0.7
Supportive Only	22	15.8
*No treatment data	10	7.2

*No treatment data: 1. ผู้ป่วยปฏิเสธการรักษา

2. ผู้ป่วยไปรักษาโรงพยาบาลอื่น

◆ Prostate cancer

ตารางที่ 40

แสดงจำนวนผู้ป่วยโรคมะเร็งต่อมลูกหมาก ในปี พ.ศ. 2563-2566

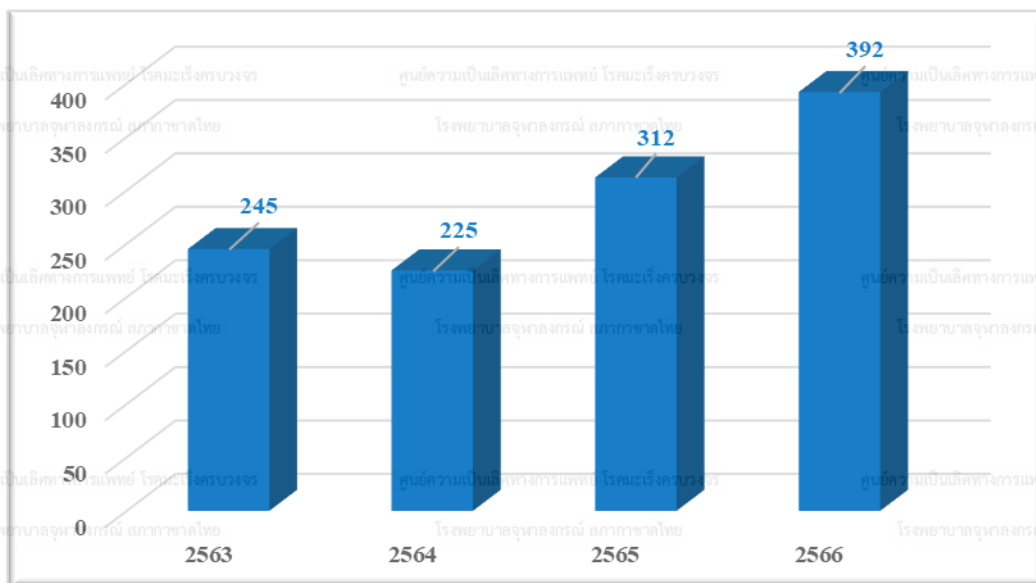
(Trend of prostate cancer, 2020-2023)

Years	Number of patients Male	Total
2563	245	245
2564	225	225
2565	312	312
2566	392	392

แผนภูมิที่ 30

แสดงจำนวนผู้ป่วยโรคมะเร็งต่อมลูกหมาก ในปี พ.ศ. 2563-2566

(Trend of prostate cancer, 2020-2023)



ตารางที่ 41

แสดงจำนวนผู้ป่วยโรคมะเร็งต่อมลูกหมาก จำแนกตามช่วงอายุ ในปี พ.ศ. 2566

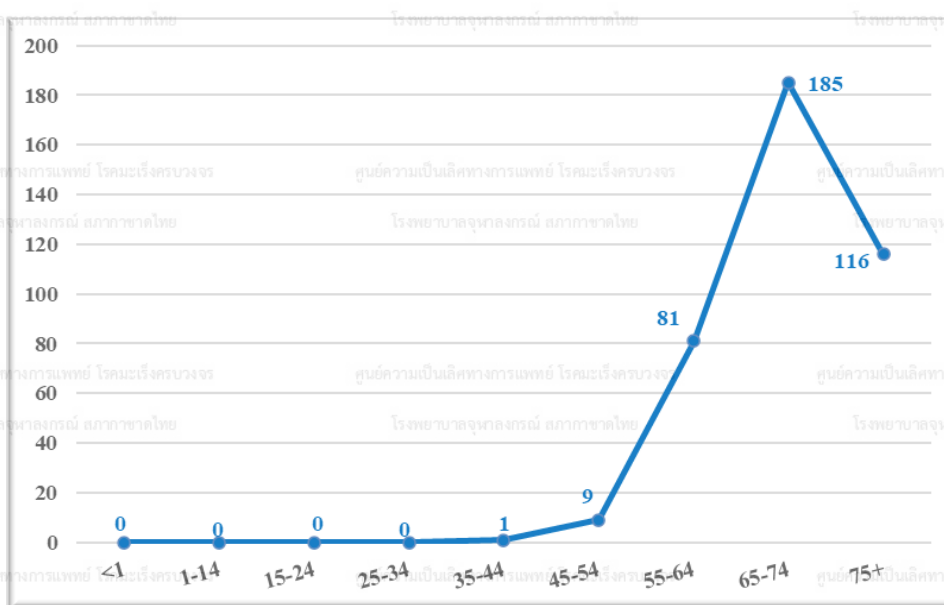
(Distribution of prostate cancer by age-group, 2023)

Age group	Male	
	Number	%
<1	0	0.0
1-14	0	0.0
15-24	0	0.0
25-34	0	0.0
35-44	1	0.3
45-54	9	2.3
55-64	81	20.7
65-74	185	47.2
75+	116	29.6
Total	392	100.0

แผนภูมิที่ 31

แสดงจำนวนผู้ป่วยโรคมะเร็งต่อมลูกหมาก จำแนกตามช่วงอายุ ในปี พ.ศ. 2566

(Distribution of prostate cancer by age-group, 2023)



ตารางที่ 42

แสดงจำนวนผู้ป่วยโรคมะเร็งต่อมลูกหมาก จำแนกตามวิธีวินิจฉัย ในปี พ.ศ. 2566

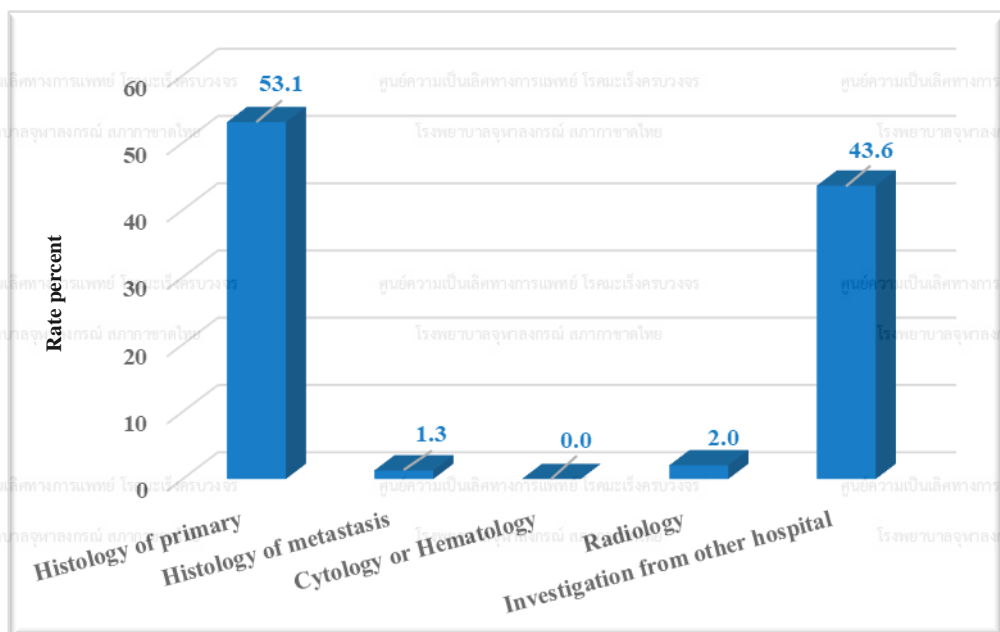
(Number of prostate cancer patients by diagnostic method, 2023)

Method of diagnosis	Male	
	Number	%
Histology of primary	208	53.1
Histology of metastasis	5	1.3
Cytology or Hematology	0	0.0
Radiology	8	2.0
Investigation from other hospital	171	43.6
Total	392	100.0

แผนภูมิที่ 32

แสดงร้อยละของผู้ป่วยโรคมะเร็งต่อมลูกหมาก จำแนกตามวิธีวินิจฉัย ในปี พ.ศ. 2566

(Percentage of prostate cancer patients by diagnostic method, 2023)



ตารางที่ 43

แสดงจำนวนวิธีการรักษาผู้ป่วยโรคมะเร็งต่อมลูกหมาก ในปี พ.ศ. 2566

(Method of treatment for prostate cancer patients, 2023)

วิธีการรักษา (ผู้ป่วย 1 ราย มีการรักษาได้มากกว่า 1 วิธี)	ผู้ป่วยชาย (n = 392)	
	จำนวน	ร้อยละ
Surgery	108	27.6
Radiation	138	35.2
Chemotherapy	19	4.8
Hormonal therapy	164	41.8
Interventional	1	0.3
Immunotherapy	1	0.3
Supportive Only	68	17.3
*No treatment data	31	7.9

*No treatment data: 1. ผู้ป่วยปฏิเสธการรักษา

2. ผู้ป่วยไปรักษาโรงพยาบาลอื่น

Lymphoma

ตารางที่ 44

แสดงจำนวนผู้ป่วยโรคมะเร็งต่อมน้ำเหลือง ในปี พ.ศ. 2563-2566

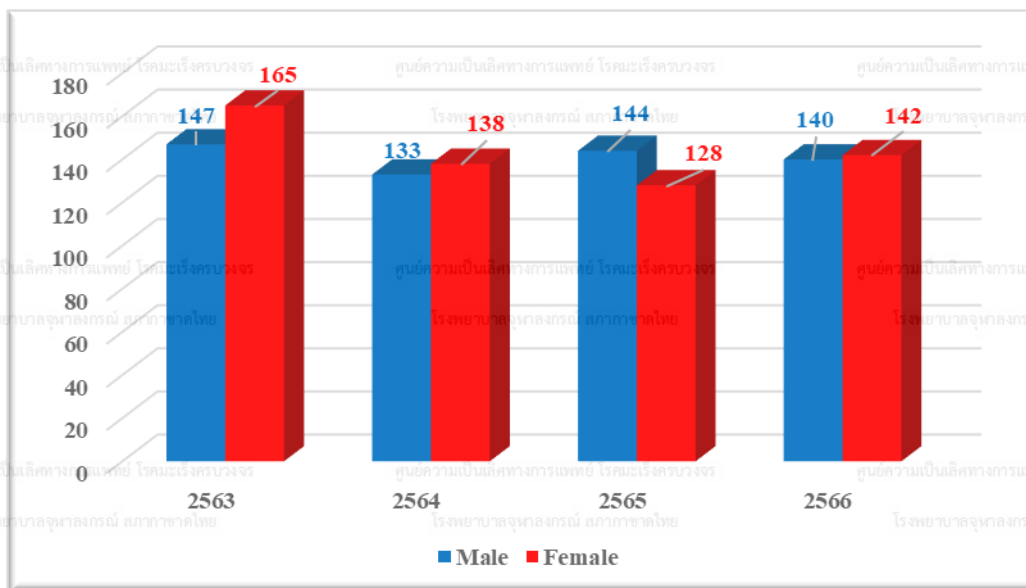
(Trend of lymphoma, 2020-2023)

Years	Number of patients		Total
	Male	Female	
2563	147	165	312
2564	133	138	271
2565	144	128	272
2566	140	142	282

แผนภูมิที่ 33

แสดงจำนวนผู้ป่วยโรคมะเร็งต่อมน้ำเหลือง ในปี พ.ศ. 2563-2566

(Trend of lymphoma, 20209-2023)



ตารางที่ 45

แสดงจำนวนผู้ป่วยโรคมะเร็งต่อมน้ำเหลือง จำแนกตามช่วงอายุในปี พ.ศ. 2566

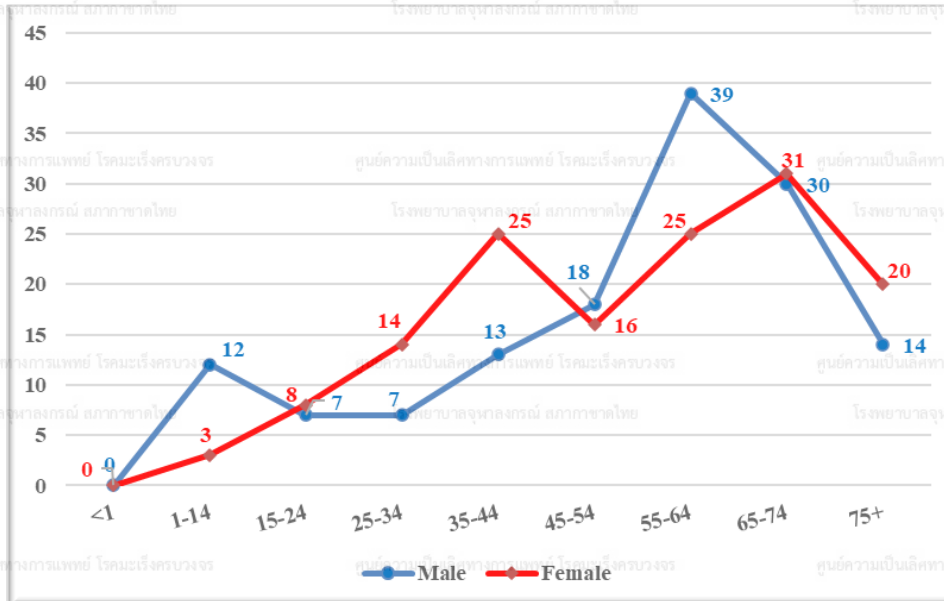
(Distribution of lymphoma by age-group, 2023)

Age group	Male		Female		Total	
	Number	%	Number	%	Number	%
<1	0	0.0	0	0.0	0	0.0
1-14	12	8.6	3	2.1	15	5.3
15-24	7	5.0	8	5.6	15	5.3
25-34	7	5.0	14	9.9	21	7.4
35-44	13	9.3	25	17.6	38	13.5
45-54	18	12.9	16	11.3	34	12.1
55-64	39	27.9	25	17.6	64	22.7
65-74	30	21.4	31	21.8	61	21.6
75+	14	10.0	20	14.1	34	12.1
Total	140	100.0	142	100.0	282	100.0

แผนภูมิที่ 34

แสดงจำนวนผู้ป่วยโรคมะเร็งต่อมน้ำเหลือง จำแนกตามช่วงอายุในปี พ.ศ. 2566

(Distribution of lymphoma by age-group, 2023)



ตารางที่ 46

แสดงจำนวนผู้ป่วยโรคมะเร็งต่อมน้ำเหลือง จำแนกตามวิธีวินิจฉัย ในปี พ.ศ. 2566

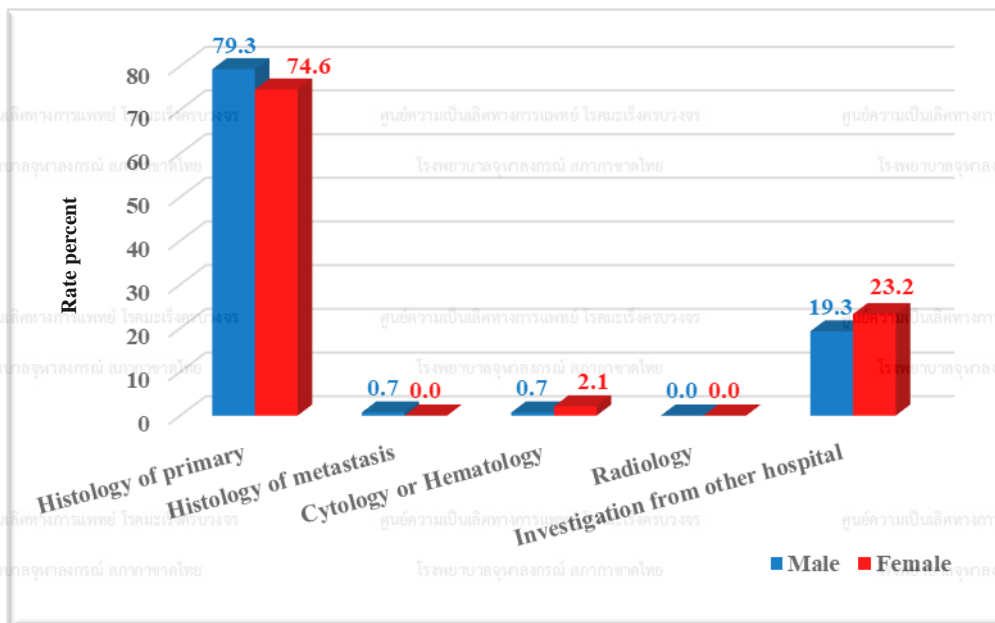
(Number of lymphoma patients by diagnostic method, 2023)

Method of diagnosis	Male		Female		Total	
	Number	%	Number	%	Number	%
Histology of primary	111	79.3	106	74.6	217	77.0
Histology of metastasis	1	0.7	0	0.0	1	0.4
Cytology or Hematology	1	0.7	3	2.1	4	1.4
Radiology	0	0.0	0	0.0	0	0.0
Investigation from other hospital	27	19.3	33	23.2	60	21.3
Total	140	100.0	142	100.0	282	100.0

แผนภูมิที่ 35

แสดงร้อยละของผู้ป่วยโรคมะเร็งต่อมน้ำเหลือง จำแนกตามวิธีวินิจฉัย ในปี พ.ศ. 2566

(Percentage of lymphoma patients by diagnostic method, 2023)



ตารางที่ 47

แสดงจำนวนวิธีการรักษาผู้ป่วยโรคมะเร็งต่อมน้ำเหลือง แยกตามเพศ ในปี พ.ศ. 2566

(Method of treatment for lymphoma patients by gender, 2023)

วิธีการรักษา (ผู้ป่วย 1 ราย มีการรักษาได้มากกว่า 1 วิธี)	ผู้ป่วยชาย (n = 140)		ผู้ป่วยหญิง (n = 142)	
	จำนวน	ร้อยละ	จำนวน	ร้อยละ
Surgery	2	1.4	0	0.0
Radiation	40	28.6	34	23.6
Chemotherapy	95	67.9	84	58.3
Targeted therapy	75	53.6	65	45.1
Interventional	21	15.0	12	8.3
Immunotherapy	5	3.6	2	1.4
Supportive Only	19	13.6	32	22.2
*No treatment data	10	7.1	10	6.9

*No treatment data: 1. ผู้ป่วยปฏิเสธการรักษา

2. ผู้ป่วยไปรักษาโรงพยาบาลอื่น

Leukemia

ตารางที่ 48

แสดงจำนวนผู้ป่วยโรคมะเร็งเม็ดเลือดขาว ในปี พ.ศ. 2563-2566

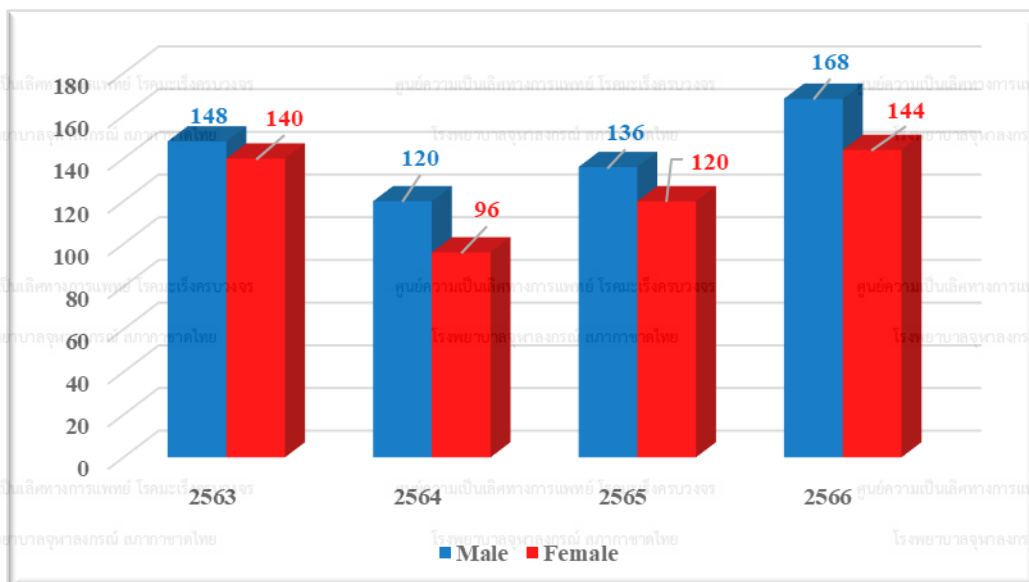
(Trend of leukemia, 2020-2023)

Years	Number of patients		Total
	Male	Female	
2563	148	140	288
2564	120	96	216
2565	136	120	256
2566	168	144	312

แผนภูมิที่ 36

แสดงจำนวนผู้ป่วยโรคมะเร็งเม็ดเลือดขาว ในปี พ.ศ. 2563-2566

(Trend of leukemia, 2020-2023)



ตารางที่ 49

แสดงจำนวนผู้ป่วยโรคมะเร็งเม็ดเลือดขาว จำแนกตามช่วงอายุ ในปี พ.ศ. 2566

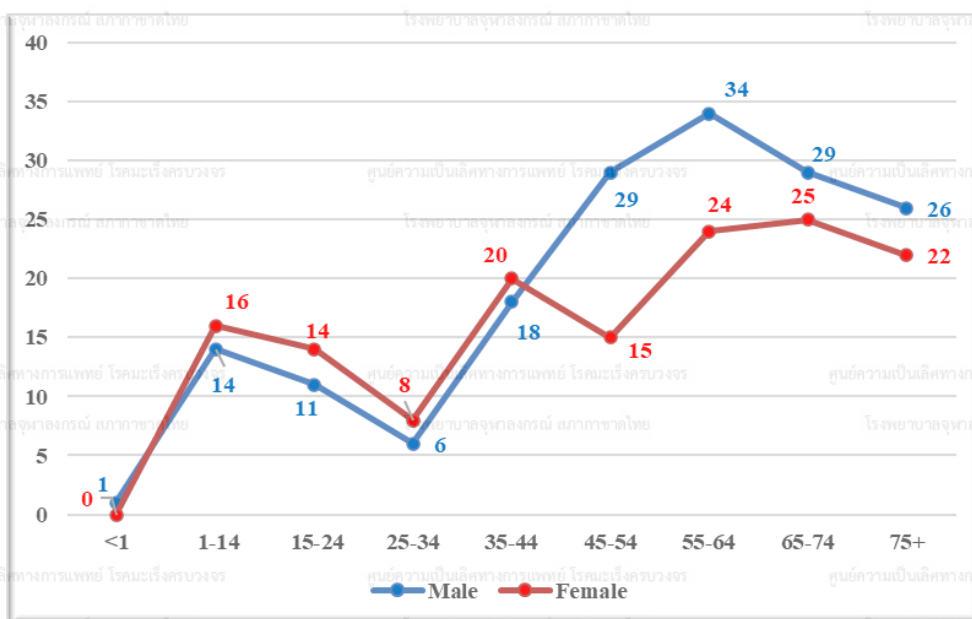
(Distribution of leukemia by age-group, 2023)

Age group	Male		Female		Total	
	Number	%	Number	%	Number	%
<1	1	0.6	0	0.0	1	0.3
1-14	14	8.3	16	11.1	30	9.6
15-24	11	6.5	14	9.7	25	8.0
25-34	6	3.6	8	5.6	14	4.5
35-44	18	10.7	20	13.9	38	12.2
45-54	29	17.3	15	10.4	44	14.1
55-64	34	20.2	24	16.7	58	18.6
65-74	29	17.3	25	17.4	54	17.3
75+	26	15.5	22	15.3	48	15.4
Total	168	100.0	144	100.0	312	100.0

แผนภูมิที่ 37

แสดงจำนวนผู้ป่วยโรคมะเร็งเม็ดเลือดขาว จำแนกตามช่วงอายุ ในปี พ.ศ. 2566

(Distribution of leukemia by age-group, 2023)



ตารางที่ 50

แสดงจำนวนผู้ป่วยโรคมะเร็งเม็ดเลือดขาว จำแนกตามวิธีวินิจฉัย ในปี พ.ศ. 2566

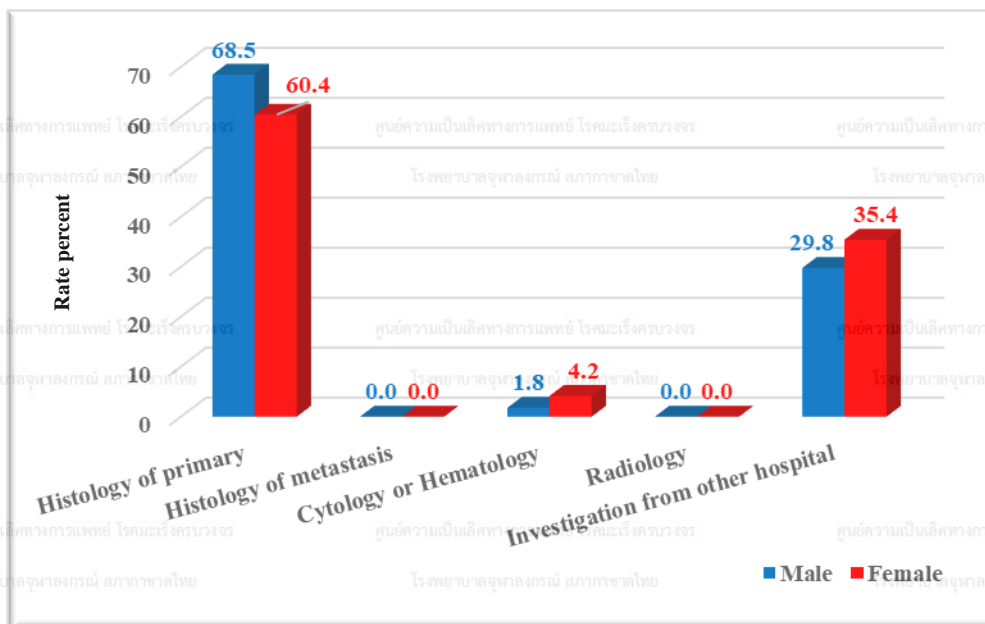
(Number of leukemia patients by diagnostic method, 2023)

Method of diagnosis	Male		Female		Total	
	Number	%	Number	%	Number	%
Histology of primary	115	68.5	87	60.4	202	64.7
Histology of metastasis	0	0.0	0	0.0	0	0.0
Cytology or Hematology	3	1.8	6	4.2	9	2.9
Radiology	0	0.0	0	0.0	0	0.0
Investigation from other hospital	50	29.8	51	35.4	101	32.4
Total	168	100.0	144	100.0	312	100.0

แผนภูมิที่ 38

แสดงร้อยละของผู้ป่วยโรคมะเร็งเม็ดเลือดขาว จำแนกตามวิธีวินิจฉัย ในปี พ.ศ. 2566

(Percentage of leukemia patients by diagnostic method, 2023)



ตารางที่ 51

แสดงจำนวนวิธีการรักษาผู้ป่วยโรคมะเร็งเม็ดเลือดขาว แยกตามเพศ ในปี พ.ศ. 2566

(Method of treatment for leukemia patients by gender, 2023)

วิธีการรักษา (ผู้ป่วย 1 ราย มีการรักษาได้มากกว่า 1 วิธี)	ผู้ป่วยชาย (n = 168)		ผู้ป่วยหญิง (n = 144)	
	จำนวน	ร้อยละ	จำนวน	ร้อยละ
Radiation	15	8.9	13	9.0
Chemotherapy	82	48.8	68	47.2
Targeted therapy	49	29.2	31	21.5
Interventional	32	19.0	24	16.7
Immunotherapy	3	1.8	1	0.7
Supportive Only	43	25.6	44	30.6
*No treatment data	15	8.9	17	11.8

*No treatment data: 1. ผู้ป่วยปฏิเสธการรักษา

ศูนย์ความเป็นเลิศทางการแพทย์ โรคมะเร็งครบวงจร

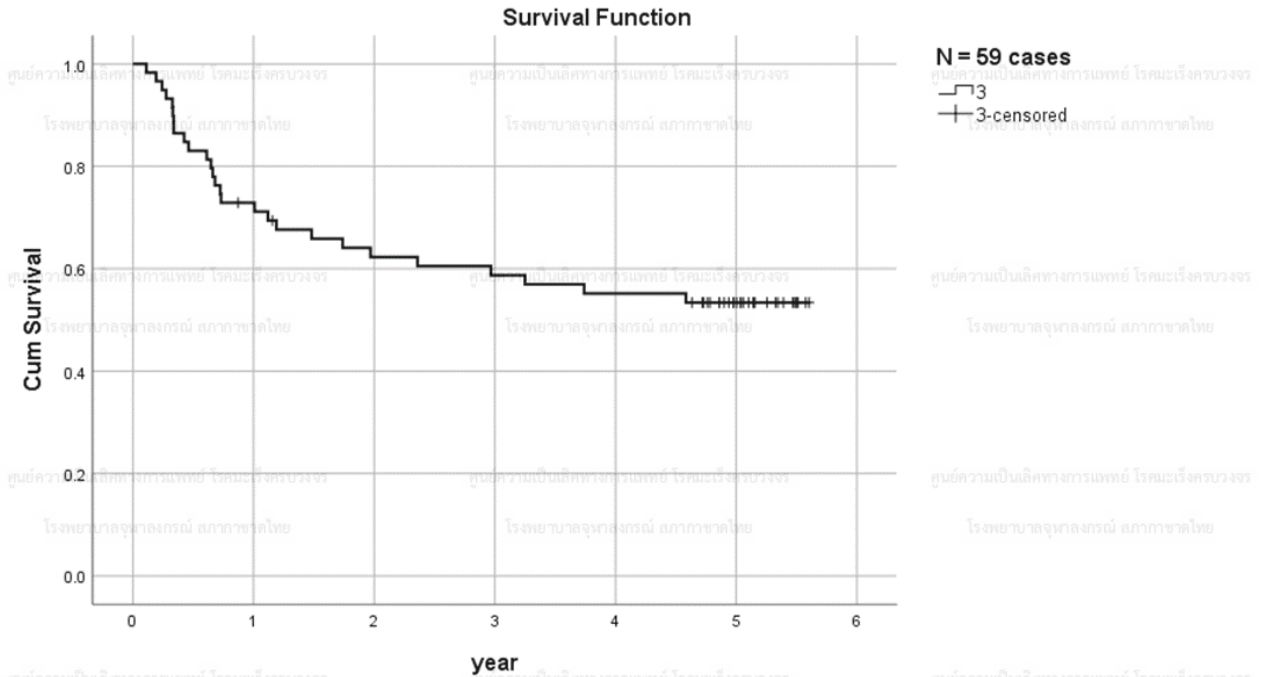
2. ผู้ป่วยไปรักษาโรงพยาบาลอื่น

แผนภูมิที่ 39

แสดงอัตราการรอดชีพของผู้ป่วยโรคมะเร็งลิ้นที่วินิจฉัยในปี พ.ศ. 2563

(Survival rate of tongue cancer patients diagnosed in 2020)

Graph Kaplan-Meier



ภาพรวมผู้ป่วยโรคมะเร็งลิ้น (tongue cancer) ในปี พ.ศ. 2563 ทั้งเพศชายและเพศหญิง โดยแบ่งเป็นปี พบว่า

1. อัตราการรอดชีพที่ 3 ปี เท่ากับ 58.7%

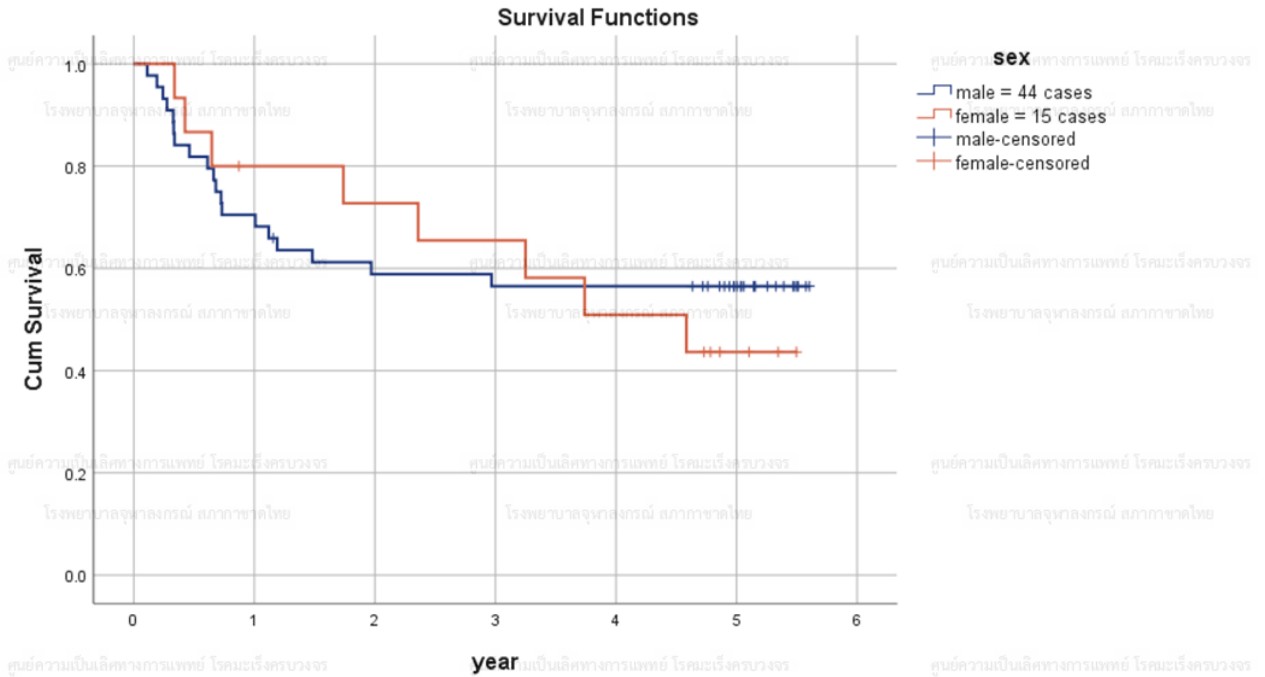
2. อัตราการรอดชีพที่ 5 ปี เท่ากับ 53.4%

แผนภูมิที่ 40

แสดงอัตราการรอดชีพของผู้ป่วยโรคมะเร็งลิ้นที่วินิจฉัยในปี พ.ศ. 2563 แยกตามเพศ

(Survival rate of tongue cancer patients diagnosed in 2020 by gender)

Graph Kaplan-Meier



ผู้ป่วยเพศชาย	ผู้ป่วยเพศหญิง
อัตราการรอดชีพที่ 3 ปี เท่ากับ 56.5%	อัตราการรอดชีพที่ 3 ปี เท่ากับ 65.5%
อัตราการรอดชีพที่ 5 ปี เท่ากับ 56.5%	อัตราการรอดชีพที่ 5 ปี เท่ากับ 43.6%

Overall Comparisons

	Chi-Square	df	Sig.
Log Rank (Mantel-Cox)	.103	1	.749
Breslow (Generalized Wilcoxon)	.007	1	.932
Tarone-Ware	.012	1	.915

Test of equality of survival distributions for the different levels of sex.

หมายเหตุ *ค่านี้สำคัญทางสถิติที่ระดับ .05

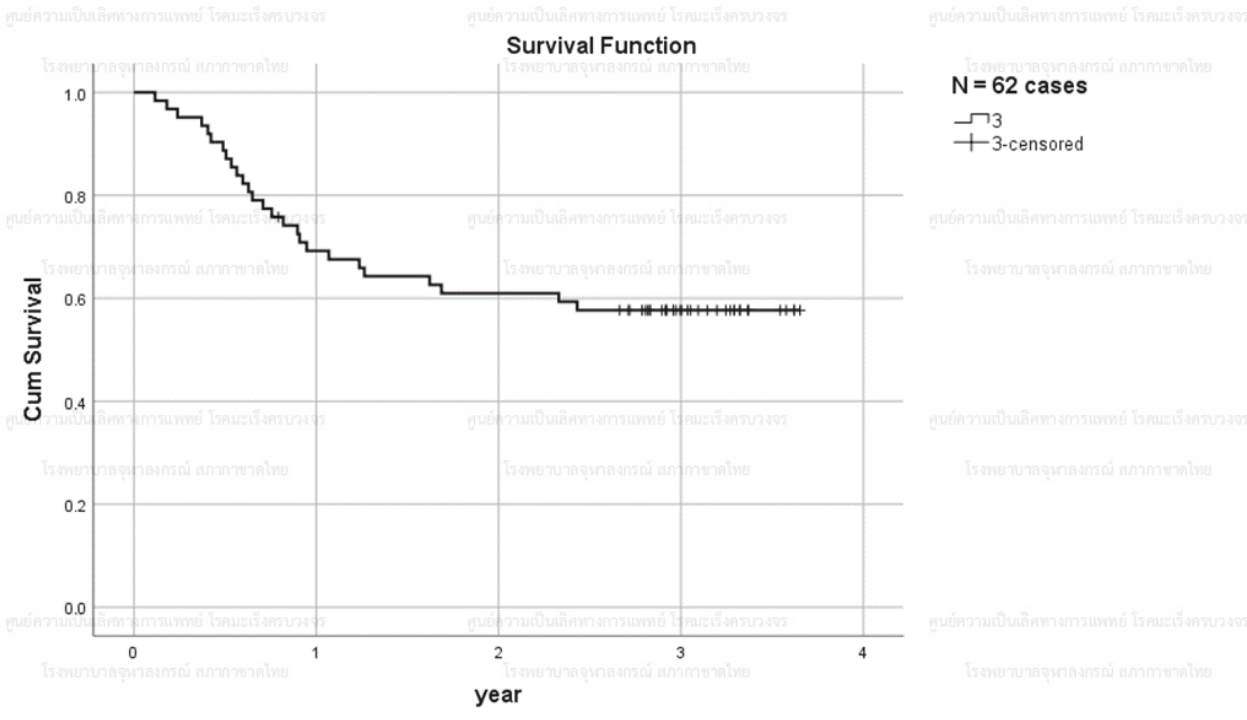
จากการศึกษา พบว่า เพศต่างกันมีอัตราการรอดชีพของผู้ป่วยโรคมะเร็งลิ้น (tongue cancer) ไม่แตกต่างกันอย่างมีนัยสำคัญทางสถิติที่ระดับ .05

แผนภูมิที่ 41

แสดงอัตราการรอดชีพของผู้ป่วยโรคมะเร็งเรื้อรังที่วินิจฉัยในปี พ.ศ. 2565

(Survival rate of tongue cancer patients diagnosed in 2022)

Graph Kaplan-Meier



ภาพรวมผู้ป่วยโรคมะเร็งเรื้อรัง (tongue cancer) ในปี พ.ศ. 2565 ทั้งเพศชาย และเพศหญิง

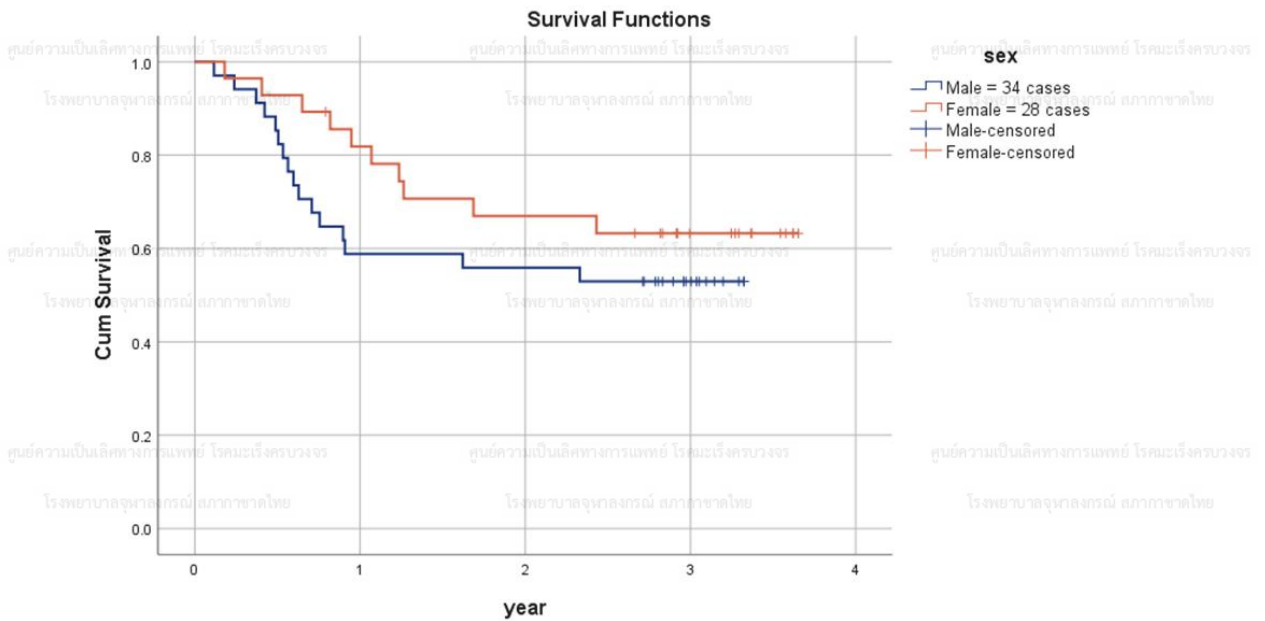
โดยแบ่งเป็นปี พบว่า อัตราการรอดชีพที่ 3 ปี เท่ากับ 57.7%

แผนภูมิที่ 42

แสดงอัตราการรอดชีพของผู้ป่วยโรคมะเร็งลิ้นที่วินิจฉัยในปี พ.ศ. 2565 แยกตามเพศ

(Survival rate of tongue cancer patients diagnosed in 2022 by gender)

Graph Kaplan-Meier



ผู้ป่วยเพศชาย	ผู้ป่วยเพศหญิง
อัตราการรอดชีพที่ 3 ปี เท่ากับ 52.9%	อัตราการรอดชีพที่ 3 ปี เท่ากับ 63.2%

Overall Comparisons

	Chi-Square	df	Sig.
Log Rank (Mantel-Cox)	1.218	1	.270
Breslow (Generalized Wilcoxon)	1.805	1	.179
Tarone-Ware	1.519	1	.218

Test of equality of survival distributions for the different levels of sex.

หมายเหตุ *ค่านี้ยสำคัญทางสถิติที่ระดับ .05

จากการศึกษา พบว่า เพศต่างกันมีอัตราการรอดชีพของผู้ป่วยโรคมะเร็งลิ้น (tongue cancer) ไม่

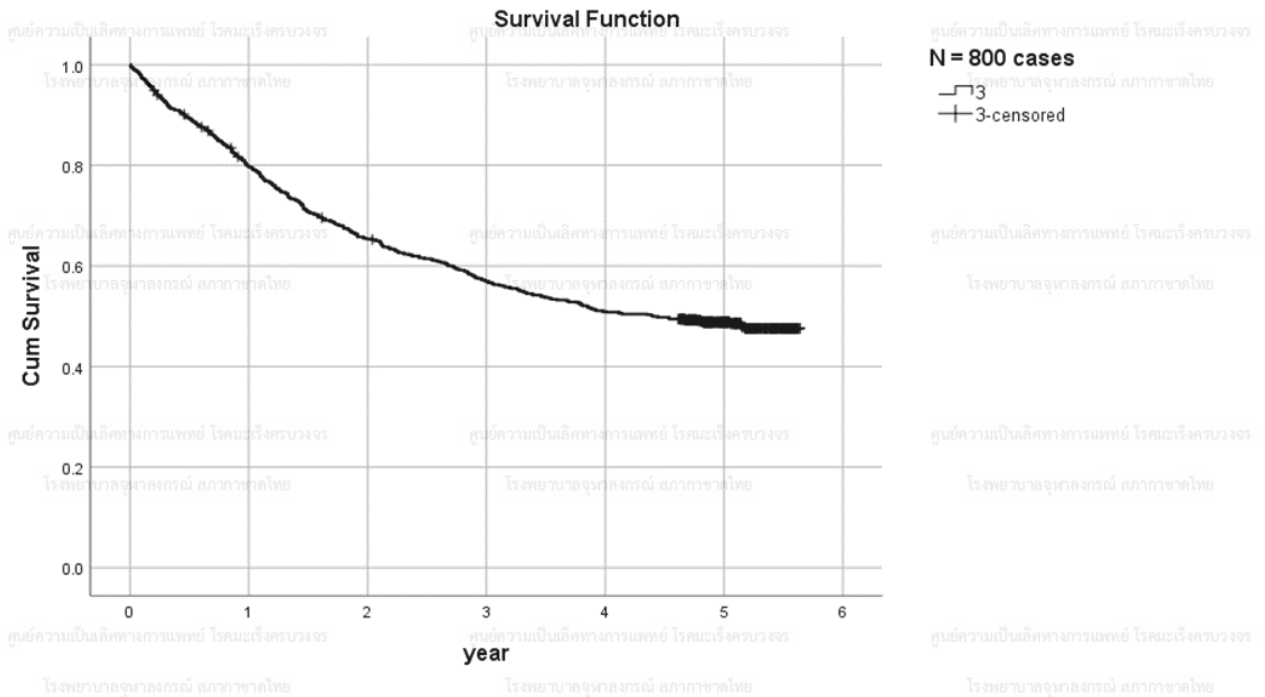
แตกต่างกันอย่างมีนัยสำคัญทางสถิติที่ระดับ .05

แผนภูมิที่ 43

แสดงอัตราการรอดชีพของผู้ป่วยโรคมะเร็งลำไส้ใหญ่และทวารหนักที่วินิจฉัยในปี พ.ศ. 2563

(Survival rate of colon & rectum cancer patients diagnosed in 2020)

Graph Kaplan-Meier



ภาพรวมผู้ป่วย โรคมะเร็งลำไส้ใหญ่และทวารหนัก (colon & rectum cancer) ในปี พ.ศ. 2563 ทั้งเพศชายและเพศหญิง โดยแบ่งเป็นปี พบว่า

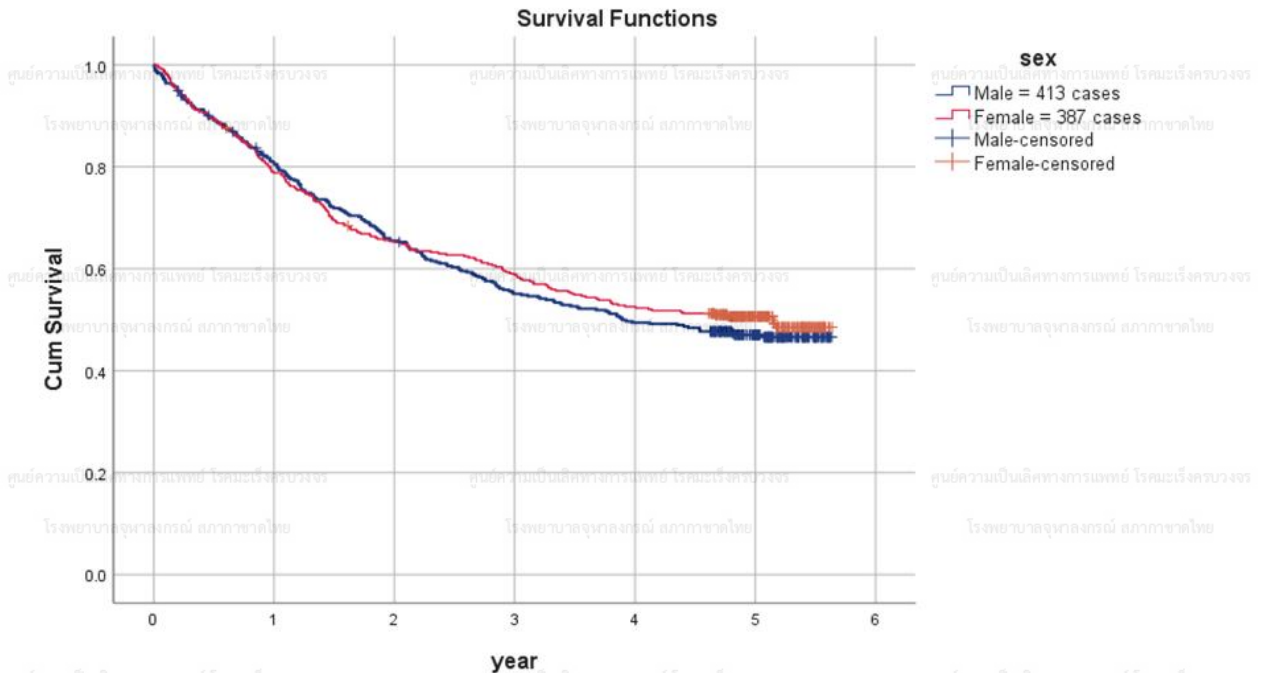
- อัตราการรอดชีพที่ 3 ปี เท่ากับ 56.9%
- อัตราการรอดชีพที่ 5 ปี เท่ากับ 48.8%

แผนภูมิที่ 44

แสดงอัตราการรอดชีพของผู้ป่วยโรคมะเร็งลำไส้ใหญ่และทวารหนักที่วินิจฉัยในปี พ.ศ. 2563 แยกตามเพศ

ศูนย์ควา (Survival rate of colon & rectum cancer patients diagnosed in 2020 by gender) โรคมะเร็งบวมจ

Graph Kaplan-Meier



ผู้ป่วยเพศชาย	ผู้ป่วยเพศหญิง
อัตราการรอดชีพที่ 3 ปี เท่ากับ 55.1%	อัตราการรอดชีพที่ 3 ปี เท่ากับ 58.8%
อัตราการรอดชีพที่ 5 ปี เท่ากับ 47.1%	อัตราการรอดชีพที่ 5 ปี เท่ากับ 50.7%

Overall Comparisons

	Chi-Square	df	Sig.
Log Rank (Mantel-Cox)	.424	1	.515
Breslow (Generalized Wilcoxon)	.246	1	.620
Tarone-Ware	.344	1	.558

Test of equality of survival distributions for the different levels of sex.

หมายเหตุ *ค่านี้สำคัญทางสถิติที่ระดับ .05

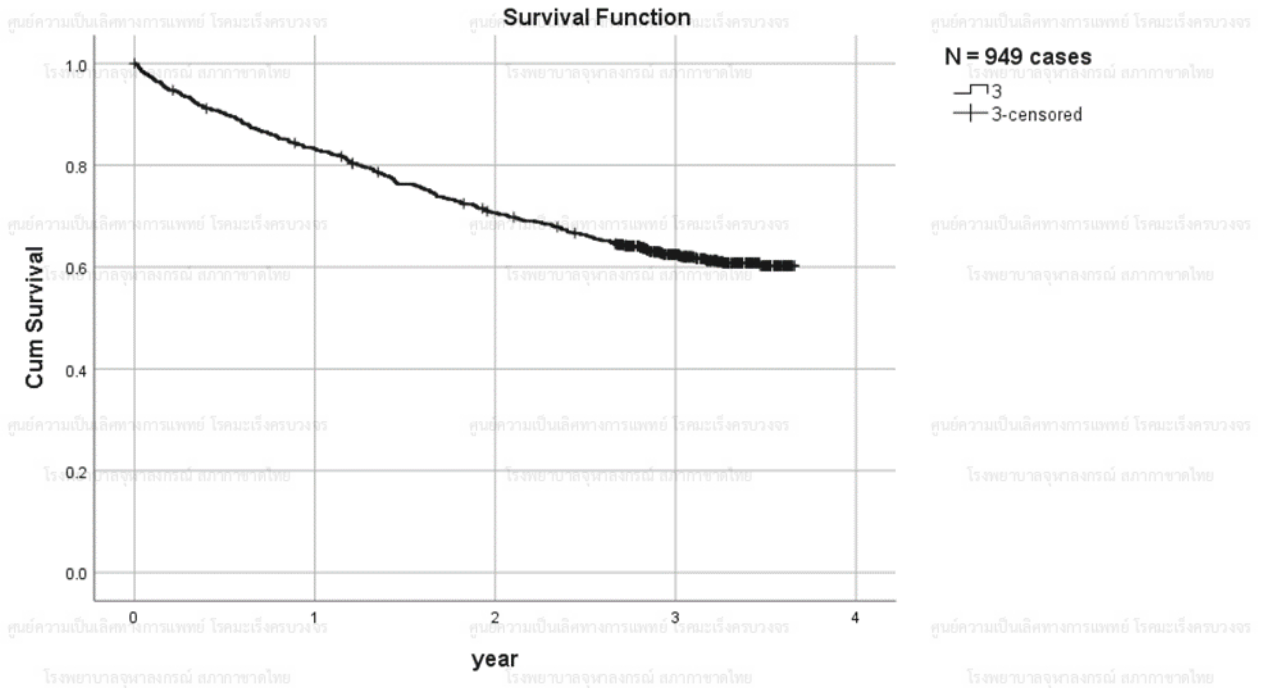
จากการศึกษา พบว่า เพศต่างกันมีอัตราการรอดชีพของผู้ป่วยโรคมะเร็งลำไส้ใหญ่และทวารหนัก (colon & rectum cancer) ไม่แตกต่างกันอย่างมีนัยสำคัญทางสถิติที่ระดับ .05

แผนภูมิที่ 45

แสดงอัตราการรอดชีพของผู้ป่วยโรคมะเร็งลำไส้ใหญ่และทวารหนักที่วินิจฉัยในปี พ.ศ. 2565

(Survival rate of colon & rectum cancer patients diagnosed in 2022)

Graph Kaplan-Meier



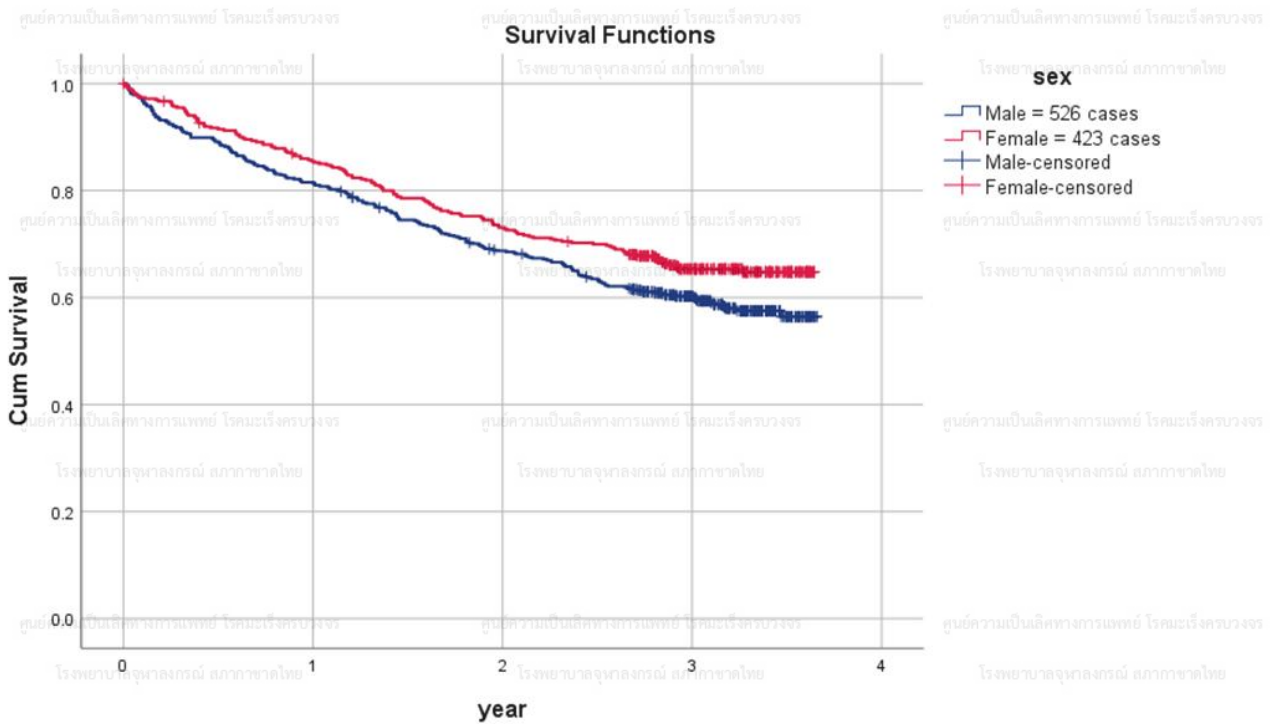
ภาพรวมผู้ป่วย โรคมะเร็งลำไส้ใหญ่และทวารหนัก (colon & rectum cancer) ในปี พ.ศ. 2565 ทั้งเพศชายและเพศหญิง โดยแบ่งเป็นปี พบว่า อัตราการรอดชีพที่ 3 ปี เท่ากับ 62.5%

แสดงอัตราการรอดชีวิตของผู้ป่วยโรคมะเร็งลำไส้ใหญ่และทวารหนักที่วินิจฉัย

ในปี พ.ศ. 2565 แยกตามเพศ

(Survival rate of colon & rectum cancer patients diagnosed in 2022 by gender)

Graph Kaplan-Meier



ผู้ป่วยเพศชาย	ผู้ป่วยเพศหญิง
อัตราการรอดชีวิตที่ 3 ปี เท่ากับ 60.2%	อัตราการรอดชีวิตที่ 3 ปี เท่ากับ 65.4%

หมายเหตุ *ค่านัยสำคัญทางสถิติที่ระดับ .05

Overall Comparisons

	Chi-Square	df	Sig.
Log Rank (Mantel-Cox)	4.819	1	.028
Breslow (Generalized Wilcoxon)	4.522	1	.033
Tarone-Ware	4.613	1	.032

Test of equality of survival distributions for the different levels of sex.

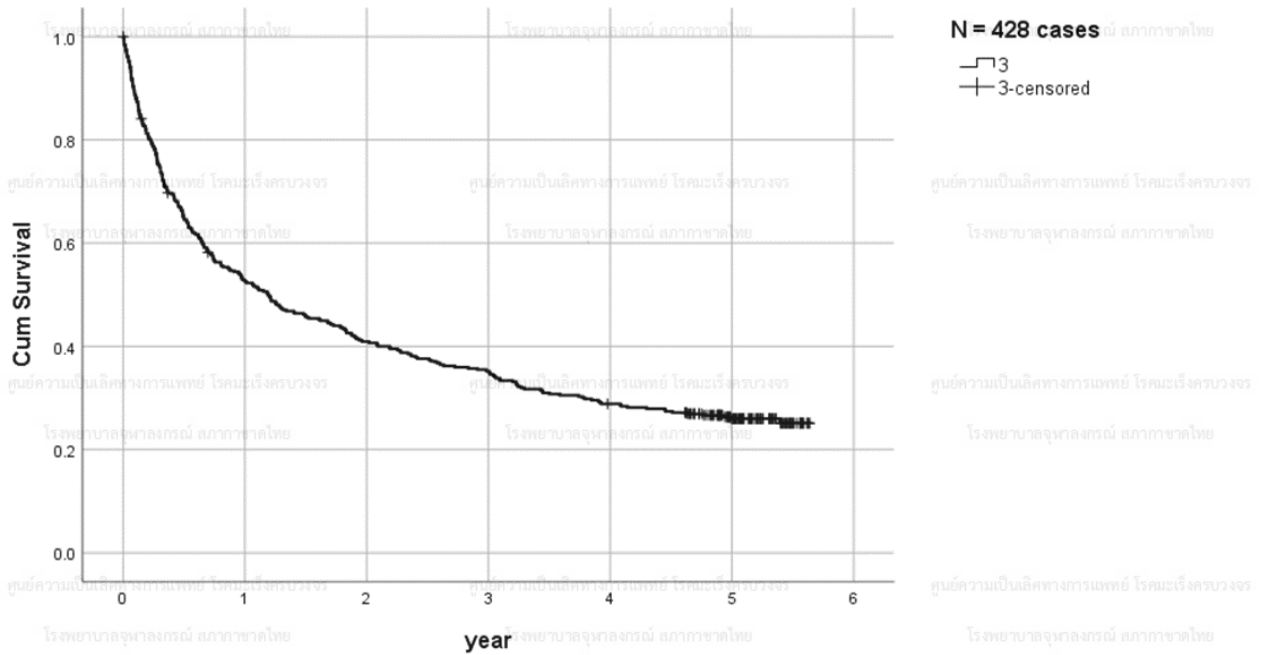
จากการศึกษา พบว่า เพศต่างกันมีอัตราการรอดชีวิตของผู้ป่วยโรคมะเร็งลำไส้ใหญ่และทวารหนัก (colon & rectum cancer) แตกต่างกันอย่างมีนัยสำคัญทางสถิติที่ระดับ .05

แผนภูมิที่ 47

แสดงอัตราการรอดชีพของผู้ป่วยโรคมะเร็งตับที่วินิจฉัยในปี พ.ศ. 2563

(Survival rate of liver cancer patients diagnosed in 2020)

Graph Kaplan-Meier



ภาพรวมผู้ป่วยโรคมะเร็งตับ (liver cancer) ในปี พ.ศ. 2563 ทั้งเพศชายและเพศหญิง โดยแบ่งเป็นปี พบว่า

1. อัตราการรอดชีพที่ 3 ปี เท่ากับ 35.0%

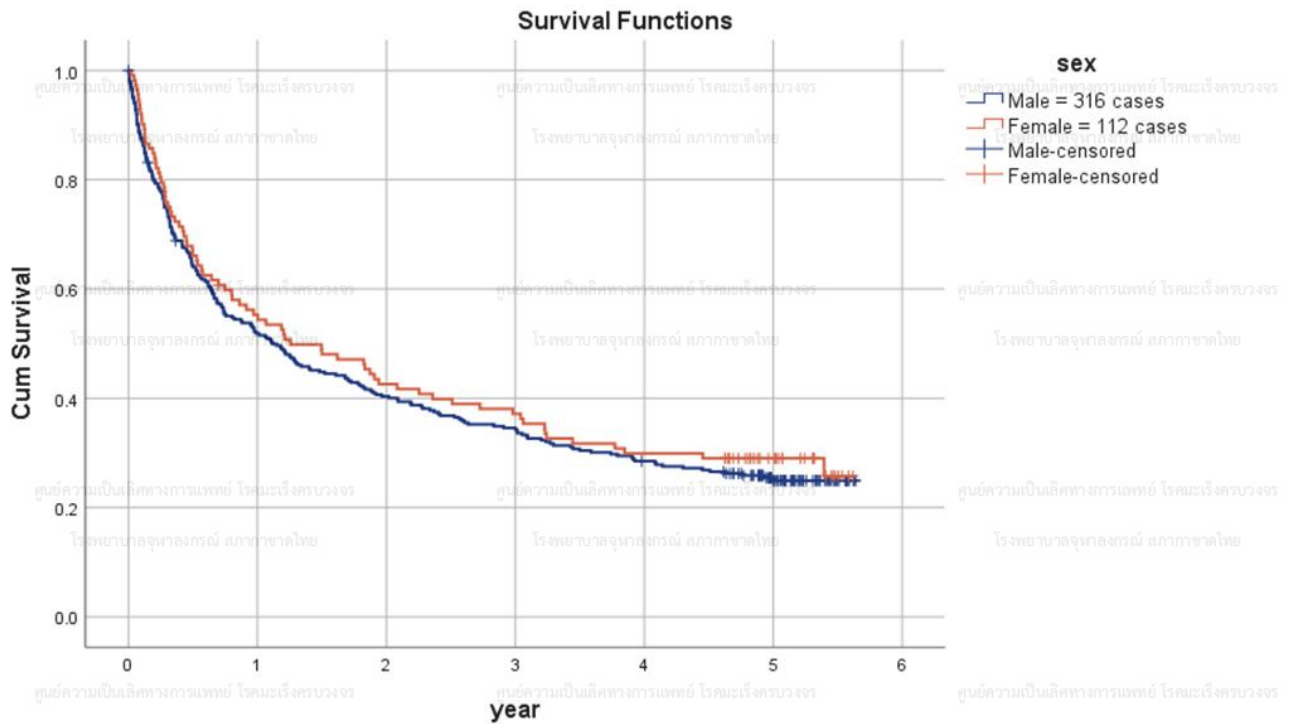
2. อัตราการรอดชีพที่ 5 ปี เท่ากับ 26.0%

แผนภูมิที่ 48

แสดงอัตราการรอดชีพของผู้ป่วยโรคมะเร็งตับที่วินิจฉัยในปี พ.ศ. 2563 แยกตามเพศ

(Survival rate of liver cancer patients diagnosed in 2020 by gender)

Graph Kaplan-Meier



ผู้ป่วยเพศชาย	ผู้ป่วยเพศหญิง
อัตราการรอดชีพที่ 3 ปี เท่ากับ 34.3%	อัตราการรอดชีพที่ 3 ปี เท่ากับ 37.2%
อัตราการรอดชีพที่ 5 ปี เท่ากับ 24.9%	อัตราการรอดชีพที่ 5 ปี เท่ากับ 29.0%

Overall Comparisons

	Chi-Square	df	Sig.
Log Rank (Mantel-Cox)	.469	1	.493
Breslow (Generalized Wilcoxon)	.680	1	.410
Tarone-Ware	.590	1	.442

Test of equality of survival distributions for the different levels of sex.

หมายเหตุ *ค่านี้ยสำคัญทางสถิติที่ระดับ .05

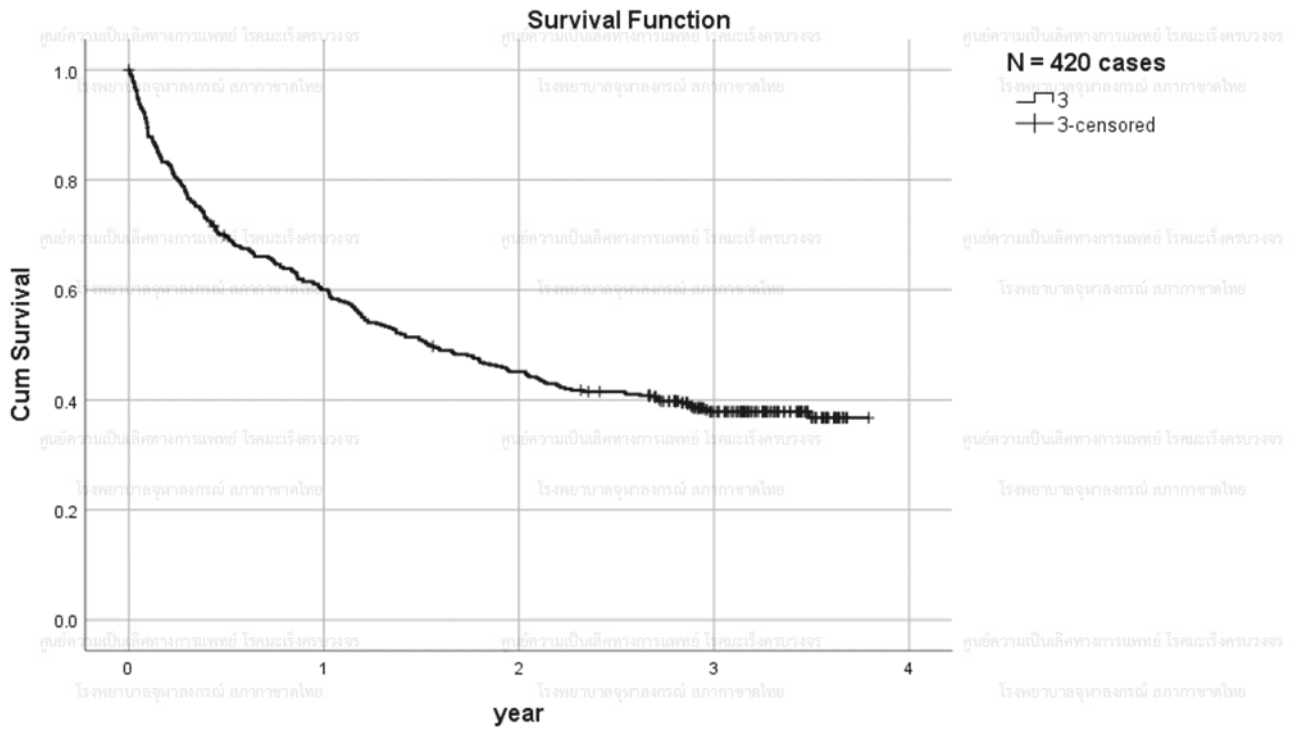
จากการศึกษา พบว่า เพศต่างกันมีอัตราการรอดชีพของผู้ป่วยโรคมะเร็งตับ (liver cancer)

ไม่แตกต่างกันอย่างมีนัยสำคัญทางสถิติที่ระดับ .05

แผนภูมิที่ 49

แสดงอัตราการรอดชีพของผู้ป่วยโรคมะเร็งตับที่วินิจฉัยในปี พ.ศ. 2565
(Survival rate of liver cancer patients diagnosed in 2022)

Graph Kaplan-Meier

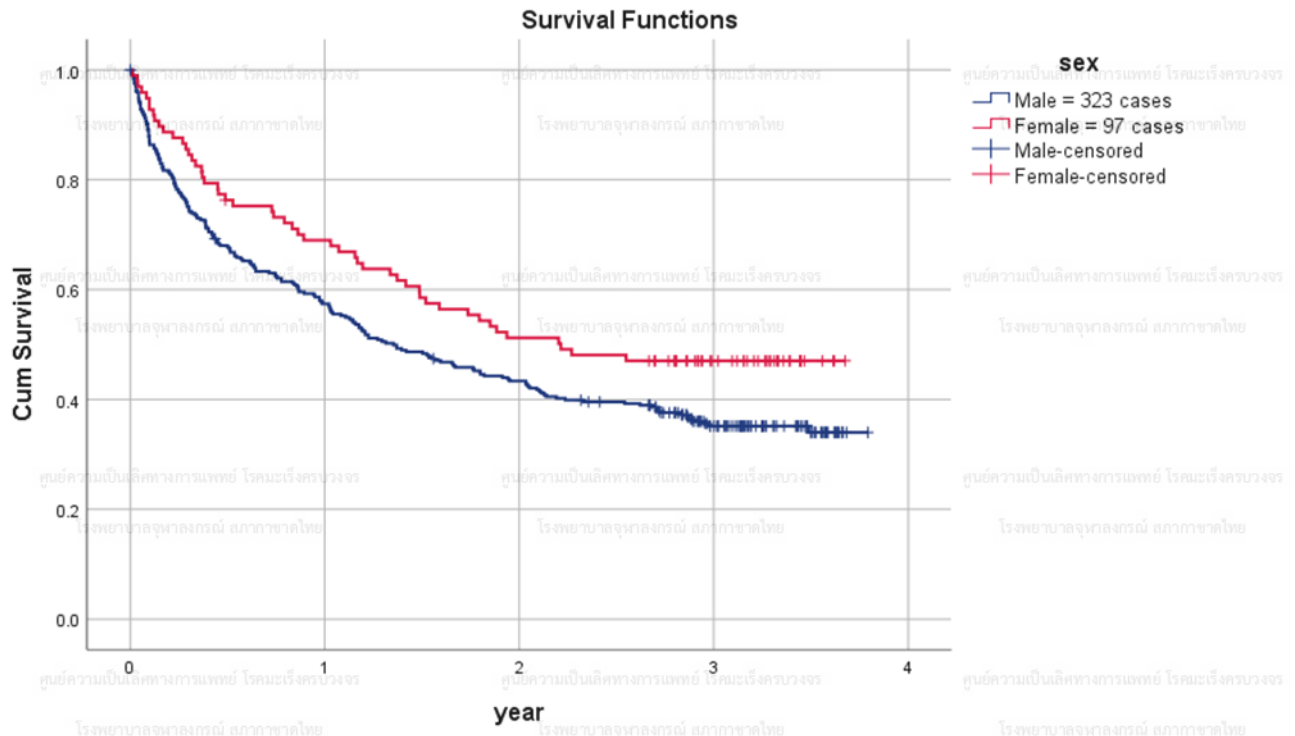


ภาพรวมผู้ป่วย โรคมะเร็งตับ (liver cancer) ในปี พ.ศ. 2565 ทั้งเพศชาย และเพศหญิง โดยแบ่งเป็นปี พบว่า อัตราการรอดชีพที่ 3 ปี เท่ากับ 37.9%

แสดงอัตราการรอดชีพของผู้ป่วยโรคมะเร็งตับที่วินิจฉัยในปี พ.ศ. 2565 แยกตามเพศ

(Survival rate of liver cancer patients diagnosed in 2022 by gender)

Graph Kaplan-Meier



ผู้ป่วยเพศชาย	ผู้ป่วยเพศหญิง
อัตราการรอดชีพที่ 3 ปี เท่ากับ 35.2%	อัตราการรอดชีพที่ 3 ปี เท่ากับ 47.0%

หมายเหตุ *ค่านัยสำคัญทางสถิติที่ระดับ .05

Overall Comparisons

	Chi-Square	df	Sig.
Log Rank (Mantel-Cox)	4.437	1	.035
Breslow (Generalized Wilcoxon)	4.718	1	.030
Tarone-Ware	4.597	1	.032

Test of equality of survival distributions for the different levels of sex.

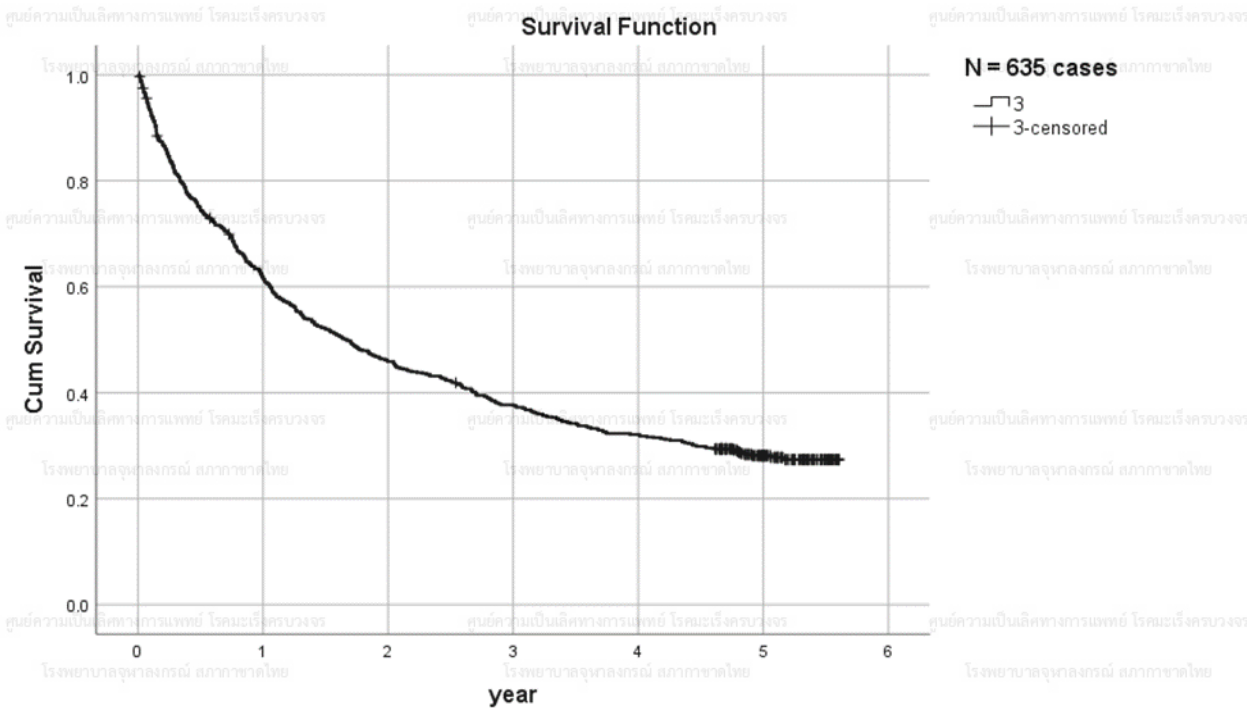
จากการศึกษา พบว่า เพศต่างกันมีอัตราการรอดชีพของผู้ป่วยโรคมะเร็งตับ (liver cancer)

แตกต่างกันอย่างมีนัยสำคัญทางสถิติที่ระดับ .05

แผนภูมิที่ 51

แสดงอัตราการรอดชีพของผู้ป่วยโรคมะเร็งปอดที่วินิจฉัยในปี พ.ศ. 2563
(Survival rate of lung cancer patients diagnosed in 2020)

Graph Kaplan-Meier



ภาพรวมผู้ป่วย โรคมะเร็งปอด (lung cancer) ในปี พ.ศ. 2563 ทั้งเพศชาย และเพศหญิง

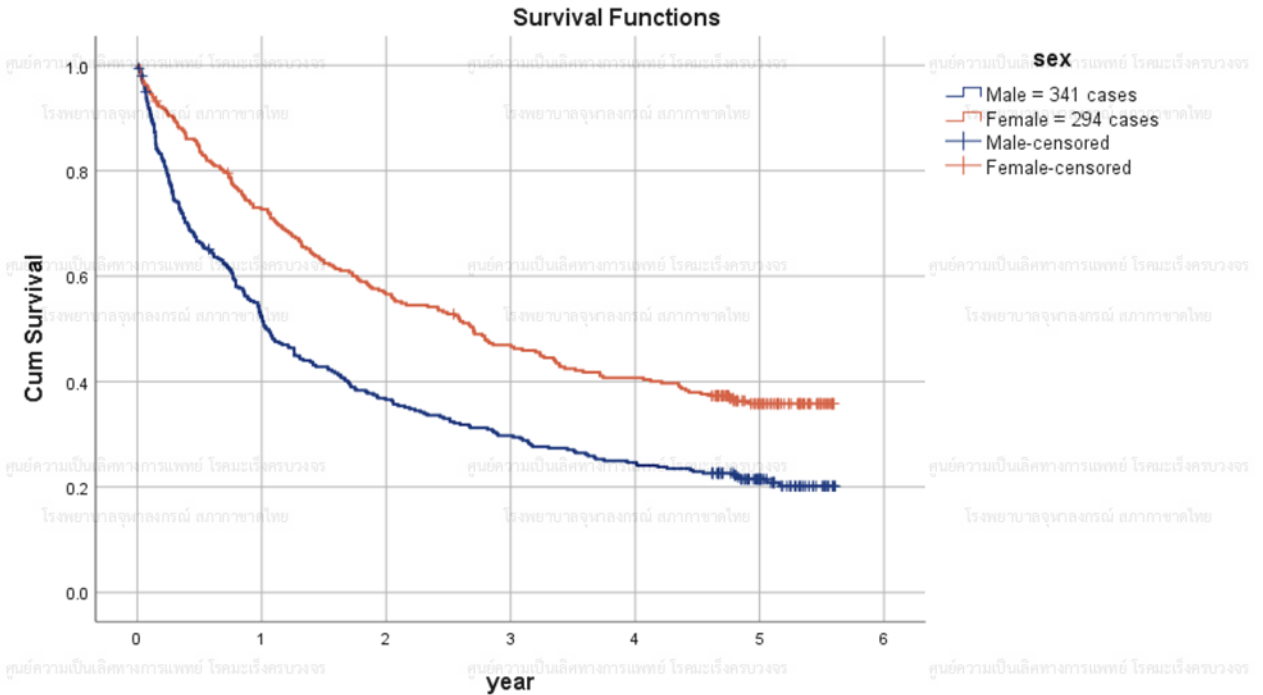
โดยแบ่งเป็นปี พบว่า

- 1. อัตราการรอดชีพที่ 3 ปี เท่ากับ 37.7%
- 2. อัตราการรอดชีพที่ 5 ปี เท่ากับ 28.1%

แสดงอัตราการรอดชีพของผู้ป่วยโรคมะเร็งปอดที่วินิจฉัยในปี พ.ศ. 2563 แยกตามเพศ

(Survival rate of lung cancer patients diagnosed in 2020 by gender)

Graph Kaplan-Meier



ผู้ป่วยเพศชาย	ผู้ป่วยเพศหญิง
อัตราการรอดชีพที่ 3 ปี เท่ากับ 29.7%	อัตราการรอดชีพที่ 3 ปี เท่ากับ 46.9%
อัตราการรอดชีพที่ 5 ปี เท่ากับ 21.5%	อัตราการรอดชีพที่ 5 ปี เท่ากับ 35.8%

Overall Comparisons

	Chi-Square	df	Sig.
Log Rank (Mantel-Cox)	28.224	1	.000
Breslow (Generalized Wilcoxon)	33.048	1	.000
Tarone-Ware	31.451	1	.000

Test of equality of survival distributions for the different levels of sex.

หมายเหตุ *ค่านี้สำคัญทางสถิติที่ระดับ .05

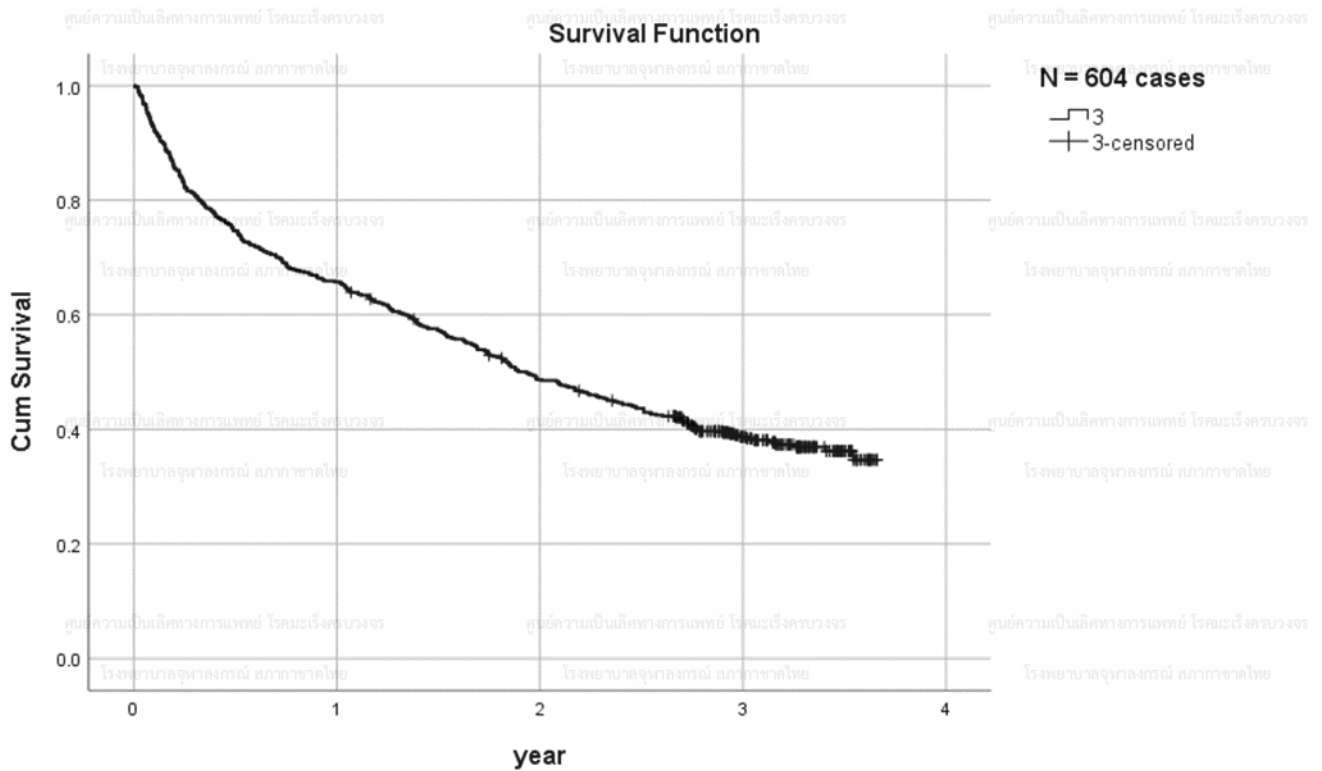
จากการศึกษา พบว่า เพศต่างกันมีอัตราการรอดชีพของผู้ป่วยโรคมะเร็งปอด (lung cancer)

แตกต่างกันอย่างมีนัยสำคัญทางสถิติที่ระดับ .05

แผนภูมิที่ 53

แสดงอัตราการรอดชีพของผู้ป่วยโรคมะเร็งปอดที่วินิจฉัยในปี พ.ศ. 2565 (Survival rate of lung cancer patients diagnosed in 2022)

Graph Kaplan-Meier

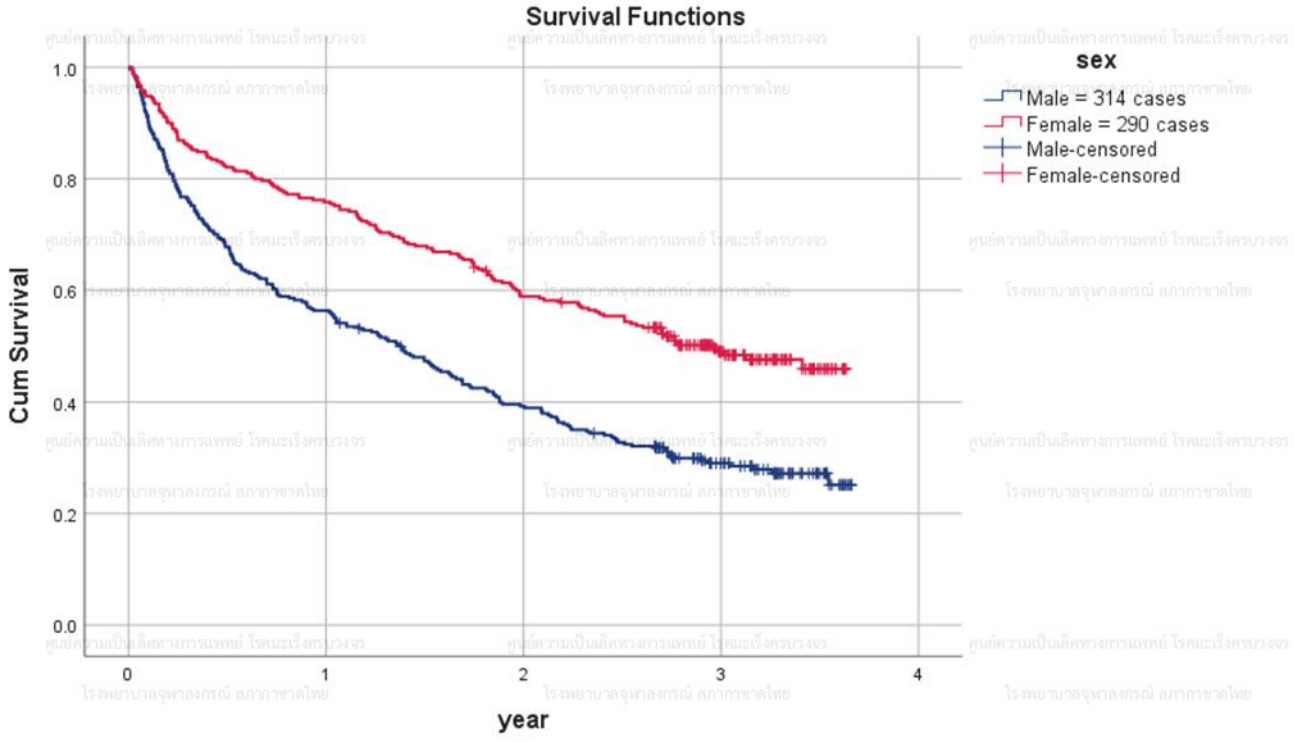


ภาพรวมผู้ป่วยโรคมะเร็งปอด (lung cancer) ในปี พ.ศ. 2565 ทั้งเพศชาย และเพศหญิง โดยแบ่งเป็นปี พบว่า อัตราการรอดชีพที่ 3 ปี เท่ากับ 38.7%

แผนภูมิที่ 54

แสดงอัตราการรอดชีพของผู้ป่วยโรคมะเร็งปอดที่วินิจฉัยในปี พ.ศ. 2565 แยกตามเพศ
(Survival rate of lung cancer patients diagnosed in 2022 by gender)

Graph Kaplan-Meier



ผู้ป่วยเพศชาย	ผู้ป่วยเพศหญิง
อัตราการรอดชีพที่ 3 ปี เท่ากับ 29.0%	อัตราการรอดชีพที่ 3 ปี เท่ากับ 49.1%

หมายเหตุ *ค่านัยสำคัญทางสถิติที่ระดับ .05

Overall Comparisons

	Chi-Square	df	Sig.
Log Rank (Mantel-Cox)	31.852	1	.000
Breslow (Generalized)	32.069	1	.000
Wilcoxon			
Tarone-Ware	32.622	1	.000

Test of equality of survival distributions for the different levels of sex.

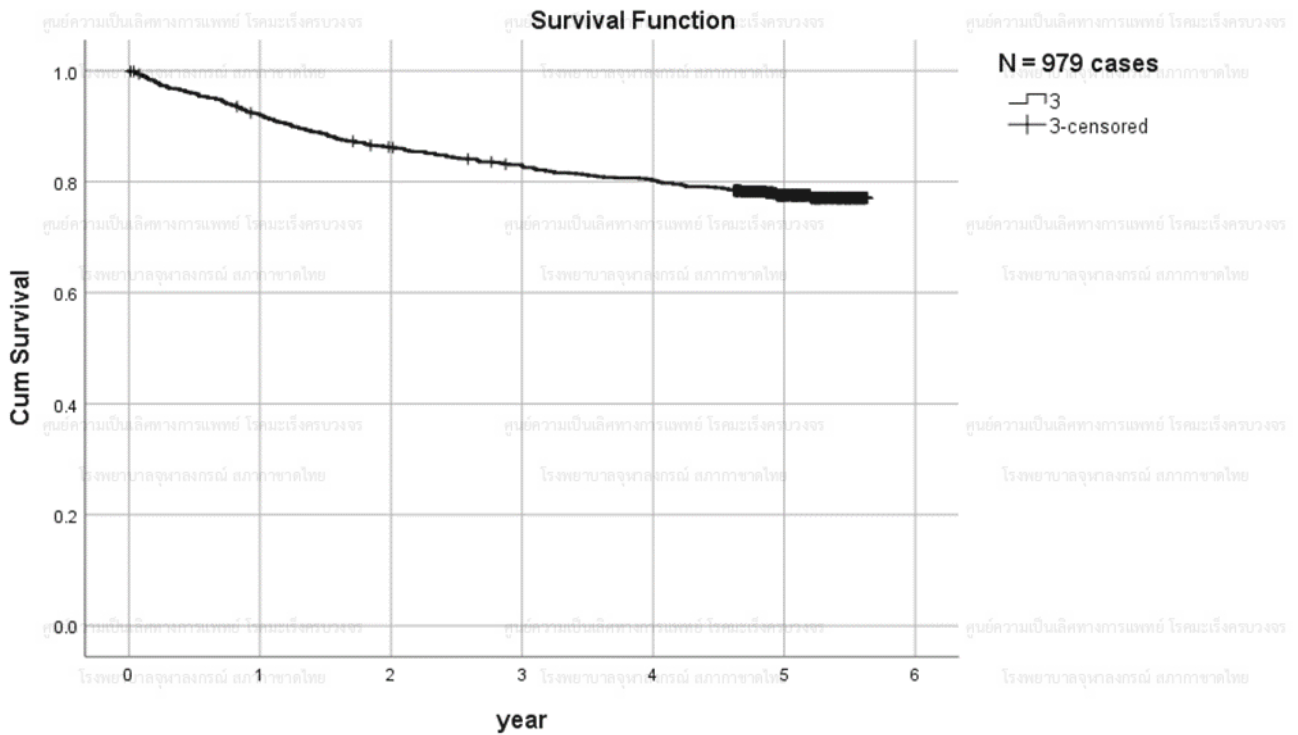
จากการศึกษา พบว่า เพศต่างกันมีอัตราการรอดชีพของผู้ป่วยโรคมะเร็งปอด (lung cancer) แตกต่างกันอย่างมีนัยสำคัญทางสถิติที่ระดับ .05

แผนภูมิที่ 55

แสดงอัตราการรอดชีพของผู้ป่วยโรคมะเร็งเต้านมที่วินิจฉัยในปี พ.ศ. 2563

(Survival rate of breast cancer patients diagnosed in 2020)

Graph Kaplan-Meier



ภาพรวมผู้ป่วยโรคมะเร็งเต้านม (breast cancer) ในปี พ.ศ. 2563 โดยแบ่งเป็นปี พบว่า

1. อัตราการรอดชีพที่ 3 ปี เท่ากับ 82.8%

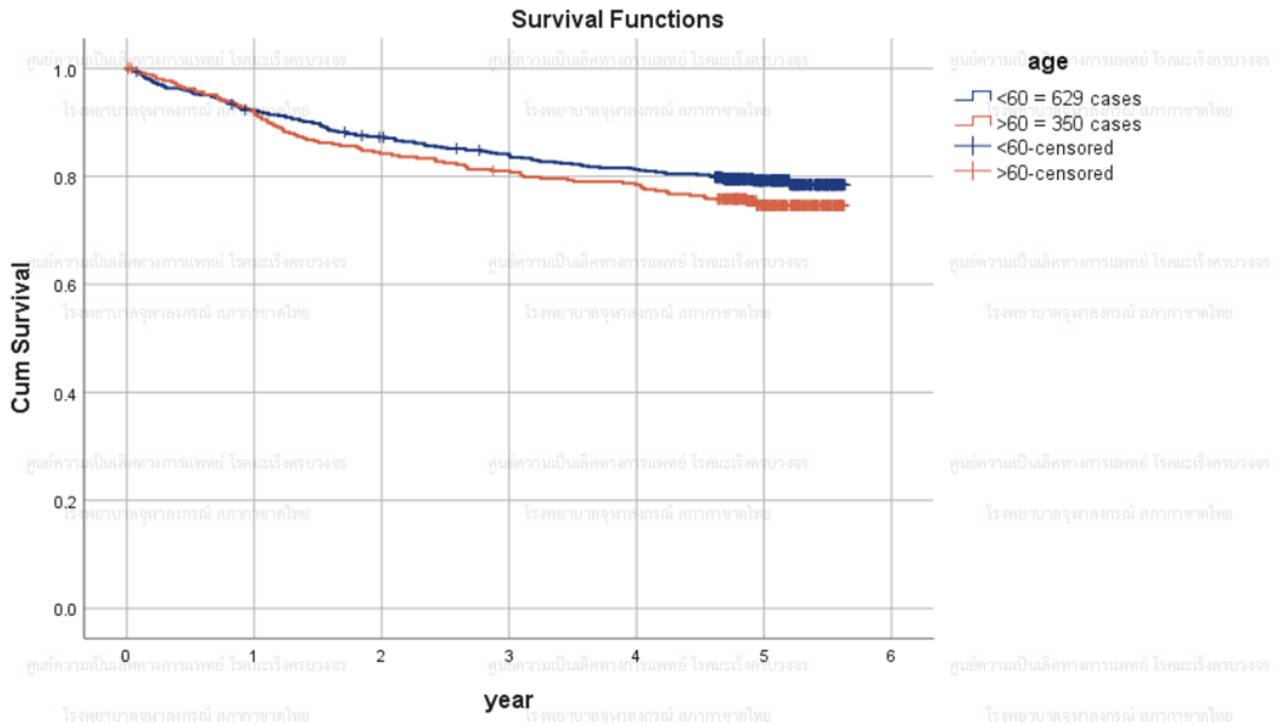
2. อัตราการรอดชีพที่ 5 ปี เท่ากับ 77.6%

แผนภูมิที่ 56

แสดงอัตราการรอดชีวิตของผู้ป่วยโรคมะเร็งเต้านมที่วินิจฉัยในปี พ.ศ. 2563 แยกตามช่วงอายุ

(Survival rate of breast cancer patients diagnosed in 2020 by age)

Graph Kaplan-Meier



ผู้ป่วยอายุน้อยกว่า 60 ปี	ผู้ป่วยอายุมากกว่า 60 ปี
อัตราการรอดชีวิตที่ 3 ปี เท่ากับ 83.9%	อัตราการรอดชีวิตที่ 3 ปี เท่ากับ 81.0%
อัตราการรอดชีวิตที่ 5 ปี เท่ากับ 79.2%	อัตราการรอดชีวิตที่ 5 ปี เท่ากับ 74.6%

Overall Comparisons

	Chi-Square	df	Sig.
Log Rank (Mantel-Cox)	1.997	1	.158
Breslow (Generalized Wilcoxon)	1.899	1	.168
Tarone-Ware	1.968	1	.161

Test of equality of survival distributions for the different levels of age.

หมายเหตุ *ค่านี้สำคัญทางสถิติที่ระดับ .05

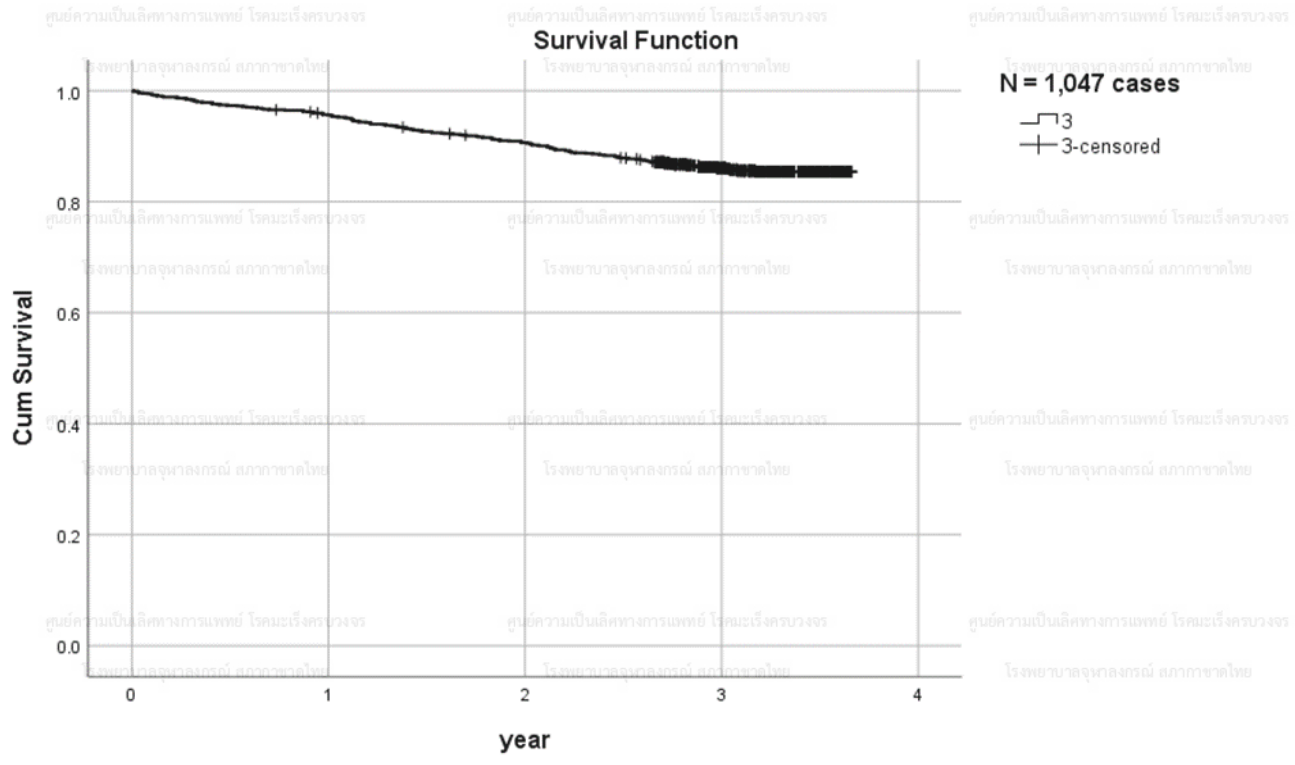
จากการศึกษา พบว่า กลุ่มอายุของผู้ป่วยต่างกันมีอัตราการรอดชีวิตของผู้ป่วยโรคมะเร็งเต้านม (breast cancer) ไม่แตกต่างกันอย่างมีนัยสำคัญทางสถิติที่ระดับ .05

แผนภูมิที่ 57

แสดงอัตราการรอดชีพของผู้ป่วยโรคมะเร็งเต้านมที่วินิจฉัยในปี พ.ศ. 2565

(Survival rate of breast cancer patients diagnosed in 2022)

Graph Kaplan-Meier



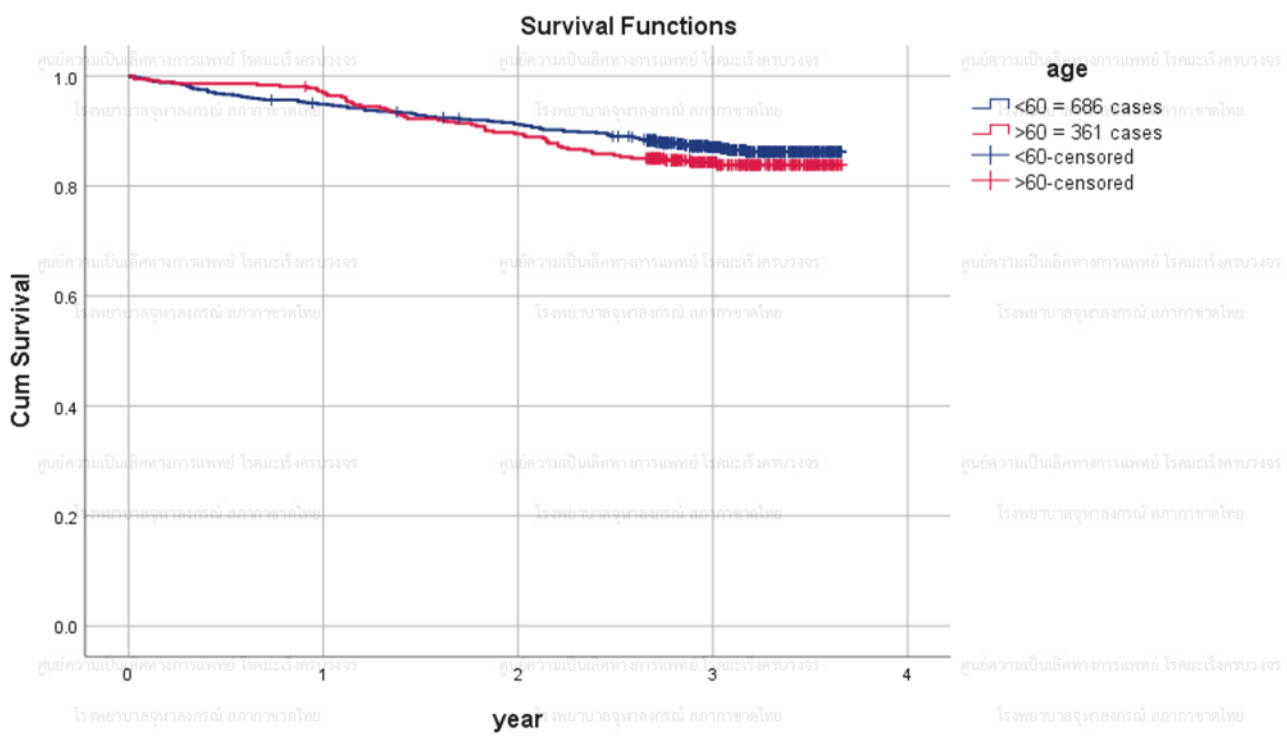
ภาพรวมผู้ป่วยโรคมะเร็งเต้านม (breast cancer) ในปี พ.ศ. 2565 โดยแบ่งเป็นปี พบว่า

อัตราการรอดชีพที่ 3 ปี เท่ากับ **86.1%**

แผนภูมิที่ 58

แสดงอัตราการรอดชีวิตของผู้ป่วยโรคมะเร็งเต้านมที่วินิจฉัยในปี พ.ศ. 2565 แยกตามช่วงอายุ
(Survival rate of breast cancer patients diagnosed in 2022 by age)

Graph Kaplan-Meier



ผู้ป่วยอายุน้อยกว่า 60 ปี	ผู้ป่วยอายุมากกว่า 60 ปี
อัตราการรอดชีวิตที่ 3 ปี เท่ากับ 87.0%	อัตราการรอดชีวิตที่ 3 ปี เท่ากับ 84.3%

หมายเหตุ *ค่านัยสำคัญทางสถิติที่ระดับ .05

Overall Comparisons

	Chi-Square	df	Sig.
Log Rank (Mantel-Cox)	1.251	1	.263
Breslow (Generalized)	1.312	1	.252
Wilcoxon	1.304	1	.253

Test of equality of survival distributions for the different levels of age.

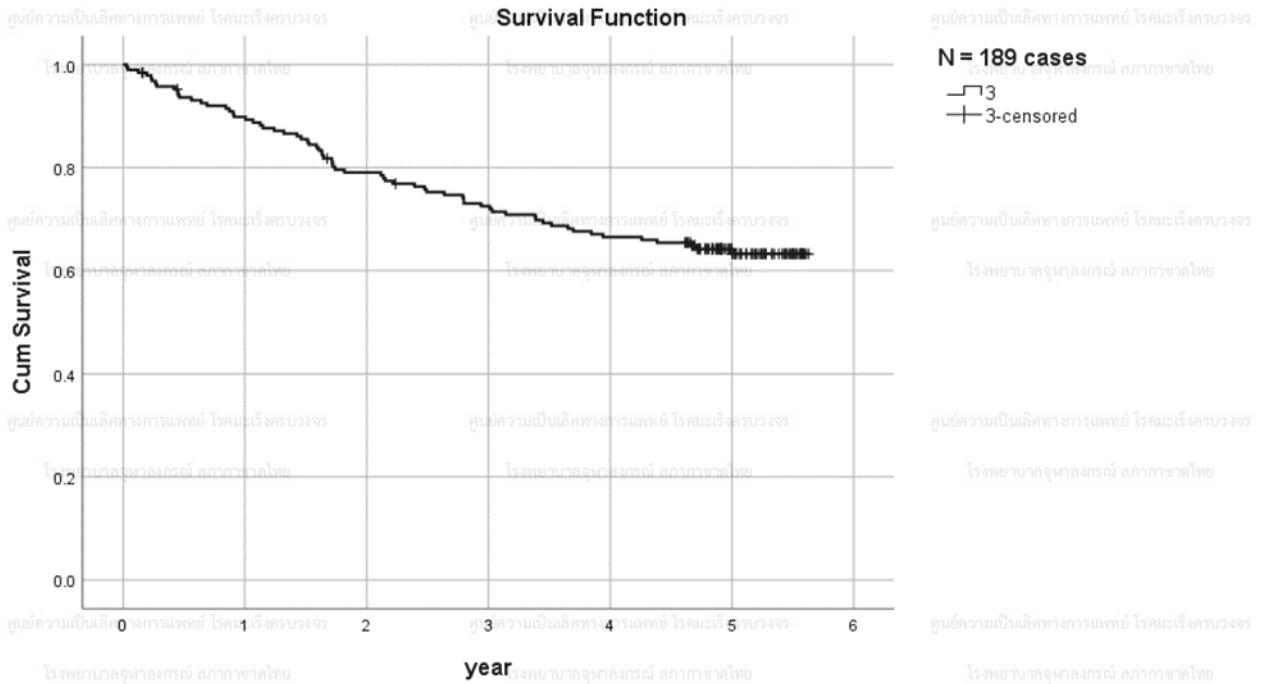
จากการศึกษา พบว่า กลุ่มอายุของผู้ป่วยต่างกันมีอัตราการรอดชีวิตของผู้ป่วยโรคมะเร็งเต้านม (breast cancer) ไม่แตกต่างกันอย่างมีนัยสำคัญทางสถิติที่ระดับ .05

แผนภูมิที่ 59

แสดงอัตราการรอดชีพของผู้ป่วยโรคมะเร็งปากมดลูกที่วินิจฉัยในปี พ.ศ. 2563

(Survival rate of cervix uteri cancer patients diagnosed in 2020)

Graph Kaplan-Meier



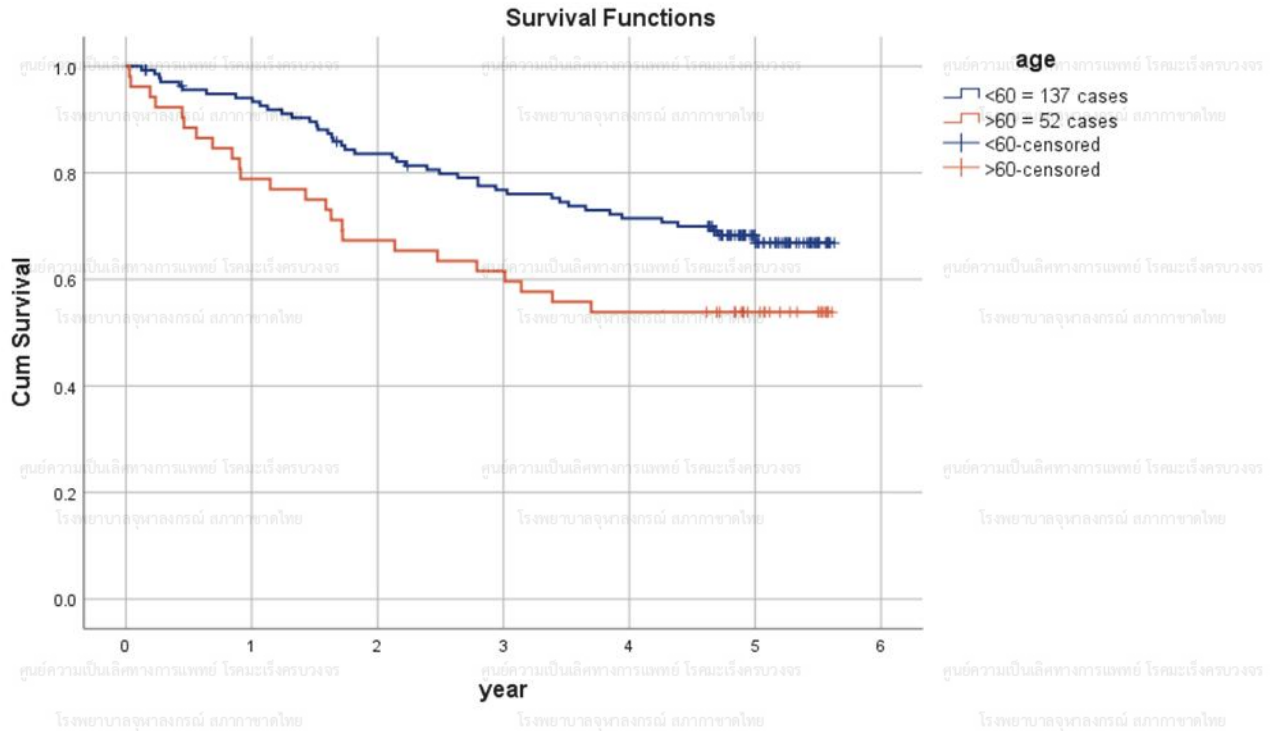
ภาพรวมผู้ป่วย โรคมะเร็งปากมดลูก (cervix uteri cancer) ในปี พ.ศ. 2563 โดยแบ่งเป็นปี พบว่า

1. อัตราการรอดชีพที่ 3 ปี เท่ากับ 72.5%
2. อัตราการรอดชีพที่ 5 ปี เท่ากับ 63.3%

แผนภูมิที่ 60

แสดงอัตราการรอดชีพของผู้ป่วยโรคมะเร็งปากมดลูกที่วินิจฉัยในปี พ.ศ. 2563 แยกตามช่วงอายุ
(Survival rate of cervix uteri cancer patients diagnosed in 2020 by age)

Graph Kaplan-Meier



ผู้ป่วยอายุน้อยกว่า 60 ปี	ผู้ป่วยอายุมากกว่า 60 ปี
อัตราการรอดชีพที่ 3 ปี เท่ากับ 76.8%	อัตราการรอดชีพที่ 3 ปี เท่ากับ 61.5%
อัตราการรอดชีพที่ 5 ปี เท่ากับ 66.8%	อัตราการรอดชีพที่ 5 ปี เท่ากับ 53.8%

Overall Comparisons

	Chi-Square	df	Sig.
Log Rank (Mantel-Cox)	4.471	1	.034
Breslow (Generalized Wilcoxon)	5.810	1	.016
Tarone-Ware	5.185	1	.023

Test of equality of survival distributions for the different levels of age.

หมายเหตุ *ค่านี้สำคัญทางสถิติที่ระดับ .05

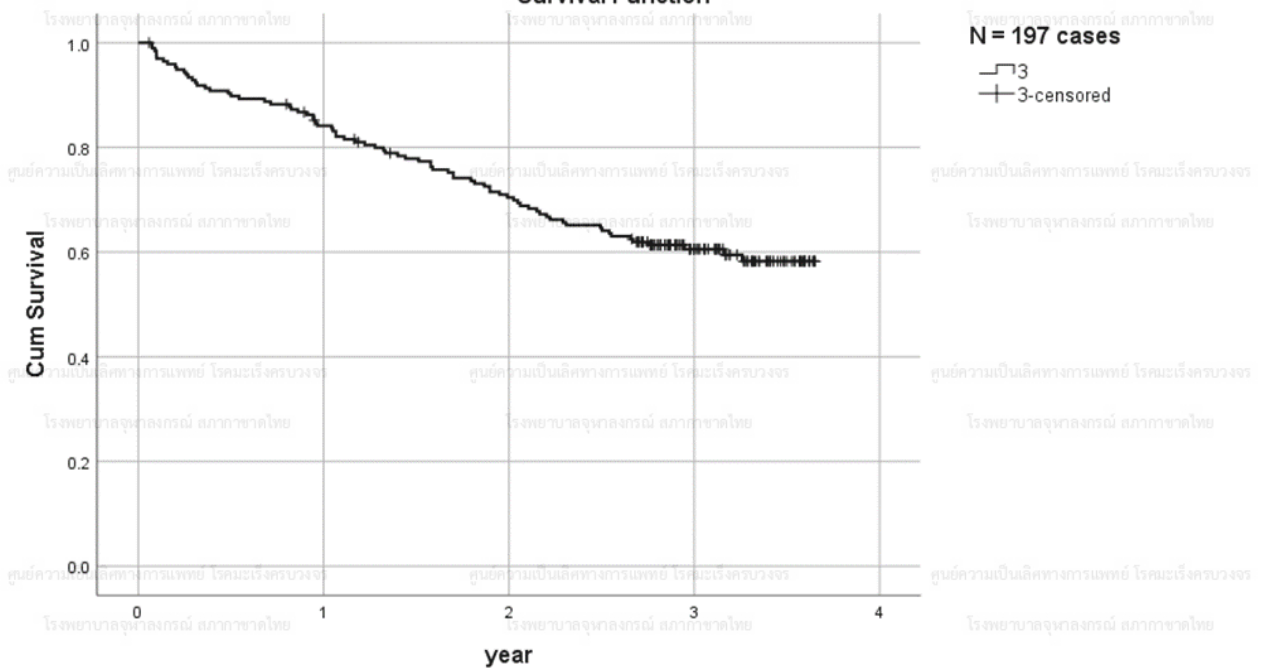
จากการศึกษา พบว่า กลุ่มอายุของผู้ป่วยต่างกันมีอัตราการรอดชีพของผู้ป่วยโรคมะเร็งปากมดลูก (cervix uteri cancer) แตกต่างกันอย่างมีนัยสำคัญทางสถิติที่ระดับ .05

แผนภูมิที่ 61

แสดงอัตราการรอดชีพของผู้ป่วยโรคมะเร็งปากมดลูกที่วินิจฉัยในปี พ.ศ. 2565

(Survival rate of cervix uteri cancer patients diagnosed in 2022)

Graph Kaplan-Meier

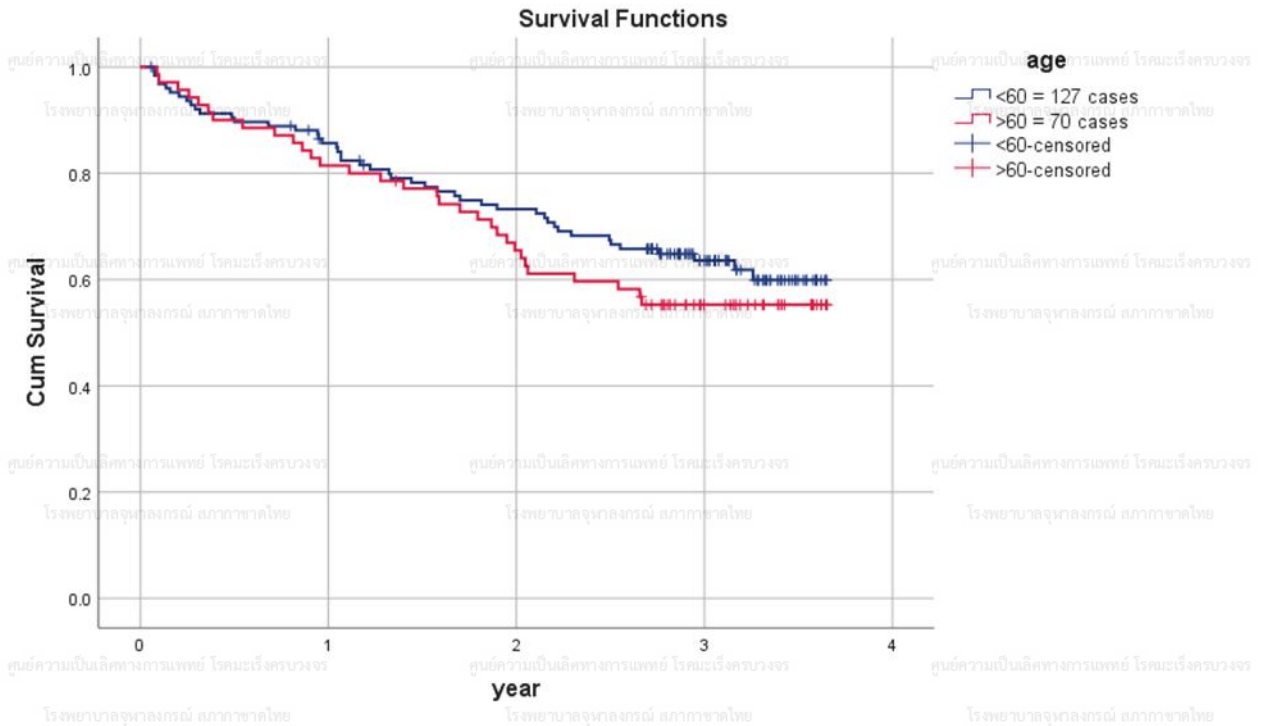


ภาพรวมผู้ป่วยโรคมะเร็งปากมดลูก (cervix uteri cancer) ในปี พ.ศ. 2565 โดยแบ่งเป็นปี พบว่า

อัตราการรอดชีพที่ 3 ปี เท่ากับ 60.6%

แสดงอัตราการรอดชีพของผู้ป่วยโรคมะเร็งปากมดลูกที่วินิจฉัยในปี พ.ศ. 2565 แยกตามช่วงอายุ
(Survival rate of cervix uteri cancer patients diagnosed in 2022 by age)

Graph Kaplan-Meier



ผู้ป่วยอายุน้อยกว่า 60 ปี	ผู้ป่วยอายุมากกว่า 60 ปี
อัตราการรอดชีพที่ 3 ปี เท่ากับ 63.6%	อัตราการรอดชีพที่ 3 ปี เท่ากับ 55.3%

หมายเหตุ *ค่านี้สำคัญทางสถิติที่ระดับ .05

Overall Comparisons

	Chi-Square	df	Sig.
Log Rank (Mantel-Cox)	.907	1	.341
Breslow (Generalized Wilcoxon)	.979	1	.322
Tarone-Ware	.992	1	.319

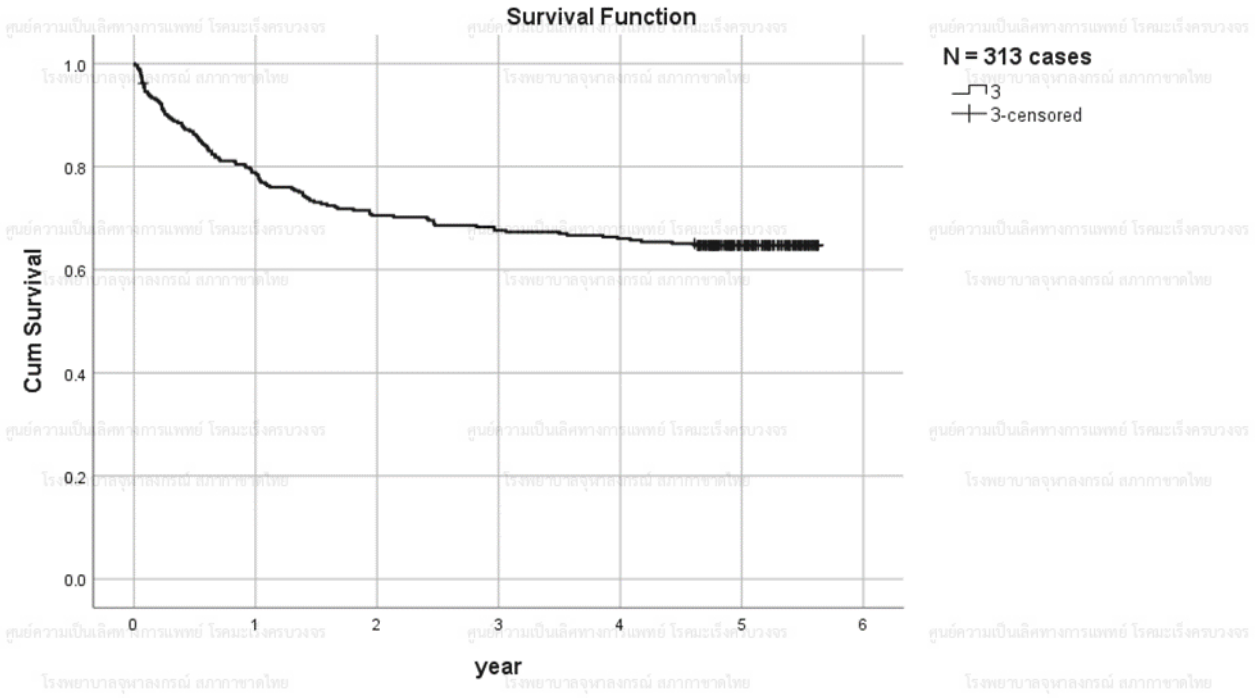
Test of equality of survival distributions for the different levels of age.

จากการศึกษา พบว่า กลุ่มอายุของผู้ป่วยต่างกันมีอัตราการรอดชีพของผู้ป่วยโรคมะเร็งปากมดลูก (cervix uteri cancer) ไม่แตกต่างกันอย่างมีนัยสำคัญทางสถิติที่ระดับ .05

แผนภูมิที่ 63

แสดงอัตราการรอดชีพของผู้ป่วยโรคมะเร็งต่อมน้ำเหลืองที่วินิจฉัยในปี พ.ศ. 2563
(Survival rate of lymphoma patients diagnosed in 2020)

Graph Kaplan-Meier



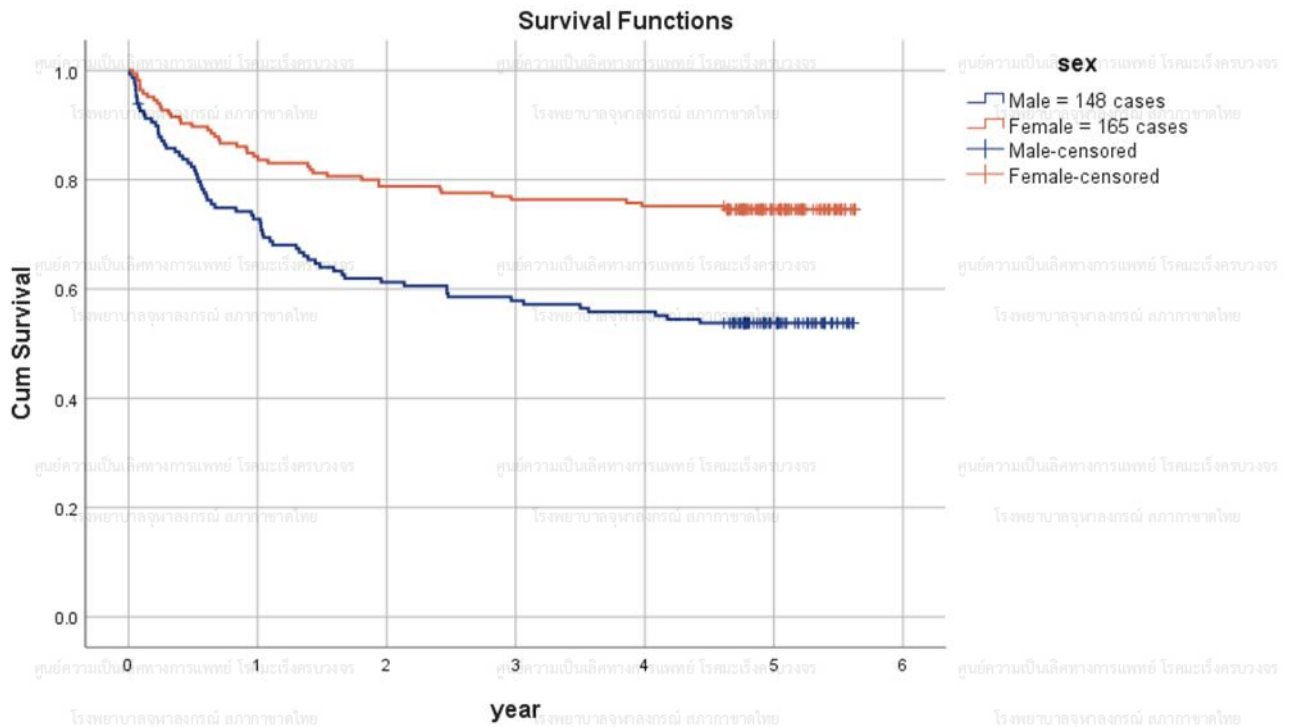
ภาพรวมผู้ป่วยโรคมะเร็งต่อมน้ำเหลือง (lymphoma) ในปี พ.ศ. 2563 เพศชายและเพศหญิง โดยแบ่งเป็นปี พบว่า

1. อัตราการรอดชีพที่ 3 ปี เท่ากับ 67.6%
2. อัตราการรอดชีพที่ 5 ปี เท่ากับ 64.7%

แผนภูมิที่ 64

แสดงอัตราการรอดชีพของผู้ป่วยโรคมะเร็งต่อม้าน้ำเหลืองที่วินิจฉัยในปี พ.ศ. 2563 แยกตามเพศ
(Survival rate of lymphoma patients diagnosed in 2020 by gender)

Graph Kaplan-Meier



ผู้ป่วยเพศชาย	ผู้ป่วยเพศหญิง
อัตราการรอดชีพที่ 3 ปี เท่ากับ 57.8%	อัตราการรอดชีพที่ 3 ปี เท่ากับ 76.4%
อัตราการรอดชีพที่ 5 ปี เท่ากับ 53.8%	อัตราการรอดชีพที่ 5 ปี เท่ากับ 74.5%

Overall Comparisons

	Chi-Square	df	Sig.
Log Rank (Mantel-Cox)	14.947	1	.000
Breslow (Generalized Wilcoxon)	14.539	1	.000
Tarone-Ware	14.793	1	.000

Test of equality of survival distributions for the different levels of sex.

หมายเหตุ *ค่านี้สำคัญทางสถิติที่ระดับ .05

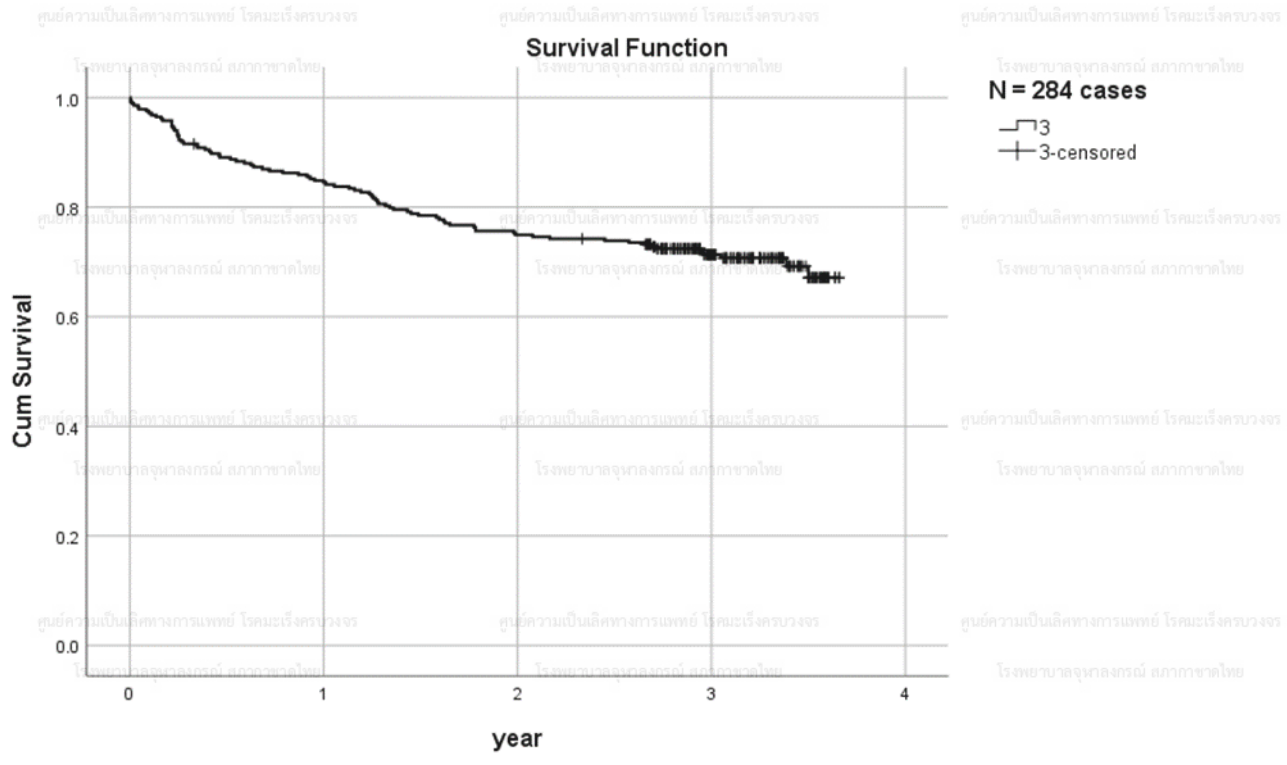
จากการศึกษา พบต่างกันมีอัตราการรอดชีพของผู้ป่วยโรคมะเร็งต่อม้าน้ำเหลือง (lymphoma) แตกต่างกันอย่างมีนัยสำคัญทางสถิติที่ระดับ .05

แผนภูมิที่ 65

แสดงอัตราการรอดชีพของผู้ป่วยโรคมะเร็งต่อมน้ำเหลืองที่วินิจฉัยในปี พ.ศ. 2565

(Survival rate of lymphoma patients diagnosed in 2022)

Graph Kaplan-Meier

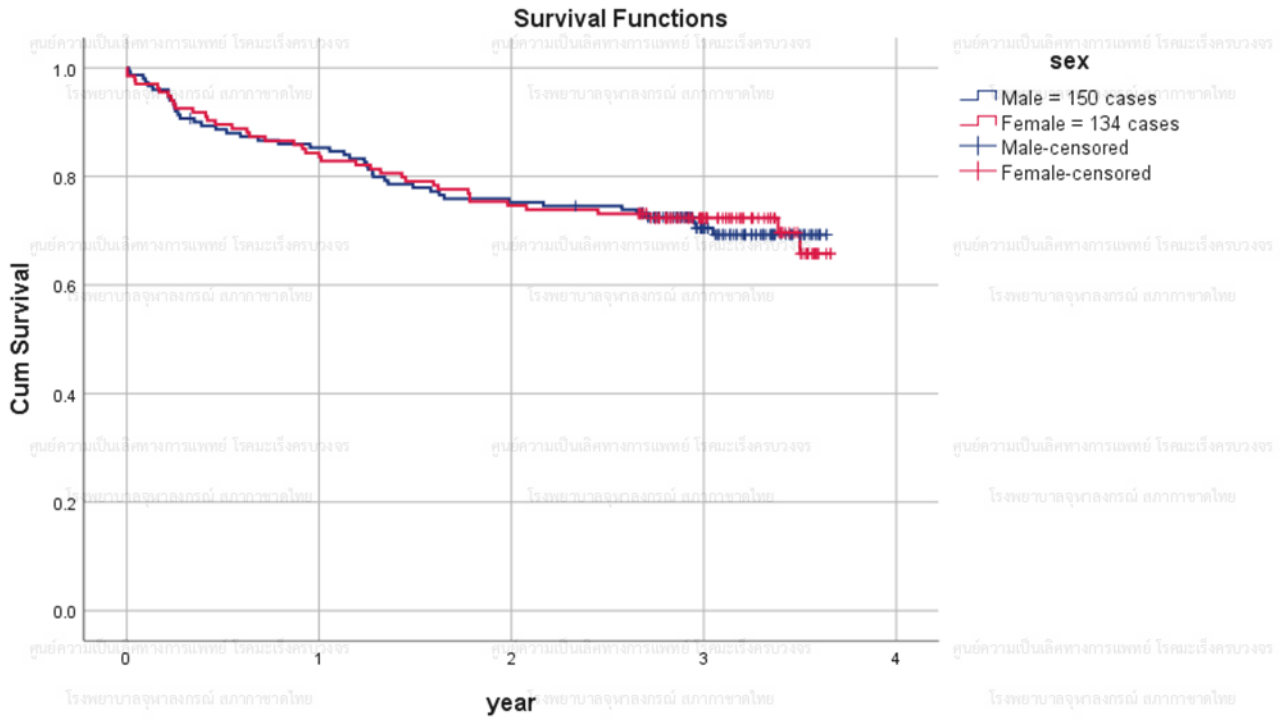


ภาพรวมผู้ป่วย โรคมะเร็งต่อมน้ำเหลือง (lymphoma) ในปี พ.ศ. 2565 ทั้งเพศชาย และเพศหญิง โดยแบ่งเป็นปี พบว่า อัตราการรอดชีพที่ 3 ปี เท่ากับ 71.4%

แผนภูมิที่ 66

แสดงอัตราการรอดชีพของผู้ป่วยโรคมะเร็งต่อมน้ำเหลืองที่วินิจฉัยในปี พ.ศ. 2565 แยกตามเพศ
(Survival rate of lymphoma patients diagnosed in 2022 by gender)

Graph Kaplan-Meier



ผู้ป่วยเพศชาย	ผู้ป่วยเพศหญิง
อัตราการรอดชีพที่ 3 ปี เท่ากับ 70.5%	อัตราการรอดชีพที่ 3 ปี เท่ากับ 72.3%

หมายเหตุ *ค่านี้สำคัญทางสถิติที่ระดับ .05

Overall Comparisons

	Chi-Square	df	Sig.
Log Rank (Mantel-Cox)	.010	1	.918
Breslow (Generalized Wilcoxon)	.018	1	.893
Tarone-Ware	.020	1	.887

Test of equality of survival distributions for the different levels of sex.

จากการศึกษา เพศต่างกันมีอัตราการรอดชีพของผู้ป่วยโรคมะเร็งต่อมน้ำเหลือง (lymphoma)

ไม่แตกต่างกันอย่างมีนัยสำคัญทางสถิติที่ระดับ .05



โรงพยาบาลจุฬาลงกรณ์
สภากาชาดไทย

เผยแพร่โดย

หน่วยงานทะเบียนมะเร็ง ศูนย์ความเป็นเลิศทางการแพทย์ โรคมะเร็งครบวงจร
แห่งโรงพยาบาลจุฬาลงกรณ์ สภากาชาดไทย

DISTRIBUTED BY

TUMOR REGISTRY UNIT,
EXCELLENCE CENTER FOR COMPREHENSIVE CANCER,
KING CHULALONGKORN MEMORIAL HOSPITAL, THAI RED CROSS SOCIETY